

การประเมินภาพถ่ายจากอากาศยานไร้คนขับ และอัลกอริธึมการเรียนรู้ของเครื่องสำหรับการติดตาม  
และทำแผนที่ความเค็มของดิน

วิทยานิพนธ์

ของ

อภิสิทธิ์ ภู滥มูล

เสนอต่อมหาวิทยาลัยมหาสารคาม เพื่อเป็นส่วนหนึ่งของการศึกษาตามหลักสูตร

ปริญญาวิศวกรรมศาสตรมหาบัณฑิต สาขาวิชาชีวกรรรมโยธา

กุมภาพันธ์ 2566

ลิขสิทธิ์เป็นของมหาวิทยาลัยมหาสารคาม

การประเมินภาพถ่ายจากอากาศยานไร้คนขับ และอัลกอริธึมการเรียนรู้ของเครื่องสำหรับการติดตาม  
และทำแผนที่ความเค็มของดิน

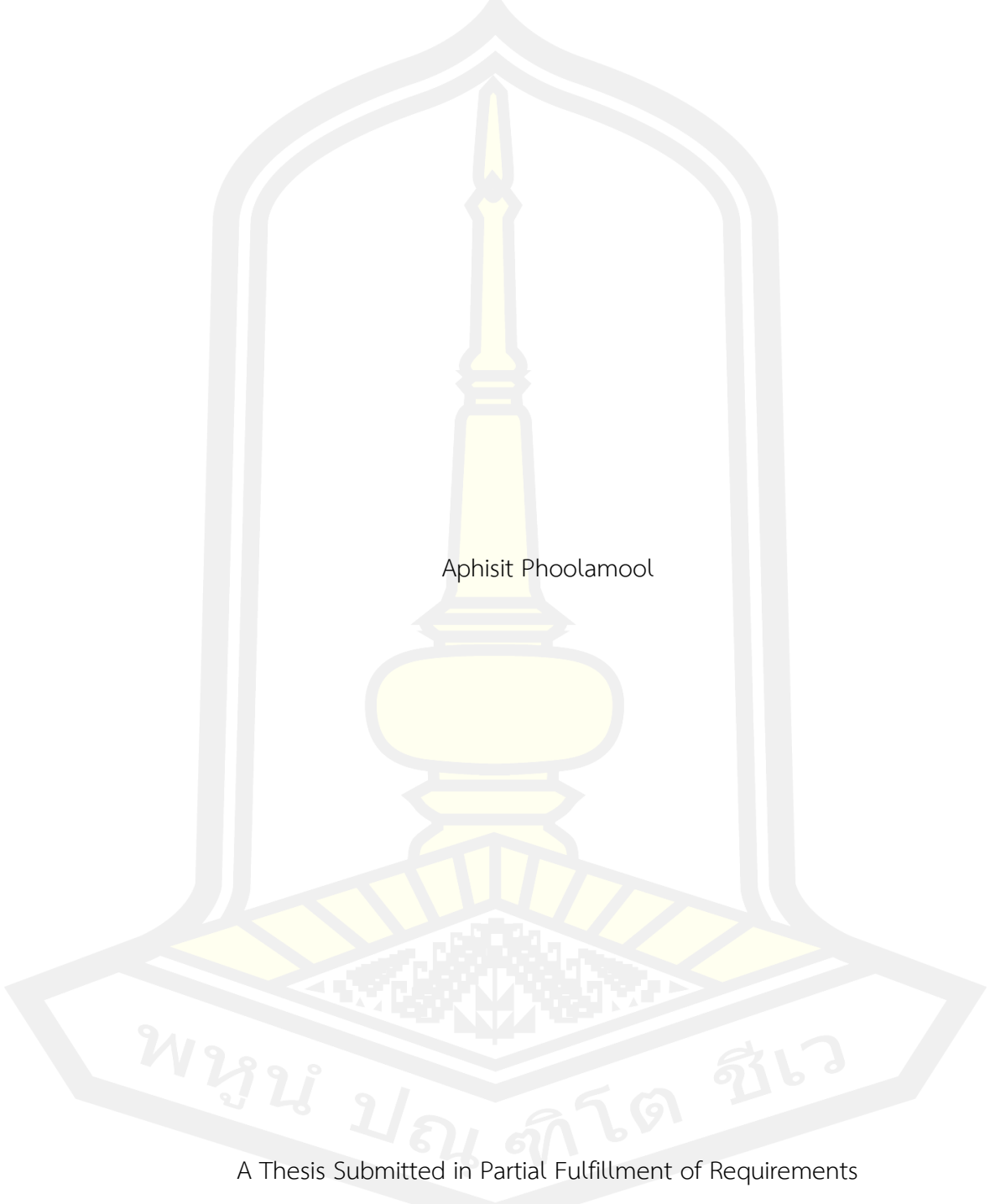


เสนอต่อมหาวิทยาลัยมหาสารคาม เพื่อเป็นส่วนหนึ่งของการศึกษาตามหลักสูตร  
ปริญญาวิศวกรรมศาสตรบัณฑิต สาขาวิชาวิศวกรรมโยธา

กุมภาพันธ์ 2566

ลิขสิทธิ์เป็นของมหาวิทยาลัยมหาสารคาม

Evaluation of UAV-RGB Imagery and machine learning algorithms for monitoring and  
mapping of soil salinity



Aphisit Phoolamool

A Thesis Submitted in Partial Fulfillment of Requirements

for Master of Engineering (Civil Engineering)

February 2023

Copyright of Mahasarakham University



คณะกรรมการสอบบวชยานิพนธ์ ได้พิจารณาวิทยานิพนธ์ของนายอวิสิทธิ์ ภู滥มูล แล้ว  
เห็นสมควรรับเป็นส่วนหนึ่งของการศึกษาตามหลักสูตรปริญญาวิศวกรรมศาสตรมหาบัณฑิต สาขาวิชา  
วิศวกรรมโยธา ของมหาวิทยาลัยมหาสารคาม

คณะกรรมการสอบบวชยานิพนธ์

ประธานกรรมการ

(อ. ดร. ชัยโขค ไวยาชา )

อาจารย์ที่ปรึกษาวิทยานิพนธ์หลัก

(ผศ. ดร. ศิวะ แก้วปั้ง )

กรรมการ

(ผศ. ดร. รัตนา หอมวิเชียร )

กรรมการ

(ศ. ดร. อนงค์ฤทธิ์ แข็งแรง )

มหาวิทยาลัยอนุมติให้รับวิทยานิพนธ์ฉบับนี้ เป็นส่วนหนึ่งของการศึกษาตามหลักสูตร  
ปริญญา วิศวกรรมศาสตรมหาบัณฑิต สาขาวิชาวิศวกรรมโยธา ของมหาวิทยาลัยมหาสารคาม

(รศ. ดร. เกียรติศักดิ์ ศรีประทีป )

คณบดีคณควิศวกรรมศาสตร์

(รศ. ดร. กริสน์ ชัยมูล )

คณบดีบัณฑิตวิทยาลัย

<b>ชื่อเรื่อง</b>	การประเมินภาพถ่ายจากอากาศยานไร้คนขับ และอัลกอริธึมการเรียนรู้ของเครื่องสำหรับการติดตามและทำแผนที่ความเค็มของดิน		
<b>ผู้วิจัย</b>	อภิสิทธิ์ ภู滥มูล		
<b>อาจารย์ที่ปรึกษา</b>	ผู้ช่วยศาสตราจารย์ ดร. ศิริ瓦 แก้วปลัง		
<b>ปริญญา</b>	วิศวกรรมศาสตรมหาบัณฑิต	<b>สาขาวิชา</b>	วิศวกรรมโยธา
<b>มหาวิทยาลัย</b>	มหาวิทยาลัยมหาสารคาม	<b>ปีที่พิมพ์</b>	2566

### บทคัดย่อ

วัตถุประสงค์ของการศึกษานี้เพื่อทำการประเมินภาพถ่ายจากอากาศยานไร้คนขับ และอัลกอริธึมการเรียนรู้ของเครื่องสำหรับการติดตามและทำแผนที่ความเค็มของดิน โดยใช้เทคโนโลยีการรับรู้จากระยะไกลด้วยภาพถ่ายจากอากาศยานไร้คนขับ ที่ติดตั้งกล้อง RGB โดยใช้ค่าการสะท้อนแสงของช่วงคลื่น Red, Green, Blue เพื่อศึกษาการประมาณค่าการนำไฟฟ้า ซึ่งเกิดจากเกลือที่มีอยู่ในดิน โดยแบ่งออกเป็น 2 ความลึก คือที่ผิวดิน (ลึก 0 เซนติเมตร) และที่ความลึกใต้ดิน (ลึก 30 เซนติเมตร) และใช้ระยะพื้นต่อพิกเซลขนาด 5, 25, 50, และ 100 เซนติเมตร นำมาประเมินประสิทธิภาพแบบจำลองทางคณิตศาสตร์ด้วยวิธี แบบจำลองโมเดลเชิงเส้นโดยนัยทั่วไป แบบจำลอง Random forest และแบบจำลอง Support vector machine ผลการศึกษาพบว่า การประมาณค่าการนำไฟฟ้าที่ผิวดิน (ลึก 0 เซนติเมตร) แบบจำลอง Support vector machine ระยะพื้นต่อพิกเซลขนาด 25 เซนติเมตร ให้ผลการประมาณค่าได้ดีที่สุด โดยที่ค่าสัมประสิทธิ์การตัดสินใจ ( $R^2$ ) เท่ากับ 0.561 และ RMSE เท่ากับ 16.698 และการประมาณค่าการนำไฟฟ้าที่ความลึกใต้ดิน (ลึก 30 เซนติเมตร) แบบจำลอง Random forest ระยะพื้นต่อพิกเซลขนาด 50 เซนติเมตร ให้ผลการประมาณค่าได้ดีที่สุด โดยที่ค่าสัมประสิทธิ์การตัดสินใจ ( $R^2$ ) เท่ากับ 0.448 และ RMSE เท่ากับ 1.588

ผลการวิจัยแสดงให้เห็นว่าการใช้ภาพถ่ายจากอากาศยานไร้คนขับที่ราคาต่ำหรือราคาที่ทุกๆ คนก็สามารถจับต้องได้ ก็สามารถนำมาใช้ในการตรวจสอบ ประเมิน และสำรวจ พื้นที่ที่คาดว่าจะเป็นพื้นที่ดินเค็มในเบื้องต้นได้

คำสำคัญ : อากาศยานไร้คนขับ, ดินเค็ม, ค่าการนำไฟฟ้า, ระยะพื้นต่อพิกเซล

<b>TITLE</b>	Evaluation of UAV-RGB Imagery and machine learning algorithms for monitoring and mapping of soil salinity		
<b>AUTHOR</b>	Aphisit Phoolamool		
<b>ADVISORS</b>	Assistant Professor Siwa Kaewplang , Ph.D.		
<b>DEGREE</b>	Master of Engineering	<b>MAJOR</b>	Civil Engineering
<b>UNIVERSITY</b>	Mahasarakham University	<b>YEAR</b>	2023

### ABSTRACT

The purpose of this study is to help you get an assessment of unmanned flatland photographs. And learning algorithms to help you visualize and map soil salinity. Drive the RGB camera setup to get the recording value of the Red, Green, Blue wavelengths to learn about the calculation of the electric charge caused by the salt from the soil. He comes from a 2nd source, which is the surface (depth 0 anyway) and this laser (depth 30), which gives you a spacing per size 5, 25, 50, and 100 that haven't yet. Efficiency was evaluated by matte metal with a general linear model. In addition, the support vector machine, the results of the ground-surface conductivity measurement (0 depth forward) measurement study, will help the 25 wavelength ground-distance vector machine to provide good retrospective values. The most This will make the failure coefficient ( $R^2$ ) equal to 0.561 and RMSE equal to 16.698. The best comparison result was compared with the coefficient of decision ( $R^2$ ) of 0.448 and RMSE of 1.588.

Research shows that the use of images from UAVs at low prices or prices that everyone can afford. It can be used to inspect, evaluate and survey the area that is expected to be a preliminary saline soil area.

Keyword : unmanned aerial vehicle (UAV), saline soil, electrical conductivity, ground sampling distance (GSD)



กิตติกรรมประกาศ

ผู้เขียนขอกราบขอบพระคุณ อาจารย์ ดร. ชัยโชค ไวยภาษา ที่กรุณาให้เกียรติเป็นประธานโดย มี ศาสตราจารย์ ดร. อนงค์ฤทธิ์ แข็งแรง และผู้ช่วยศาสตราจารย์ ดร. รัตนา หอมวิเชียร เป็นกรรมการในการสอบวิทยานิพนธ์ ซึ่งได้กรุณายกเว้นแก้ไขวิทยานิพนธ์ฉบับนี้ให้ถูกต้องสมบูรณ์ยิ่งขึ้น ผู้เขียนขอขอบคุณบุคคลที่ให้ความช่วยเหลือในการดำเนินการวิจัยได้ นางสาวนภาพร จันทะแพน นางสาวจุฬาวัลย์ นนทะพันธ์ นายดลยุทธิ์ บัวด้วง และนายธราดล คำโพนทัน ที่สนับสนุนเรื่องพื้นที่การศึกษาและอำนวยความสะดวกในการเก็บข้อมูลภาคสนาม เจ้าหน้าที่บณฑิตมหาวิทยาลัยมหาสารคามทุกท่านที่ให้ความสละเวลาร่วมงาน ตลอดจนคุณครูที่ให้ความรู้ทางด้านอาชีวศึกษา ที่ให้ความช่วยเหลือในการจัดทำวิทยานิพนธ์ ผู้เขียนขอแสดงความนับถือและขอขอบคุณทุกท่านที่ให้ความสำคัญในวิทยานิพนธ์นี้

ท้ายนี้ผู้เขียนขอน้อมถวายถึงสำนักงานจราจรเมืองคุณพระศรีรัตนตรัย และสิ่งศักดิ์สิทธิ์ทั้งหลายที่อยู่ในสากลโลก อันเป็นที่พึงให้ผู้เขียนมีสติปัญญาในการจัดทำวิทยานิพนธ์ให้สำเร็จลุล่วงไปด้วยดี ผู้เขียนขอให้เป็นกุศลเวทิตาแด่บิดา มารดา ครอบครัวของผู้เขียน ตลอดจนผู้เขียนหน้าสือ และบทความต่าง ๆ ที่ให้ความรู้แก่ผู้เขียนจนสามารถให้ความรู้แก่ผู้เขียนจนสามารถให้วิทยานิพนธ์ฉบับนี้สำเร็จได้ด้วยดี

อภิสิทธิ์ ภ滥มูล

## สารบัญ

	หน้า
บทคัดย่อภาษาไทย.....	๑
บทคัดย่อภาษาอังกฤษ.....	๒
กิตติกรรมประกาศ.....	๓
สารบัญ.....	๗
สารบัญตาราง.....	๘
สารบัญรูป.....	๙
บทที่ 1 บทนำ .....	๑
1.1 ที่มาและความสำคัญของการทำการศึกษา .....	๑
1.2 วัตถุประสงค์ .....	๕
1.3 ขอบเขตและข้อจำกัดของการวิจัย.....	๕
1.4 สถานที่ทำการวิจัย .....	๕
1.5 ผลที่คาดว่าจะได้รับ.....	๕
บทที่ 2 ทฤษฎีและงานวิจัยที่เกี่ยวข้อง .....	๖
2.1 ดินเค็ม .....	๖
2.2 การสำรวจข้อมูลจากระยะไกล (Remote sensing).....	๘
2.3 ความหมายและกระบวนการ (Remote Sensing).....	๙
2.4 การสำรวจด้วยภาพถ่ายทางอากาศ (Photogrammetry).....	๑๐
2.5 ชนิดของภาพถ่าย .....	๑๐
2.6 ดัชนีสเปกตรัม.....	๑๖
2.7 แบบจำลอง Generalized linear models (GLM) .....	๑๗
2.8 การสุมปាไม้ Random forest (RF).....	๑๘

2.9 ชั้พพอร์ตเวกเตอร์แมชชิน Support vector machine (SVM) .....	19
2.10 ค่ารากที่สองของค่าคลาดเคลื่อนกำลังสองเฉลี่ย Root mean square error (RMSE).....	20
2.11 งานวิจัยที่เกี่ยวข้อง .....	21
บทที่ 3 วิธีการดำเนินงานวิจัย .....	24
3.1 แผนการดำเนินการศึกษา.....	24
3.2 พื้นที่ศึกษา .....	25
3.3 อุปกรณ์เครื่องมือที่ใช้ในการศึกษา .....	26
3.4 การเก็บข้อมูลสนาม .....	27
3.5 การวิเคราะห์ในห้องทดลอง .....	28
3.6 คุณสมบัติกล้องที่ใช้ในการศึกษา (Sensor) .....	29
3.7 การวิเคราะห์ข้อมูล .....	29
3.8 แผนการศึกษา.....	29
3.9 งบประมาณ .....	30
บทที่ 4 ผลการศึกษา.....	31
4.1 ผลการวิเคราะห์ข้อมูลค่าความเค็มของดิน .....	32
4.2 แผนที่การติดตามความเค็มของดิน (ถูร์อัน-ถูผัน).....	41
บทที่ 5 อภิปรายผล สรุปผลการศึกษา และข้อเสนอแนะ .....	44
5.1 อภิปรายผลการศึกษา .....	44
5.2 สรุปผลการวิจัย .....	47
5.3 ข้อเสนอแนะ .....	48
บรรณานุกรม.....	49
ภาคผนวก.....	53
ประวัติผู้เขียน .....	87

## สารบัญตาราง

หน้า

ตารางที่ 1 การจำแนกระดับความเค้มที่มีผลกระทบต่อพืช .....	8
ตารางที่ 2 การวิเคราะห์ดัชนีสเปกตรัมตาม UAV .....	16
ตารางที่ 3 ตัวอย่างความแปรปรวนของการแจกแจงที่อยู่ในวงศ์ชี้กำลัง (Exponential family) .....	18
ตารางที่ 4 แสดงการบินของโดรนในการเก็บข้อมูล .....	28
ตารางที่ 5 แผนการดำเนินงานศึกษา ปี 2564 ช่วงต้น .....	29
ตารางที่ 6 แผนการดำเนินงานศึกษา ปี 2564-2565 ช่วงปลาย .....	30
ตารางที่ 7 ตารางแสดงงบประมาณในงานวิทยานิพนธ์ .....	30
ตารางที่ 8 การวิเคราะห์ความสัมพันธ์ของข้อมูลที่ความลึกผิด din (Ec0) .....	34
ตารางที่ 9 การวิเคราะห์ความสัมพันธ์ของข้อมูลที่ความลึกใต้ din (Ec30) .....	34
ตารางที่ 10 $R^2$ และ RMSE ของการประมาณค่าการนำไฟฟ้าของติน (Ec0) .....	35
ตารางที่ 11 $R^2$ และ RMSE ของการประมาณค่าการนำไฟฟ้าของติน (Ec30) .....	38
ตารางที่ 12 การศึกษาและเปรียบเทียบผลงานวิจัย .....	45
ตารางที่ 13 ค่าสะท้อนแสงที่ปรับแก้ค่าสะท้อนแสง และค่าดัชนีต่างๆ จากโปรแกรม QGIS 3.8 ที่ GSD 5 เซนติเมตร (Ec0) .....	53
ตารางที่ 14 ค่าสะท้อนแสงที่ปรับแก้ค่าสะท้อนแสง และค่าดัชนีต่างๆ จากโปรแกรม QGIS 3.8 ที่ GSD 5 เซนติเมตร (Ec30) .....	57
ตารางที่ 15 ค่าสะท้อนแสงที่ปรับแก้ค่าสะท้อนแสง และค่าดัชนีต่างๆ จากโปรแกรม QGIS 3.8 ที่ GSD 25 เซนติเมตร (Ec0) .....	61
ตารางที่ 16 ค่าสะท้อนแสงที่ปรับแก้ค่าสะท้อนแสง และค่าดัชนีต่างๆ จากโปรแกรม QGIS 3.8 ที่ GSD 25 เซนติเมตร (Ec30) .....	65
ตารางที่ 17 ค่าสะท้อนแสงที่ปรับแก้ค่าสะท้อนแสง และค่าดัชนีต่างๆ จากโปรแกรม QGIS 3.8 ที่ GSD 50 เซนติเมตร (Ec0) .....	69

ตารางที่ 18 ค่าสหท้อนแสงที่ปรับแก้ค่าสหท้อนแสง และค่าดัชนีต่างๆ จากโปรแกรม QGIS 3.8 ที่ GSD 50 เซนติเมตร (Ec30).....	73
ตารางที่ 19 ค่าสหท้อนแสงที่ปรับแก้ค่าสหท้อนแสง และค่าดัชนีต่างๆ จากโปรแกรม QGIS 3.8 ที่ GSD 100 เซนติเมตร (Ec0).....	78
ตารางที่ 20 ค่าสหท้อนแสงที่ปรับแก้ค่าสหท้อนแสง และค่าดัชนีต่างๆ จากโปรแกรม QGIS 3.8 ที่ GSD 100 เซนติเมตร (Ec30).....	82

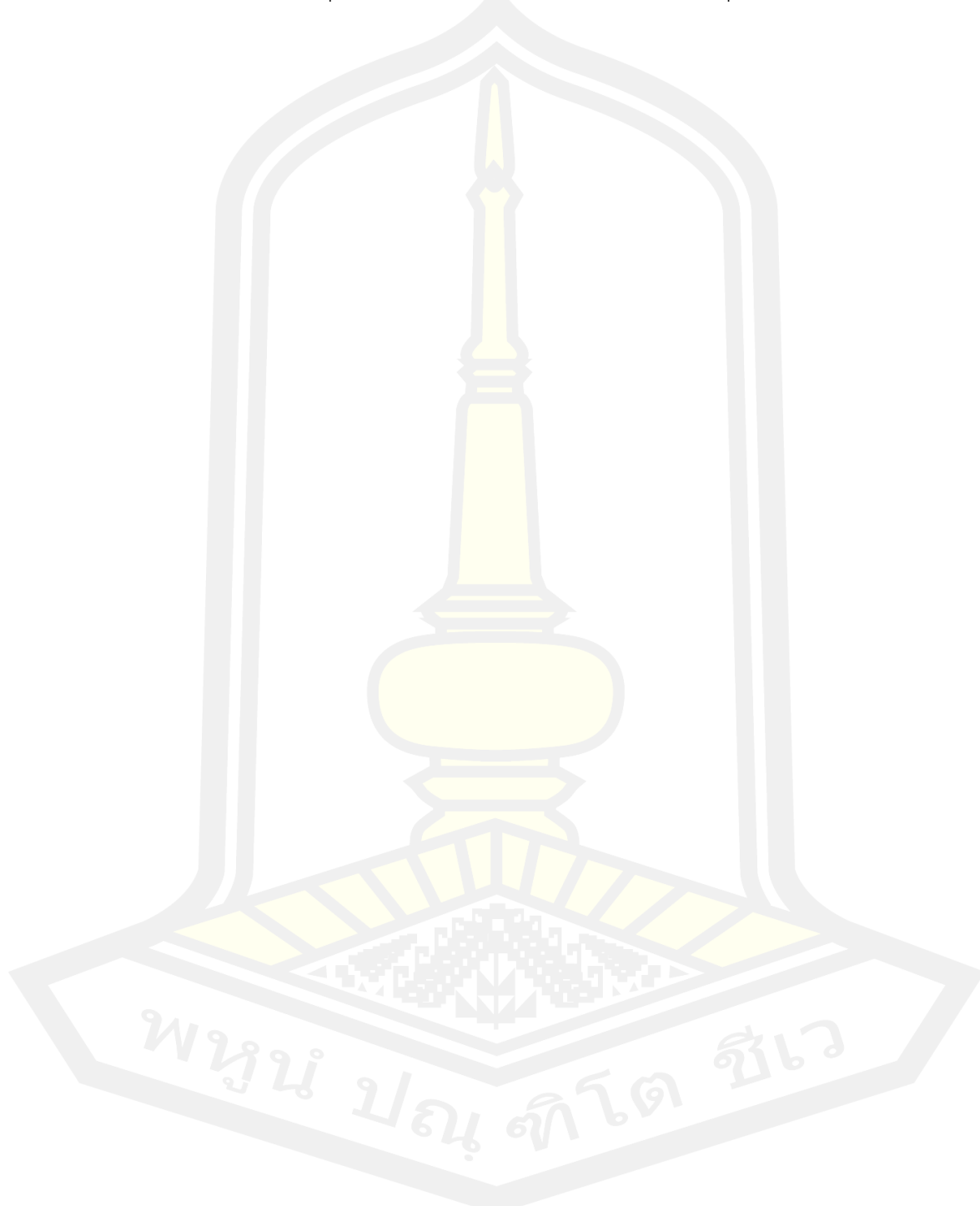


## สารบัญรูป

หน้า

ภาพที่ 1 ตัวอย่างดินเค็ม .....	6
ภาพที่ 2 กระบวนการสำรวจข้อมูลจากระยะไกล .....	9
ภาพที่ 3 ชนิดภาพถ่ายภาพแนวตั้ง ภาพเฉียงต่ำ ภาพเฉียงสูง .....	11
ภาพที่ 4 ส่วนซ้อนบริเวณที่เหลือมอกันของภาพ .....	12
ภาพที่ 5 ส่วนเกยของแนวบิน .....	12
ภาพที่ 6 ภาพถ่ายออร์ฟอ (Orthophoto Map) .....	13
ภาพที่ 7 ตัวอย่างแบบจำลองความสูงเชิงเลข Digital elevation model (DEM).....	14
ภาพที่ 8 ตัวอย่างผลผลิตที่เป็นข้อมูลแบบจุดพิกัด .....	16
ภาพที่ 9 หลักการทำ Random Forest .....	18
ภาพที่ 10 ตัวอย่างของตัวแบบจำแนก SVM บนข้อมูลขนาด 2 มิติ .....	19
ภาพที่ 11 การคำนวณ Maximum Margin .....	20
ภาพที่ 12 แผนผังขั้นตอนวิธีการศึกษา .....	25
ภาพที่ 13 แสดงจุดเก็บข้อมูล .....	26
ภาพที่ 14 แสดงความสัมพันธ์ค่าการนำไฟฟ้าที่ถูกร้อน กับข้อมูลภาพถ่ายจากอากาศยานไร้คนขับในรูปแบบ Correlation Heatmap .....	32
ภาพที่ 15 แสดงความสัมพันธ์ค่าการนำไฟฟ้าที่ถูกฝน กับข้อมูลภาพถ่ายจากอากาศยานไร้คนขับในรูปแบบ Correlation Heatmap .....	33
ภาพที่ 16 แสดง Scattering plots ความสัมพันธ์จากการวัดค่าการนำไฟฟ้าที่ความลึกผิวดิน (Ec0) และจากการประมาณของข้อมูลจากภาพถ่ายด้วยกล้อง RGB .....	37
ภาพที่ 17 แสดง Scattering plots ความสัมพันธ์จากการวัดค่าการนำไฟฟ้าที่ความลึกใต้ดิน (Ec30) และจากการประมาณของข้อมูลจากภาพถ่ายด้วยกล้อง RGB .....	40
ภาพที่ 18 แสดงแผนที่การประมาณการติดตามความเค็มของดิน (ถูกร้อน) .....	41

ภาพที่ 19 แสดงแผนที่การประมาณการติดตามความเค็มของดิน (ถดผน) .....	42
ภาพที่ 20 แสดงตำแหน่งที่สูมเก็บดินมาวัดค่าการนำไปฟื้น จำนวน 85 จุด .....	43





## บทที่ 1

### บทนำ

#### 1.1 ที่มาและความสำคัญของการทำการศึกษา

ดินเค็ม (Saline soil) คือดินที่มีเกลือที่ละลายน้ำได้ในสารละลายตินปริมาณมาก จนกระทบต่อการเจริญเติบโตและผลผลิตของพืช การสังเกตโดยดูจากคราบเกลือจะเห็นคราบเกลือเป็นหย่อมๆ โดยเฉพาะในฤดูแล้ง พืชมักจะแสดงอาการใบไหม้ ลำต้นเคระแกร็น เนื่องจากพืชจะขาดน้ำและความเป็นพิษจากธาตุโซเดียม ( $\text{Na}$ ) และคลอไรด์ ( $\text{Cl}$ ) จึงเกิดความไม่สมดุลของธาตุอาหาร ดินเค็มเป็นดินที่มีค่าการนำไฟฟ้าของสารละลายที่สกัดจากดินที่อิ่มตัวด้วยน้ำ ปัญหาดินเค็มนอกจากจะส่งผลกระทบต่อการเกษตรแล้ว ยังส่งผลกระทบต่อสภาพเศรษฐกิจ สังคมและสิ่งแวดล้อม ปัญหาดินเค็มในประเทศไทยพบทั่วไปในภาคตะวันออกเฉียงเหนือ ภาคกลางและพื้นที่ชายทะเล (กรมพัฒนาที่ดิน กระทรวงเกษตรและสหกรณ์, 2564)

งานวิจัยดินเค็มในประเทศไทยรายงานการวิจัยมีการศึกษาดินเค็มที่มีผลกระทบต่อการเพาะปลูกข้าวในปัจจุบันเกษตรกรได้ประสบกับปัญหาเกี่ยวกับสภาพดินเค็มโดยเฉพาะพื้นที่ภาคตะวันออกเฉียงเหนือซึ่งมีค่าความเค็มอยู่ระหว่าง 2-16 เดซิเซเมนต์ต่อมتر ( $\text{dS/m}$ ) (คุ่มือเกษตรกร, 2552) ซึ่งส่งผลต่อการเพาะปลูกเป็นบริเวณกว้าง ดินเค็มเป็นปัญหาที่เกิดขึ้นทั่วโลก ไม่ว่าจะเป็นพื้นที่แห้งแล้งหรือพื้นที่ชุ่มชื้น ทั้งในเขตชลประทานและเขตอาศัยน้ำฝน พื้นที่ดินเค็มในประเทศไทยพบในภาคตะวันออกเฉียงเหนือ ภาคกลาง และพื้นที่ชายทะเล (อรุณี ยุววนิยม, 2536) ปัญหาดินเค็มมีผลกระทบโดยตรงต่อการเกษตรทำให้การเจริญเติบโต ผลผลิต คุณภาพของพืชลดลง สำหรับการปลูกข้าวในพื้นที่ดินเค็มจะสังเกตเห็นได้จากต้นข้าวมีการเจริญเติบโตที่ไม่สม่ำเสมอ มีการแตกกอหน้อย ลำต้นเคระแกร็น ปลายใบไหม้และม้วนงอ ในพื้นที่ดินเค็มจัด ต้นข้าวจะตายเป็นหย่อมๆ ในช่วงฝนทึ่งช่วง พื้นดินจะแห้ง ถ้าเป็นระยะที่ ข้าวกำลังออกดอก ออก苞จะทำให้ข้าวเมล็ดลีบและให้ผลผลิตต่ำ (สำนักงานปลัดกระทรวงเกษตรและสหกรณ์, 2563)

ขั้นตอนการตรวจวัดดินเค็มของกรมพัฒนาที่ดิน กระทรวงเกษตรและสหกรณ์จะแบ่งออกเป็นการเก็บดินชั้นบน (ผิวดิน) และการเก็บดินชั้nl่าง (ใต้ผิวดินลึกประมาณ 30 เซนติเมตร) โดยการเก็บในแต่ละพื้นที่นั้นต้องทำการเก็บแบบสุ่มในอัตรา 10-20 ไร่ ต่อ 15-25 จุด หลังจากการเก็บตัวอย่างแล้วเสร็จให้นำทุกตัวอย่างมาคลุกรวมกันโดยแบ่งเป็น ดินชั้นบนกับดินชั้นล่าง ดินชั้nl่างกับดินชั้นล่าง จากนั้นผึ่งไว้ในที่ร่มอากาศถ่ายเทshed ต่อไป 4 สัปดาห์ ก่อนนำไปทดสอบในห้องปฏิบัติการ เมื่อดินมาถึงห้องปฏิบัติการ เจ้าหน้าที่จะทำการตากดินให้แห้งอีก 1

รอบ ในห้องที่ควบคุมอุณหภูมิ เมื่อแห้งแล้วก็นำมาบดให้ละเอียด จากนั้นนำมาร่อนผ่านตะแกรงเบอร์ 10 (ซ่องเปิดของตะแกรง 2 มิลลิเมตร) ขั้นตอนต่อไปก็คือการร่อนเส้นใยที่ได้จากการร่อนในเวลา 7-14 วัน (ขึ้นอยู่กับความชื้นของดิน) จากนั้นจึงนำดินเข้าสู่กระบวนการหาค่าไฟฟ้าของดิน หรือที่เรียกว่าค่า Electrical conductivity (Ec) (กรมพัฒนาฯ ศูนย์วิจัยและพัฒนาฯ 2564)

วิธีวัดค่าความเค็มของดิน วิธีวัดค่าความเค็มของดินมีหลายวิธี แต่ที่นิยมกันโดยทั่วไป คือ การใช้เครื่องวัดความเค็มที่วัดได้ ซึ่งมักจะใช้การนำไฟฟ้าของดิน Electrical conductivity (Ec) มีหน่วยความเข้มข้นเป็น เดซิเซมอนต์/เมตร ( $dS/m$ ) ค่าการนำไฟฟ้าของดินที่สกัดได้จากดินวัดจากการละลายขณะที่อิ่มตัวด้วยน้ำ Electrical conductivity at saturation extract (Ece) ที่ 25 องศาเซลเซียส มาใช้ประเมินปริมาณเกลือและอิทธิพลของเกลือในดินต่อการเจริญเติบโตและผลผลิตของพืช (กรมทรัพยากรธรรมชาติและสิ่งแวดล้อม, 2564) ปัญหาของวิธีแบบเดิมคือ ใช้ทรัพยากรและแรงงานจำนวนมาก สิ้นเปลือง ข้อมูลปรับให้เป็นปัจจุบันได้ยาก ยังหากต้องมีการปรับให้เป็นปัจจุบัน ของข้อมูลบ่อยๆ และติดตามการเปลี่ยนแปลงของพื้นที่ในพื้นที่ขนาดใหญ่จะมีปัญหา

อย่างไรก็ตามในช่วงไม่กี่ปีที่ผ่านมา มีการใช้การสำรวจระยะไกลไม่ว่าจะเป็นภาพถ่ายจากดาวเทียม หรือแม้กระทั่งภาพถ่ายทางอากาศจากอากาศยานไร้คนขับ (Unmanned aerial vehicle, UAV) ได้ถูกนำมาประยุกต์ในการใช้งานด้านต่างๆ เนื่องจากให้ความละเอียดเชิงพื้นที่และเวลาได้สูง เนื่องจากสามารถเก็บข้อมูลภาพถ่ายได้ทุกเมื่อ จากรายงานการศึกษาของ (ศิริ แก้วปัลส์, 2561) ใช้ UAV เป็นเครื่องมือสำคัญในประมาณค่าชีวมวลเนื้อพื้นดินของดินหมื่น และมีการใช้ภาพถ่ายจาก UAV สำหรับการรับรู้ระยะไกลใช้งานได้สำเร็จในหลายสาขา เช่น การตรวจวัดแบบไม่ทำลายเพื่อทำนายผลผลิตของหัวมันสำปะหลังอย่างรวดเร็ว (Selvaraj et al., 2020) การใช้ภาพถ่ายจาก UAV ที่มีเซนเซอร์ช่องสัญญาณหลายช่องมากกว่า 100 ช่องสัญญาณ มีความละเอียดมากเป็นพิเศษ (Hyperspectral imaging system) และภาพถ่ายจากดาวเทียม มาประเมินปริมาณค่าความเค็มของดิน (Hu et al., 2019) การใช้ภาพถ่ายจาก UAV ที่มีเซนเซอร์ช่องสัญญาณ 4 ช่องสัญญาณ ประกอบด้วยย่านสีน้ำเงิน ย่านสีเขียว ย่านสีแดง และย่านอินฟราเรดใกล้ เป็นต้น (Multispectral imaging system) มาตรวจจับค่าความร้อนของแปลงผัก (Bendig et al., 2019)

(Zhang and Zhao 2019) ทำการศึกษาความเค็มของดินส่งผลเสียต่อการเจริญเติบโตและการผลิตพืชด้วยข้อมูลจากภาพถ่าย Hyperspectral ที่ติดตั้งกล้องบนทึกภาพบน UAV ภาพถ่ายจากดาวเทียม Sentinel-2A โดยการใช้ค่าการสะท้อนแสง และค่าการนำไฟฟ้าในดิน (EC) เป็นพารามิเตอร์ในการศึกษาความเค็มของดินส่งผลเสียต่อการเจริญเติบโตและการผลิตพืช สร้างแบบจำลองด้วยสมการรถถอยที่หลากหลาย และทำการประเมินประสิทธิภาพของแบบจำลองด้วย  $R^2$  ผลการศึกษาพบว่าข้อมูลภาพถ่าย RGB และ Near infrared มีความสัมพันธ์ที่ดีกับ

ความเค็มของดินและพารามิเตอร์สเปกตรัมปรับปรุงความสัมพันธ์ได้ดี ดังนั้นแบบจำลองนี้จึงมีประสิทธิภาพมากขึ้นเมื่อรวมพารามิเตอร์สเปกตรัมเข้ากับช่วงคลื่นที่ละเอียดอ่อนด้วยความแม่นยำในการสร้างแบบจำลองและความแม่นยำในการตรวจสอบแบบจำลองที่ดีที่สุดคือ 0.743 และ 0.809 ตามลำดับ การค้นพบเหล่านี้พิสูจน์ให้เห็นว่าการใช้แบบจำลองที่ใช้ UAV เพื่อสะท้อนภาพ Sentinel-2A ที่เป็นปกติให้ผลลัพธ์ที่สอดคล้องกับสถานการณ์จริง นอกจากนี้ผลการเปลี่ยนแปลงสะท้อนให้เห็นถึงลักษณะการกระจายของความเค็มของดินในพื้นที่ที่ทำการทดสอบและพื้นที่การศึกษาได้อย่างมีประสิทธิภาพ

MA et al. (2020) ทำการศึกษาการเปลี่ยนแปลงของความเค็มของดินอย่างแม่นยำและรวดเร็ว โดยใช้การผสมผสานของการสำรวจระยะใกล้แบบหลายแหล่ง ซึ่งจะเป็นประโยชน์สำหรับการบ่มบัดและการใช้ประโยชน์ของดินเค็มเท่านั้น แต่ยังเป็นแนวโน้มหลักในการพัฒนาการตรวจจับระยะใกล้ของความเค็มในดินเชิงปริมาณด้วย โดยใช้สมการทดถอยเชิงตัวเลขเพื่อรวมกับดัชนีสเปกตรัมโดยใช้ภาพถ่ายอากาศยานไร้คนขับที่มีความละเอียดสูงเชิงพื้นที่ UAV และภาพถ่ายดาวเทียมความละเอียดต่ำเชิงพื้นที่ เพื่อประเมินความสัมพันธ์ภายในระหว่างการรับรู้จากระยะใกล้เกทต่างๆ อย่างลึกซึ้ง แบบจำลองการผกผันของปริมาณเกลือในดิน (SSC) สร้างขึ้นจากภาพ UAV ที่มีความละเอียดสูงเชิงพื้นที่ และเลือกดัชนีสเปกตรัมที่เกี่ยวข้องกับการหลอมรวมจากแบบจำลองจากนั้น ใช้ฟังก์ชันพิวชันพหุนามกำลังสองที่อธิบายความสัมพันธ์ระหว่างดัชนีสเปกตรัมตามภาพทั้งสองถูกสร้างขึ้นเพื่อแก้ไขดัชนีสเปกตรัมตามภาพถ่ายดาวเทียมความละเอียดเชิงพื้นที่ต่ำ (จาก Sentinel-2A) จากนั้น สถานการณ์ที่ 1 (โมเดลที่ดีที่สุดตาม Sentinel-2A ที่ใช้สำหรับดัชนีสเปกตรัม Sentinel-2A ที่ยังไม่ได้เชื่อม), สถานการณ์ที่ 2 (โมเดลการผกผันที่ดีที่สุดตาม UAV ที่ใช้สำหรับดัชนีสเปกตรัมแบบ Sentinel-2A ที่ยังไม่ได้เชื่อม) และสถานการณ์ที่ 3 (แบบจำลองการผกผันที่ดีที่สุดตาม UAV ที่ใช้สำหรับดัชนีสเปกตรัมที่ใช้ Sentinel-2A ที่หลอมรวม) ถูกปรับเปลี่ยนและวิเคราะห์และได้รับแผนที่การกระจาย SSC ผ่านสถานการณ์ที่ 3 ผลลัพธ์ระบุว่าสถานการณ์ที่ 3 มีความแม่นยำสูงสุด โดยการปรับเปลี่ยน  $R^2$  ดีขึ้น 0.078-0.111 ค่าความผิดพลาดของค่าเฉลี่ยรากที่สอง (RMSE) ลดลง 0.338-1.048 การตรวจสอบ  $R^2$  ดีขึ้น 0.019-0.079 ค่า RMSE ลดลง 0.517-1.030 และอัตราส่วนของประสิทธิภาพต่อการเบี่ยงเบน (RPD) ดีขึ้น 0.185-0.423 ดังนั้น วิธีการนี้สามารถปรับปรุงความถูกต้องของการผกผันของการตรวจจับระยะใกล้ SSC ซึ่งเอื้อต่อการตรวจสอบ SSC ที่แม่นยำและรวดเร็ว

(Hu, Peng et al. 2019) ทำการศึกษาการประมาณปริมาณความเค็มของดินด้วยข้อมูลจากภาพถ่าย Hyperspectral ที่ติดตั้งกล้องบนทึ杲ภาพบิน UAV ภาพถ่ายจากดาวเทียม GF-2 โดยนำค่าสะท้อนแสงจากภาพที่ระยะพื้นต่อพิกเซล (GSD) ขนาด 0.01 เมตร และค่าการนำไฟฟ้าของดินที่ได้จากอุปกรณ์เหนี่ยวนำแม่เหล็กไฟฟ้า Electromagnetic induction (EMI) การรวมตัวอย่างดิน

จากภาคสนามมาเข้าห้องปฏิบัติการ เพื่อเป็นพารามิเตอร์ในการสร้างแบบจำลองทำนายปริมาณความเค็มของดิน สร้างแบบจำลองด้วยสมการรถถอย Random forest และทำการประเมินประสิทธิภาพของแบบจำลองด้วย Lin's Concordance coefficient (Cc), Ratio of performance to deviation (RPD) และ Root mean square error (RMSE) พบว่าที่ดินเปล่า (สนาม A) แสดงความเค็มที่รุนแรงที่สุด ตามด้วยพื้นที่พืชหนาแน่น (สนาม C) และพื้นที่พืชพรรณเบาบาง (สนาม B) แบบจำลองการทำนายปริมาณความเค็มของดินที่ใช้ภาพถ่ายจากดาวเทียม GF-2 สนาม A มีค่า RMSE, CC และ RPD ที่ 1.40 dS/m, 0.94 และ 2.98 ตามลำดับ ผลลัพธ์ของเราระบุว่าทำการศึกษาการประมาณปริมาณความเค็มของดินด้วยข้อมูลจากภาพถ่ายแบบหลายช่วงคลื่น ที่ติดตั้งกล้องบันทึกภาพบน UAV เป็นเครื่องมือที่มีประโยชน์สำหรับการตรวจสอบและการทำแผนที่ความเค็มของดินในระดับสนาม ด้วยความช่วยเหลือของเทคนิค EMI การประมาณเชิงปริมาณของความเค็มของดินผิวเป็นสิ่งสำคัญในการตัดสินใจในการจัดการพื้นที่ดินเค็ม

จากหลายรายงานการศึกษาที่กล่าวมายังเห็นได้ว่ามีงานวิจัยที่ใช้การสำรวจระยะใกล้ในการศึกษาผลกระทบของดินเค็ม ทั้งในรูปแบบของข้อมูลจากภาพถ่าย Hyperspectral ที่ติดตั้งกล้องบันทึกภาพบน UAV และภาพถ่ายจากดาวเทียม แต่เนื่องจากคุณภาพกล้องที่จะสามารถถ่ายภาพ Hyperspectral ได้นั้นมีราคาที่สูงมาก และเข้าถึงได้ยาก สำหรับภาพถ่ายจากดาวเทียมนั้นก็จะได้ข้อมูลในบริเวณกว้างๆ ไม่เฉพาะเจาะจง และยังมีความละเอียดของภาพที่ต่ำกว่า UAV ดังนั้นจึงมีความเป็นไปได้ในการประเมินภาพถ่ายจากอากาศยานไร้คนขับ และอัลกอริธึมการเรียนรู้ของเครื่องสำหรับการติดตามและทำแผนที่ความเค็มของดิน โดยนำข้อมูลจากภาพถ่ายในช่วงคลื่น RGB ที่ติดตั้งกล้องบันทึกภาพบน UAV โดยนำค่าสะท้อนแสงจากภาพ และค่าการนำไฟฟ้าของดิน มาสร้างแบบจำลองโดยใช้แบบจำลอง Generalized linear models (GLM) Random forest (RF) และ Support vector machine (SVM) และทำการประเมินประสิทธิภาพแบบจำลองโดยใช้ค่าสัมประสิทธิ์การตัดสินใจ ( $R^2$ ) และรากกำลังสองเฉลี่ยผิดพลาด (RMSE)

## 1.2 วัตถุประสงค์

เพื่อทำการประเมินภาพถ่ายจากอากาศยานไร้คนขับ และอัลกอริธึมการเรียนรู้ของเครื่องสำหรับการติดตามและทำแผนที่ความเค็มของดิน

## 1.3 ขอบเขตและข้อจำกัดของการวิจัย

1. หาสมการความสัมพันธ์ ระหว่างการนำไฟฟ้าของดิน กับค่าการสะท้อนแสงในช่วงคลื่นสี RGB มาสร้างแบบจำลองโดยใช้แบบจำลอง Generalized linear models (GLM) Random forest (RF) และ Support vector machine (SVM) และทำการประเมินประสิทธิภาพแบบจำลองโดยใช้ค่าสัมประสิทธิ์การตัดสินใจ ( $R^2$ ) และรากกำลังสองเฉลี่ยผิดพลาด (RMSE)
2. ข้อมูลภาพถ่ายความละเอียดสูงจากอากาศยานไร้คนขับแบบใบพัดหมุน Mavic Air 1 แต่ภาพถ่ายที่ได้จะเป็นภาพถ่ายที่อยู่ในช่วงคลื่น RGB เท่านั้น
3. วิธีที่ใช้ในการเก็บตัวอย่างดินที่ก่อนนำมาเข้าห้องปฏิบัติการ เพื่อตรวจหาค่าการนำไฟฟ้าที่อยู่ในดินของแต่ละตัวอย่างการทดลอง วิธีที่ใช้คือวิธีที่กรรมพัฒนาที่ดินใช้ในปัจจุบัน
4. วิธีที่ใช้ในการตรวจหาค่าการนำไฟฟ้าในห้องปฏิบัติการ คือวิธีที่กรรมพัฒนาที่ดินใช้ในปัจจุบัน แต่จะมีความแตกต่างในขั้นตอนการวัดค่าการนำไฟฟ้า โดยเครื่องมือที่ใช้ในการวัดค่าการนำไฟฟ้า คือ EC-138 Conductivity Meter

## 1.4 สถานที่ทำการวิจัย

1. ห้องปฏิบัติการวิศวกรรมแหล่งน้ำและสิ่งแวดล้อม คณะวิศวกรรมศาสตร์ มหาวิทยาลัยมหาสารคาม
2. บริเวณกลางทุ่งนา บ้านโนนสิม ตำบลหัวนาคำ อำเภอทางหลวง กาฬสินธุ์ 46120 อุปที่ พิกัด  $16^{\circ}23'53.1''$  เหนือ และ  $103^{\circ}16'47.0''$  ตะวันออก

## 1.5 ผลที่คาดว่าจะได้รับ

สามารถทำอุปกรณ์สำหรับการติดตาม และทำแผนที่ความเค็มของดิน ที่มีความแม่นยำ โดยใช้ภาพถ่ายทางอากาศจากอากาศยานไร้คนขับ

## บทที่ 2

### ทฤษฎีและงานวิจัยที่เกี่ยวข้อง

การศึกษาเรื่องเพื่อทำการประเมินภาพถ่ายจากอากาศยานไร้คนขับ และอัลกอริธึมการเรียนรู้ของเครื่องสำหรับการติดตามและทำแผนที่ความเค็มของดินผู้วิจัยได้ทำการศึกษาแนวคิดทฤษฎีและงานวิจัยที่เกี่ยวข้อง เพื่อนำมาเป็นกรอบแนวคิดในการศึกษา ตามหัวข้อดังต่อไปนี้

#### 2.1 ดินเค็ม

ดินเค็ม (Saline soil) คือ ดินที่มีปริมาณเกลือชนิดต่างๆ ที่ละลายน้ำได้ปะปนในเนื้อดินสูงจนเป็นอันตรายต่อพืช ทั้งนี้เนื่องจากไม่สามารถดูดน้ำเข้าสู่ระบบระบุได้สะดวกหรือเกิดสภาพที่เป็นพิษกับพืช ดังนั้นบริเวณที่เป็นดินเค็มจะมีลักษณะเป็นพื้นที่ว่างเปล่าไม่มีพืชขึ้นหรือ มีวัชพืชขึ้นอยู่เพียงเบาบางและในกรณีที่ดินเค็มจัดจะเห็นคราบเกลือสีขาวบนผิวดินเป็นบริเวณกว้าง ส่วนในดินผุแม้จะไม่เห็นคราบเกลือแต่ก็จะสังเกตเห็นว่าพื้นที่ไม่มีพืชปกคลุมเหมือนเช่นที่พบในบริเวณใกล้เคียง



ภาพที่ 1 ตัวอย่างดินเค็ม

ที่มา : [ดินเค็ม กับปัญหาการแพร่กระจายที่เพิ่มมากขึ้น \(arda.or.th\)](http://arda.or.th)

2.1.1 สาเหตุที่ทำให้เกิดดินเค็มสาเหตุการแพร่กระจายดินเค็ม คือเกลือเกิดขึ้นเป็นเกลือที่ละลายน้ำได้ดี น้ำจึงเป็นตัวกลางหรือพาหนะในการพาเกลือไปสะสมในที่ต่างๆ ที่น้ำไหลผ่านซึ่งเป็นสาเหตุของการเกิดการแพร่กระจายดินเค็ม

1. สาเหตุจากธรรมชาติ คือหินหรือแร่ที่มีเกลืออยู่เมื่อสลายตัวหรือผุพังไป โดยกระบวนการทางเคมี และทางกายภาพก็จะปลดปล่อยเกลือต่างๆ ออกมากลือเหล่านี้อาจสะสมอยู่กับที่หรือเคลื่อนตัวไป กับน้ำแล้วซึมสูญล่าง หรือซึมกลับมาบนผิวดินได้โดยการระเหยของน้ำไปโดยพลังแสงแดดหรือถูกพืช นำไปใช้น้ำใต้ดินเค้มที่อยู่ระดับใกล้ผิวดินเมื่อน้ำซึมขึ้นบนดิน ก็จะนำเกลือขึ้นมาด้วยภัยหลังจากที่ น้ำระเหยแห้งไปแล้วก็จะทำให้มีเกลือเหลือสะสมอยู่บนผิวดิน และที่ลุ่มที่เป็นแหล่งรวมของน้ำน้ำ บริเวณนี้ส่วนมากจะมีเกลือละลายอยู่เพียงเล็กน้อยก็ได้ เมื่อเวลาผ่านไปเกิดการสะสมของเกลือโดย การระเหยของน้ำ พื้นที่บริเวณนั้นอาจเป็นหนองน้ำหรือทะเลสาบเก่าก็ได้

2. สาเหตุจากการกระทำของมนุษย์ คือการทำนาเกลือทั้งวิธีการสูบน้ำเค้มขึ้นมา ตาม หรือวิธีการขุดผิวดินที่มีรายเกลือมาต้มเกลือในปริมาณมากจนส่งผลทำให้พื้นที่บริเวณใกล้เคียง กลายเป็นพื้นที่ดินเค้ม หรือการสร้างอ่างเก็บน้ำบนพื้นที่ดินเค้ม หรือมีน้ำใต้ดินเค้มทำให้เกิดการ ยกรดดับของน้ำใต้ดินขึ้นมาทำให้พื้นที่โดยรอบและบริเวณใกล้เคียงเกิดเป็นพื้นที่ดินเค้มได้ การ ชลประทานที่ขาดการวางแผนในเรื่องผลกระทบของดินเค้มมากก่อให้เกิดปัญหาต่อพื้นที่ซึ่งใช้ประโยชน์ จากระบบชลประทานนั้นๆ แต่ถ้ามีการคำนึงถึงสภาพพื้นที่และศึกษาเรื่องปัญหาดินเค้มเข้าร่วมด้วย จะเป็นการช่วยแก้ไขปัญหาดินเค้มได้วิธีหนึ่งและการตัดไม้ทำลายป่าทำให้ สภาพการรับน้ำของพื้นที่ ไม่มีประสิทธิภาพทำให้ เกิดปัญหาตามมาอย่างมากมายจากสภาพทางอุทธรณ์ของน้ำเปลี่ยนแปลง ไปแทนที่พืชจะใช้ประโยชน์กลับให้ลงไปในระบบส่งน้ำใต้ดินเค้มทำให้เกิดปัญหาดินเค้มตามมา (ประจำชั้น บุญอารีย์, 2544)

2.1.2 วิธีการตรวจดินเค้ม วิธีการตรวจดินค่าความเค็มมีหลายวิธี แต่ที่นิยมกันโดยทั่วไปคือ ดูจากความเข้มข้นของความเค็มที่วัดได้ ซึ่งมักจะใช้การนำไฟฟ้าของดิน Electrical conductivity (Ec) มีหน่วยความเข้มข้นเป็น เดซิเซเมนต์ต่อมเมตร ( $dS/m$ ) ค่าการนำไฟฟ้าของดินที่สกัดได้จากดินวัด จากการละลายขณะที่อิ่มตัวด้วยน้ำ Electrical conductivity at Saturation extract (Ece) ที่ 25 องศาเซลเซียส มาใช้ประเมินปริมาณเกลือและอิทธิพลของเกลือในดินต่อการเจริญเติบโตและผลผลิต ของพืช (กรมทรัพยากรรรมนี กระทรวงทรัพยากรธรรมชาติและสิ่งแวดล้อม, 2564)

ตารางที่ 1 การจำแนกระดับความเค็มที่มีผลกระทบต่อพืช

ค่าการนำไฟฟ้า (dS/m)	ระดับความเค็ม	ผลต่อการเพาะปลูก
น้อยกว่า 2	ไม่เค็ม	ไม่มีผลกระทบต่อพืช
2-4	เค็มน้อย	มีผลกระทบต่อการเจริญเติบโตของพืชไม่นัก
4-8	เค็มปานกลาง	มีผลกระทบต่อการเจริญเติบโตของพืชหลายชนิด
8-16	เค็มมาก	เฉพาะพืชทนเค็มเท่านั้นจึงจะเจริญเติบโตให้ผลผลิตได้
มากกว่า 16	เค็มที่สุด	เฉพาะพืชที่ทนเค็มที่สุดจึงเจริญเติบโตให้ผลผลิตได้

ที่มา : (U.S. Soil Salinity Laboratory Staff, 1992)

## 2.2 การสำรวจข้อมูลจากระยะไกล (Remote sensing)

เทคโนโลยีในการสำรวจทรัพยากรจากภาพถ่ายดาวเทียม หรือการสำรวจข้อมูลจากระยะไกล ในประเทศไทยได้เริ่มต้นขึ้นในปี พ.ศ.2514 โดยได้มีการแต่งตั้งคณะกรรมการแห่งชาติเพื่อประสานงานกับกองสำรวจทรัพยากรธรรมชาติด้วยดาวเทียม ซึ่งมีผู้ทรงคุณวุฒิจากหน่วยงานต่างๆ ได้ออนุมัติให้เข้าร่วมโครงการสำรวจทรัพยากรธรรมชาติด้วยดาวเทียมขององค์กรบริหารการบินและอวกาศแห่งชาติ (NASA) ในการใช้ประโยชน์จากข้อมูลดาวเทียมเพื่อสำรวจทรัพยากรต่างๆ ภายในประเทศ ดาวเทียมดวงแรก ได้แก่ LANDSAT-1 โดยใช้เป็นโครงการสำรวจทรัพยากรธรรมชาติ ด้วยดาวเทียมภายใต้ สำนักงานคณะกรรมการวิจัยแห่งชาติ ต่อมาได้มีการยกระดับขึ้นเป็นกองสำรวจทรัพยากรธรรมชาติด้วยดาวเทียมในปี พ.ศ. 2522 โดยมีหน่วยงานต่างๆ ได้นำเอาข้อมูลดาวเทียมไปใช้ประโยชน์อย่างกว้างขวาง ดังนั้นคณะกรรมการทรัพยากรธรรมชาติและสิ่งแวดล้อม ได้อนุมัติให้ สำนักงานคณะกรรมการวิจัยแห่งชาติ จัดตั้งสถานีรับสัญญาณดาวเทียมสำรวจทรัพยากร ขึ้นมาในปี พ.ศ. 2523 มีหน้าที่ในการรับและผลิตข้อมูลดาวเทียม ซึ่งเป็นสถานีรับสัญญาณแห่งแรกในเอเชียตะวันออกเฉียงใต้ ในปัจจุบันได้โอนไปอยู่ในหน่วยงาน “สำนักงานพัฒนาเทคโนโลยีอวกาศและภูมิสารสนเทศ” ตั้งขึ้น เมื่อวันที่ 2 พฤษภาคม พ.ศ.2543

ดาวเทียมสำรวจทรัพยากรธรรมชาติด้วงแรกของไทย ได้รับการพัฒนาขึ้นเพื่อให้ประเทศไทย  
โอกาสในการเข้าถึงข้อมูลดาวเทียมได้ง่ายขึ้น โดยจะส่งขึ้นวงโคจรในราศีตันปีพ.ศ. 2551 มีอายุการใช้  
งานอย่างน้อย 5 ปี มีความสามารถในการบันทึกข้อมูลภาพได้ทั้งในช่วงคลื่นที่ตามองเห็น 3 ช่วงคลื่น  
แสง คือ สีแดง สีเขียว สีน้ำเงิน และช่วงคลื่นแสงที่ตามองไม่เห็น (อินฟราเรดไกล) มีรายละเอียดของ  
ภาพสี 15 ม. ความกว้างแนวถ่ายภาพ 90 กม. ภาพขาวดำ 2 ม. ความกว้างแนวถ่ายภาพ 22 กม.

สามารถนำมำใช้ประโยชน์ในการวิจัยทางการเกษตรที่เกี่ยวข้องกับพืชได้ หมายเหตุรับน้ำศึกษา เกี่ยวกับพืชพรรณ จำแนกชนิด ระยะการเจริญเติบโต และความแข็งแรงสมบูรณ์ของใบพืช ประเทศไทยจึงควรเตรียมพร้อมเพื่อจะได้ใช้ประโยชน์จากโอกาสที่ไทยจะได้เป็นเจ้าของดาวเทียมอง (วลัย ประเทศไทย ประจำ, 2007)

### 2.3 ความหมายและกระบวนการ (Remote Sensing)

Remote Sensing คือข้อมูลเกี่ยวกับวัตถุ พื้นที่ ที่ได้จากเครื่องมือบันทึกข้อมูล (Sensor) โดยเราไม่ได้เข้าไปสัมผัสกับตัววัตถุ แต่จะอาศัยคุณสมบัติคลื่นแม่เหล็กของไฟฟ้า (Electromagnetic energy) เป็นสื่อ โดยคำที่ใช้กันอย่างแพร่หลายและเป็นทางการ คือ การสำรวจข้อมูลจากระยะไกล (พิชชาพร อุ่นพา, 2557)

2.3.1 การรับข้อมูลและบันทึกสัญญาณข้อมูล (Data acquisition) โดยคลื่นแม่เหล็กไฟฟ้า (Electromagnetic spectrum) จากดวงอาทิตย์เคลื่อนที่ผ่านชั้นบรรยากาศทำให้เกิดปฏิสัมพันธ์ของพลังงานกับรูปถ่ายขนาดพื้นผิวโลก และเดินทางเข้าสู่เครื่องมือบันทึกข้อมูล (Sensor) ที่ติดตั้งในดาวเทียม (Airborne or Space borne) ข้อมูลจะถูกบันทึก และผลิตเป็นข้อมูลในรูปแบบภาพ (Sensor data in pictorial หรือ Photograph) หรือรูปแบบเชิงตัวเลข (Digital form)

2.3.2 การวิเคราะห์ข้อมูล (Data analysis) จะประกอบด้วยการแปลงข้อมูลด้วยสายตา (Visual interpretation) และการวิเคราะห์เชิงตัวเลข (Digital analysis) (สมบัติ อุ่นเมือง, 2558)



ภาพที่ 2 กระบวนการสำรวจข้อมูลจากระยะไกล

ที่มา: <http://dc356.4shared.com/doc/8AuUXLWq/preview.html>

## 2.4 การสำรวจด้วยภาพถ่ายทางอากาศ (Photogrammetry)

การสำรวจด้วยภาพถ่าย เป็นการสำรวจที่ประยุกต์หลักวิชา Photogrammetry มาใช้ในการสำรวจภูมิประเทศ การทำแผนที่ และการสำรวจภาคพื้นดิน (Terrestrial) และทางอากาศ (Aerial)

โพโตแกรมเมตรีเป็นเทคโนโลยีที่ใช้ในการทำข้อมูลสารสนเทศที่มีความแม่นยำสูงเกี่ยวกับวัตถุภาพและสภาพแวดล้อมต่าง ๆ โดยผ่านกระบวนการบันทึก การรังวัด และการแปลความหมายจากภาพถ่าย และรูปแบบการพร้อมของพลังงานคลื่นแม่เหล็กไฟฟ้า และปรากฏการณ์อื่น ๆ ที่ถูกบันทึกไว้ จากคำนิยามของงานทางโพโตแกรมเมตรี สามารถแบ่งออกได้เป็น 2 ลักษณะคือ

1. Photogrammetry ที่เกี่ยวกับการรังวัดภาพ (Metric photogrammetry) ซึ่งรวมการวัดอย่างละเอียดและการคำนวณ เพื่อให้ได้ขนาดของวัตถุ

2. Photogrammetry ที่เกี่ยวกับการแปลภาพ (Interpretation photogrammetry) ซึ่งเป็นการปฏิบัติเกี่ยวกับการรับรู้ภาพจากระยะใกล้ และจำแนกวัตถุต่าง ๆ (ไพศาล สันติธรรมนนท์, 2553)

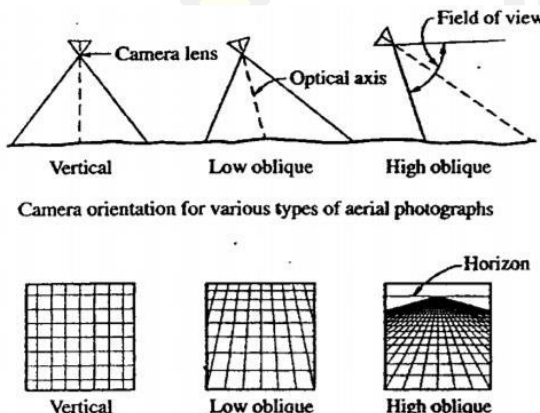
## 2.5 ชนิดของภาพถ่าย

ภาพถ่ายในงานทาง Photogrammetry แบ่งเป็นภาพที่ถ่ายจากภาคพื้นดิน (Terrestrial) และทางอากาศ (Aerial) ภาพถ่ายภาคพื้นดินถ่ายด้วยกล้องที่อยู่บนพื้น (Ground – based cameras) ซึ่งจะทราบตำแหน่ง (Position) และการอียงตัว (Orientation) ของกล้อง ทำให้เกิดสาขาของงานPhotogrammetry ที่เรียกว่า “Terrestrial photogrammetry” เป็นการประยุกต์การรังวัดด้วยภาพที่มีการใช้เครื่องมือและดำเนินการรังวัดบนภาคพื้นดิน การรังวัดใช้กล้องที่มีขนาดเล็กลงเพื่อให้สามารถเคลื่อนย้ายในสนามได้สะดวก การรังวัดภาพพื้นดินนิยมใช้กับการทำแผนที่ภูมิประเทศที่ขอบเขตไม่กว้างขวางนัก แต่ภูมิประเทศซึ่งช้อน เช่น การทำแผนที่ของเหมืองเปิด การทำแผนที่ของภูมิประเทศที่เป็นเนินเขาและหุบเขา และอีกสาขา เรียกว่า “Close-range photogrammetry” เป็นการรังวัดด้วยภาพที่ระยะระหว่างกล้อง อยู่ห่างจากวัตถุที่จะรังวัดไม่มากนัก โดยทั่วไปจะจำกัดในระยะ 1 ถึง 100 เมตร จะมีการใช้กล้องถ่ายภาพพิเศษเพื่อการนี้โดยเฉพาะปัจจุบันมีการประยุกต์ใช้กล้องถ่ายภาพดิจิทัลที่ใช้งานอยู่ทั่วไปในห้องทดลอง มักจะประยุกต์ใช้งานด้านโบราณสถาน โบราณวัตถุ งานด้านการตรวจสอบทางอุตสาหกรรม ทางด้านการแพทย์ เพื่อใช้ขนาดและรูปร่างของวัตถุที่ซับซ้อนหรือต้องการประหยัดเวลาในการบันทึก

ภาพถ่ายทางอากาศ โดยทั่วไปแบ่งออกได้เป็นภาพดิ่ง กับ ภาพเฉียง ภาพดิ่ง (Vertical) คือภาพที่ถ่ายโดยให้แกนของกล้องอยู่ในแนวตั้งมากที่สุด ถ้าแกนของกล้องขนานกับภาพอยู่ ในแนวตั้งจริง ภาระนาบภาพจะนานกับระยะทางของพื้นหลังฐาน และภาพที่ได้เรียกว่า ดิ่งจริง (Truly

vertical) ในการถ่ายภาพดิจิทัล อาจจะมีปัญหาเรื่องของแนวกล้องที่จะให้อยู่ในแนวตั้งอยู่ตลอดเวลา เนื่องจากสภาพอากาศ ทำให้เครื่องบินเกิดการเอียงในขณะที่ถ่ายภาพ ถ้าแกนของกล้องเอียงไปจากแนวตั้งเพียงเล็กน้อย ภาพที่ได้เรียกว่า ภาพเอียง (Tilt) ความเอียงของแกนกล้องนี้ปกติจะน้อยกว่า 1° และไม่เกิน 3° ในการทำงานบางครั้งก็ถือเอาภาพเอียงเป็นภาพดิจิทัลจริง เครื่องมือที่มีความละเอียดถูกต้องและวิธีการในงานฟ็อโตแกรมเมตري ได้รับการพัฒนาจนทำให้การใช้ภาพเอียงไม่ทำให้ความถูกต้องของงานที่ได้ลดลง

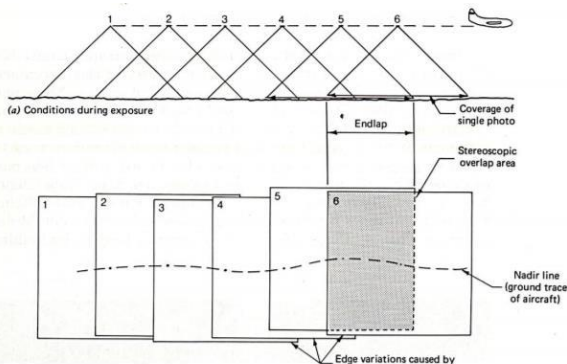
ภาพเฉียง (Oblique) คือ ภาพที่ถ่ายโดยให้แกนของกล้องเอียงออกจากแนวตั้ง ภาพเฉียงต่ำ (Low Oblique) จะไม่ปรากฏเส้นขอบฟ้า ส่วนภาพเฉียงสูง (High oblique) จะปรากฏแนวเส้นขอบฟ้า (กิตติศักดิ์ ศรีก拉斯, 2559)



ภาพที่ 3 ชนิดภาพถ่ายภาพแนวตั้ง ภาพเฉียงต่ำ ภาพเฉียงสูง  
ที่มา : (กิตติศักดิ์ ศรีก拉斯, 2559)

### 2.5.1 การบินถ่ายภาพดิจิทัล

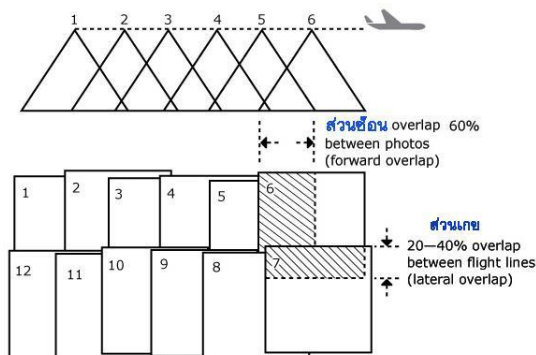
ในการถ่ายภาพดิจิทัลด้วยกล้องถ่ายภาพทางอากาศแบบกรอบ (Framecamera) ที่ติดตั้งเครื่องบินให้คลุมพื้นที่ จะถ่ายภาพเป็นแนวนานกัน เรียกว่า “แนวบิน” (Flight strip) ภาพที่อยู่ประชิดกันในแต่ละแนวบินจะครอบคลุมพื้นที่เหลือมันกันเป็นบางส่วน เรียกว่า “ส่วนซ้อน” (Endlap / Overlap) ตามปกติจะประมาณร้อยละ 55 ถึง 65 บริเวณที่เหลือมันกันตามแนวบินของภาพคู่หนึ่ง เรียกว่า “บริเวณคู่ภาพสามมิติ” (Stereoscopic overlap area) และเรียกภาพคู่นี้ว่า “คู่ภาพสามมิติ” (Stereopairs) ตำแหน่งของกล้องขณะถ่ายภาพ เรียกว่า “ตำแหน่งถ่ายภาพ” (Exposure station) และ ความสูงของกล้องเรียกว่า “ระดับบิน” (Flying height)



ภาพที่ 4 ส่วนซ้อนบริเวณที่เหลือมกันของภาพ

ที่มา : <http://natres.psu.ac.th/Department/EarthScience/remote1/chapter3.pdf>

ภาพถ่ายในแนวบินข้างเคียงกัน จะมีบริเวณที่ซ้อนกัน เรียกว่า “ส่วนเกย” (Side lap) ประมาณร้อยละ 20 ถึง 40 ภาพถ่ายทางอากาศที่มีตั้งแต่สองแนวบินขึ้นไป เรียกว่า “บล็อกของ ภาพถ่าย” (Block of photos)



ภาพที่ 5 ส่วนเกยของแนวบิน

ที่มา : <http://www.geog.pn.psu.ac.th>

### 2.5.2 ผลผลิตที่เป็นภาพ (Image products)

ผลผลิตเหล่านี้อยู่ในรูปแบบของภาพที่แสดงวัตถุเดิมที่อาจอยู่ในรูปแบบสามมิติโดยแสดงออกมากในลักษณะสองมิติต่อไปนี้เป็นตัวอย่างของผลผลิต

1. ภาพถ่ายทางอากาศใช้ในการตีความและวางแผนทั่วไป
2. ภาพขาวดำหรือภาพสีที่ได้จากการกำหนดสีให้กับแบบสเปกตรัมต่าง ๆ ของคลื่นแม่เหล็กไฟฟ้า ภาพเหล่านี้สามารถนำไปใช้สำหรับการตีความและวางแผนทั่วไปในพื้นที่ ที่ถ่ายภาพมา

3. โมเสค (Mosaic) เป็นภาพต่อของภูมิประเทศ สร้างขึ้นโดยการนำภาพถ่ายแต่ละภาพมา ตัดต่อรวมเข้าด้วยกันเป็นผืนเดียว ดังนั้น โมเสคจึงเป็นการต่อภาพหลายภาพ และแต่ละภาพเป็นการมองภูมิประเทศจากจุดศูนย์ทิวทัศน์ (Perspective view)

4. ภาพดัดแก้ (Rectified imagery) เป็นภาพที่ได้รับการขัดอิทธิพลของการเอียงของ กล้องในขณะถ่ายภาพออกไปแต่ยังมีอิทธิพลของความสูงต่ำของภูมิประเทศ (Relief) ปรากฏอยู่ จึงทำให้มาตราส่วนที่แท้จริงในภาพแปรผันไปตามลักษณะของภูมิประเทศ เช่นเดียวกับในกรณีของ ภาพหรือรูปถ่ายดั้งเดิมและในกรณีของโมเสค

5. ภาพออร์โท (Orthophoto) เป็นภาพของภูมิประเทศที่สร้างจากคู่ภาพที่ซ้อนกัน โดยที่มี การขัดลักษณะเรขาคณิตแบบการฉายจากจุดศูนย์ทิวทัศน์ของภาพออกไปภาพออร์โท สามารถนำมาใช้ได้ในลักษณะเดียวกับแผนที่ทางราบ (Planimetric map) เนื่องจากมี มาตราส่วนคงที่ ถ้านำเสนอชั้นความสูงมาซ้อนทับบนภาพออร์โท ก็จะได้เป็นแผนที่ภาพออร์โทที่สามารถนำมาใช้ เช่นเดียวกับแผนที่ภูมิประเทศ

6. โมเสคของภาพออร์โท (Orthophotomosaic) เป็นผลผลิตที่เกิดจากการนำภาพ ออร์โท ในบริเวณติดกันมารวมกันเข้าเป็นภาพผืนเดียว มีมาตราส่วนคงที่ทั่วทั้งภาพสามารถ นำมาใช้ ได้ดังเช่นแผนที่

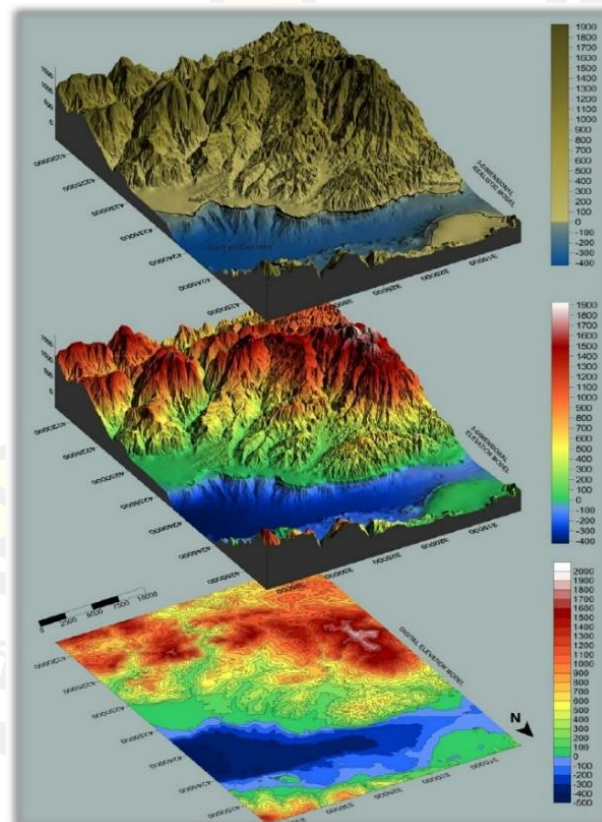


ภาพที่ 6 ภาพถ่ายออร์โท (Orthophoto Map)

### 2.5.3 ผลผลิตที่เป็นจุดและข้อมูลแบบจุดพิกัด (Point and vector products)

ผลผลิตที่เป็นจุดคือผลผลิตที่ทราบค่าพิกัดสามมิติของแต่ละจุดซึ่งค่าพิกัดอาจอยู่ในระบบพิกัดภาคพื้นดินหรือบางครั้งอาจอยู่ในระบบพิกัดอื่นผลผลิตเหล่านี้ได้แก่

1. จุดควบคุมเพิ่มเติม (Supplementary control) ที่มักได้จากการสำรวจด้วยภาพถ่ายด้วยวิธีการข่ายสามเหลี่ยมอากาศ (Aerotriangulation)
2. การกำหนดตำแหน่งของเป้าหมาย (Targeting) ที่สร้างหรือกำหนดขึ้นก่อนการถ่ายภาพ (Pre-marking)
3. แบบจำลองความสูงเชิงเลข Digital elevation model (DEM) ที่เป็นการเก็บลักษณะ พื้นผิวของภูมิประเทศในคอมพิวเตอร์ 1) แบบจุดสุ่ม (Random data point) เก็บค่าพิกัดณ ตำแหน่งที่ภูมิประเทศมีการเปลี่ยนแปลงความสูงอย่างมีนัยสำคัญ 2) แบบกริด (Gridded data point) เก็บค่าพิกัด ณ ตำแหน่งที่กำหนดจากตารางกริด แบบคงที่ในระบบ XY สำหรับแสดงค่าความสูงตรงจุดตัดแต่ละจุดของเส้นกริด



ภาพที่ 7 ตัวอย่างแบบจำลองความสูงเชิงเลข Digital elevation model (DEM)

ที่มา : [https://www.researchgate.net/figure/Digital-Elevation-Model-DEM-3D-Elevation-Model-and-3D-Realistic-Model-of-the-combined\\_fig1\\_268074280](https://www.researchgate.net/figure/Digital-Elevation-Model-DEM-3D-Elevation-Model-and-3D-Realistic-Model-of-the-combined_fig1_268074280)

ผลผลิตที่เป็นข้อมูลแบบจุดพิกัดจะใช้แสดงรายละเอียดที่อยู่ในภูมิประเทศหรือรายละเอียดของ วัตถุที่เป็นโครงสร้างที่มนุษย์สร้างขึ้น ตัวอย่างของผลผลิตนี้คือ แผนที่ลายเส้น (Line map) เช่น

ก. แผนที่ทางราบ (Planimetric map) ที่แสดงเฉพาะตำแหน่งทางราบที่รายละเอียดในภูมิประเทศขึ้นโดยมีความละเอียดถูกต้องในระดับต่าง ๆ ขึ้นอยู่กับเทคนิคทาง ไฟโตแกรมเมตรีที่ใช้

ข. แผนที่แสดงเส้นชั้นความสูง (Contour map) ที่เส้นแต่ละเส้นเกิดจากการตัดกันระหว่าง พื้นผิวระดับกับภูมิประเทศ วิธีการนี้เป็นวิธีแรกๆ ที่ใช้แสดงรูปทรงของภูมิประเทศก่อนที่จะมีการนำแนวความคิดเรื่องแบบจำลองความสูงเชิงเลขมาใช้แทนที่ชนิดนี้อาจสร้างขึ้น โดยตรงจากเครื่องมือทางไฟโตแกรมเมตรีหรืออาจสร้างจากแบบจำลองความสูงเชิงเลข

ค. แผนที่ภูมิประเทศ ที่แสดงทั้งรายละเอียดทางราบ และแสดงรูปทรงและความสูงของพื้นดิน ด้วยเส้นชั้นความสูง

ง. แผนที่เฉพาะเรื่อง (Thematic map) ที่แสดงเรื่องใดเรื่องหนึ่งโดยเฉพาะ ในพื้นที่หนึ่ง ๆ อาจมีแผนที่เฉพาะเรื่องหลายๆ ระหว่างกันได้ยกตัวอย่าง เช่น การแสดงโครงข่ายคมนาคม รูปแบบทางน้ำ (Drainage pattern) ชนิดพืชพันธุ์และความชื้นสามารถแยกแสดงออกมา โดยใช้แผนที่เฉพาะเรื่องจำนวน 4 ระหว่าง เป็นต้น แผนที่เฉพาะเรื่องเหล่านี้สามารถนำไปใช้ เป็นชั้นข้อมูลหนึ่ง (Layer) หนึ่งในระบบสารสนเทศภูมิศาสตร์ได้

จ. ไฟฟอร์เจล (Profile) แสดงถึงการตัดกันระหว่างระนาบ ที่มักเป็นระนาบตั่งกับพื้นผิวภูมิประเทศไฟฟอร์เจลอาจมีการวางทิศทางอย่างใดก็ได้เมื่อเทียบกับระนาบอ้างอิงทางราบ

ฉ. แบบจำลองวัตถุสามมิติ (Three-dimensional object model) หรือโครงสร้าง (Wire frame) ผลผลิตชนิดนี้เกิดจากการประยุกต์ใช้เทคโนโลยีไฟโตแกรมเมตรี ร่วมกับเครื่องมือ ทางสาขาวิชาคอมพิวเตอร์วิชันในงานทางอุตสาหกรรม (กรรมแผนที่หาร)



ภาพที่ 8 ตัวอย่างผลผลิตที่เป็นข้อมูลแบบจุดพิกัด

## 2.6 ดัชนีสเปกตรัม

ดัชนีสเปกตรัมถูกสร้างขึ้น และรับค่าเกลือของตัวอย่างสอบเทียบเป็นตัวแปรตามและดัชนีสเปกตรัมเป็นตัวแปรอิสระ MSLR ใช้เพื่อสร้างแบบจำลอง (MA et al. 2020)

### ตารางที่ 2 การวิเคราะห์ดัชนีสเปกตรัมตาม UAV

ดัชนีสเปกตรัม	สมการ (สูตร)	ค่าสัมประสิทธิ์สหสัมพันธ์	อ้างอิง
ดัชนีความเค็ม	$\sqrt{r \times g}$	-0.699	D Abelkader
	$\sqrt{r^2 \times g^2}$	0.686	
พีซพรอรัมสีเขียวแดง	$(r - g) / (r \div g)$	-0.193	C.J.Tucker
	$r + g$	-0.667	
ดัชนีความเข้ม	$r \times g$	-0.625	HT Fourati
	$r/g$	0.009	
	$r - g$	-0.006	

## 2.7 แบบจำลอง Generalized linear models (GLM)

ตัวแบบเชิงเส้นว่างนัยทั่วไป Generalized linear models (GLM) เป็นชื่อที่ใช้เรียกกลุ่มของตัวแบบสมมุติฐานของตัวแบบเชิงเส้นว่างนัยทั่วไปมีดังนี้

1. องค์ประกอบแบบสุ่ม (Random component) ค่าของ  $Y$  เป็นอิสระต่อกัน และมีการแจกแจงแบบใดแบบหนึ่งในวงศ์ชี้กำลัง (Exponential family)
2. องค์ประกอบแบบเป็นระบบ (Systematic component) สามารถเขียนตัวแปรตัวให้อยู่ในรูปตัวประมาณเชิงเส้น  $\eta$  โดยที่  $\eta = X\beta$
3. พักรชันเชื่อมโยง (Link function) ความสัมพันธ์ระหว่างองค์ประกอบแบบสุ่ม และองค์ประกอบแบบเป็นระบบถูกกำหนดด้วย พักรชันเชื่อมโยง ( $g$ ) โดยที่พักรชันเชื่อมโยงนั้นสามารถหาอนุพันธ์ได้ (Differentiable) และเป็นพักรชันทางเดียว (Monotonic)

$$\text{โดยที่ } E[Y] \equiv \mu = g^{-1}(\eta)$$

การแจกแจงที่อยู่ในวงศ์ชี้กำลัง (Exponential family) มีคุณสมบัติ 2 ประการ ดังนี้

1. การแจกแจงสามารถเขียนได้ในรูปแบบของค่าเฉลี่ย และความแปรปรวน
2. ความแปรปรวนเป็นพักรชันของค่าเฉลี่ย

จากคุณสมบัติข้อที่ (2.) เราสามารถเขียนให้อยู่ในรูปของสมการได้ดังสมการ (1)

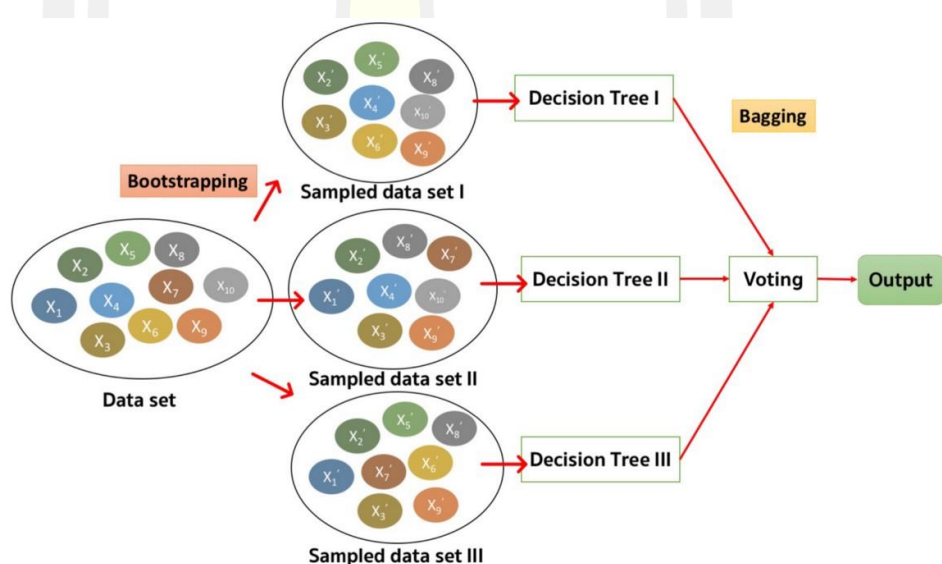
$$\text{Var}(Y_i) = \frac{\phi v(\mu_i)}{\omega_i} \quad \dots\dots\dots(1)$$

โดยที่  $\phi$  เป็นพารามิเตอร์ที่กำหนดขนาดของความแปรปรวน (Scaled parameter) และ  $\omega_i$  เป็นค่าคงที่ ที่กำหนดน้ำหนักให้กับค่าสังเกต (Prior weight) แต่ละตัว โดยการแจกแจงที่อยู่ในวงศ์ชี้กำลังและความแปรปรวนของการแจกแจงต่างๆ สามารถสรุปได้โดยย่อตามตาราง 3

ตารางที่ 3 ตัวอย่างความแปรปรวนของการแจกแจงที่อยู่ในวงศ์ชี้กำลัง (Exponential family)

การแจกแจง	ความแปรปรวน
Normal	1
Poisson	X
Gamma	$X^2$
Binomial	$X(1 - X)$ เมื่อจำนวนการทดลองเท่ากับ 1 ครั้ง
Inverse Gaussian	$X^3$

## 2.8 การสุ่มป่าไม้ Random forest (RF)



ภาพที่ 9 หลักการทำ Random Forest

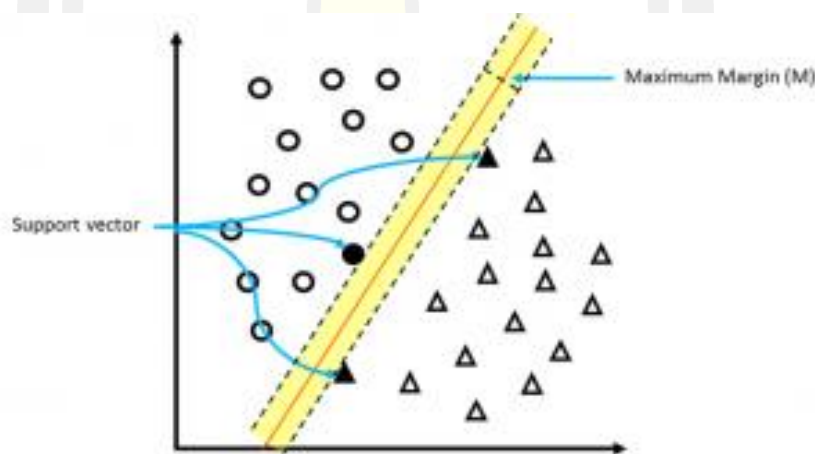
ที่มา : (<https://medium.com/@witchapongdarontham> : เริ่บใช้)

หลักการของ Random forest คือ สร้างโน้มเดลจากต้นไม้ตัดสินใจ (Decision tree) ซึ่งถูกสร้างจากการนำข้อมูลหลายๆ ชุดไปสุ่มเลือกตัวอย่างแบบเลือกแล้วใส่กลับ (Sampling with replacement) และนำมาสร้างเป็นต้นไม้ ซึ่งมีตัวอย่างส่วนหนึ่งที่ไม่ถูกเลือก ซึ่งข้อมูลส่วนนี้ เรียกว่า Out-of-Bag (OOB) จะถูกนำมาใช้ในการทดสอบต้นไม้ตัดสินใจ วิธีการดังกล่าวนี้ เรียกว่า Bagging ผลลัพธ์ที่ได้อย่างอิสระจากต้นไม้ตัดสินใจแต่ละต้นถูกนำมาคิดเป็นผลการโหวต ผลโหวตที่มากที่สุดก็

จะนำเอาต้นไม้嫩น้อกมาสร้างเป็นโมเดล หลักการของ Random forest ไม่จำเป็นต้องมีข้อมูลทดสอบเพื่อประมาณความผิดพลาด เพราะข้อมูล OOB นั้นถูกนำมาใช้ทดสอบต้นไม้ตัดสินใจ嫩นแล้ว

## 2.9 ชัพพอร์ตเวกเตอร์แมชชีน Support vector machine (SVM)

เป็นตัวจำแนกเชิงเส้น (Linear classifier) แบบ 2 คลาส ซึ่งเป็นที่ยอมรับถึงประสิทธิภาพของการจำแนกที่เหนือกว่าวิธีการจำแนกอื่น ๆ ข้อได้เปรียบของ SVM คือมีประสิทธิภาพในการจำแนกข้อมูลที่มีมิติจำนวนมากได้ นอกจากนี้การใช้ฟังก์ชันเครอร์เนล (Kernel function) เพื่อแปลงข้อมูลไปยังมิติที่สูงขึ้นในปริภูมิคุณลักษณะ (Feature space) สามารถจำแนกข้อมูลที่มีความคลุมเครือได้อย่างมีประสิทธิภาพ หลักการของ SVM คือการหาเส้นตรงที่มีมาร์จินที่โตที่สุด (Maximum margin) ที่สามารถแบ่งข้อมูลออกเป็น 2 คลาส ดังตัวอย่างในภาพที่ 10 เป็นข้อมูลขนาด 2 มิติ โดยถูกจำแนกออกเป็น 2 คลาส ได้แก่ + (O) และคลาส - (Δ) โดยเส้นตรงที่ใช้แบ่งข้อมูลมีมาร์จินเท่ากับ  $M=2w$  ซึ่ง เป็นความกว้างระหว่างเส้นตรงกับชัพพอร์ตเวกเตอร์ (Support vector) ของข้อมูลทั้ง 2 คลาส ( และ ) การจำแนกเชิงเส้นด้วยมาร์จินที่โตที่สุด

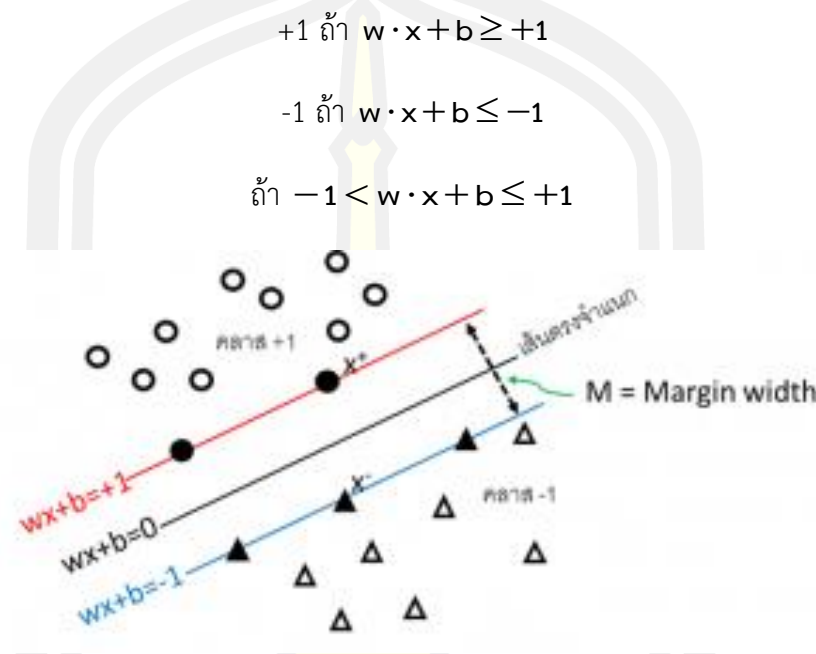


ภาพที่ 10 ตัวอย่างของตัวแบบจำแนก SVM บนข้อมูลขนาด 2 มิติ

ที่มา : (<https://knowledge.sru.ac.th> : เว็บไซต์)

การใช้เส้นตรงสำหรับแบ่งข้อมูลเป็น 2 กลุ่มด้วยมาร์จินที่โตที่สุด (Maximum margin) เป็นวิธีที่การันตีได้ว่าจะสามารถแยกข้อมูลได้โดยมีความผิดพลาดน้อยที่สุด โดยมี Support vector เป็นตัวกำหนดขนาดของ Margin ดังนั้นถ้าข้อมูลมีการเปลี่ยนแปลงใดๆ เส้นตรงจำแนกที่ยังคงอยู่กับ Support vector ซึ่งจะยังเป็น Maximum margin อยู่ ในภาพประกอบ 12 เป็นการหา Maximum

margin ในเชิงคณิตศาสตร์ จากภาพประกอบ 12 จะเห็นได้ว่าข้อมูล  $x$  จะถูกแบ่งเป็นระนาบบวก และระนาบลบ โดยมีสมการคือ  $w \cdot x + b \geq 1$  สำหรับคลาส+ และ  $w \cdot x + b \leq -1$  สำหรับคลาสลบ ดังนั้น จะสามารถจำแนกข้อมูลได้โดย



ภาพที่ 11 การคำนวณ Maximum Margin  
ที่มา : (<https://knowledgesnru.ac.th> : เว็บไซต์)

## 2.10 ค่ารากที่สองของค่าคลาดเคลื่อนกำลังสองเฉลี่ย Root mean square error (RMSE)

ข้อมูลค่าการนำไฟฟ้าที่ได้จากการสำรวจภาคสนามรวมทั้งหมด 85 ตัวอย่าง จะถูกแบ่งออกเป็น 2 กลุ่ม คือกลุ่มข้อมูลที่ใช้ในการสร้างแบบจำลอง (Modeling data) จำนวน 60 % และกลุ่มข้อมูลในการทดสอบแบบจำลอง (Model test data) จำนวน 40 % และทำการประเมิน ความน่าเชื่อถือ ทางสถิติของแบบจำลอง โดยใช้ค่ารากที่สองของค่าคลาดเคลื่อนกำลังสองเฉลี่ย (RMSE) ซึ่งเป็นค่าสถิติที่ใช้วัดความแม่นยำของการประมาณ ตามสมการ (10)

$$RMSE = \sqrt{\frac{1}{n} \sum_{i=1}^n (\bar{y}_i - y_i)^2} \quad \dots\dots\dots(10)$$

เมื่อ  $y_i$  คือ ค่าการนำไฟฟ้าที่ได้จากแบบจำลอง

$\hat{y}_i$  คือ ค่าการนำไฟฟ้าที่ได้จากการสำรวจในสนาม

ก คือ จำนวนของกลุ่มตัวอย่าง

### 2.11 สัมประสิทธิ์การตัดสินใจ Coefficient of determination ( $R^2$ )

$R^2$  จะเป็นค่าที่บอกร้อยละของการเปลี่ยนแปลงของค่า  $Y$  ที่เกิดจากอิทธิพลของค่า  $X$  ที่ได้จากการคำนวณจากสมการ ดังนี้

$$RMSE = \frac{\sum_{i=1}^n (\hat{y}_i - y_i)^2}{\sum_{i=1}^n (y_o - y_i)^2}$$

เมื่อ  $y_o$  คือ ค่าการนำไฟฟ้าที่ได้จากแบบจำลอง

$\hat{y}_i$  คือ สมการทดถอย

$y_i$  คือ ค่าการนำไฟฟ้าที่ได้จากการสำรวจในสนาม

ก คือ จำนวนของกลุ่มตัวอย่าง

ถ้าสมการมีค่า  $R^2$  ยิ่งมีค่าสูงยิ่งทำให้เกิดความแม่นยำของการนำสมการไปใช้เพื่อทำนายหรือคาดคะเนผลลัพธ์ย่อมสูงตามไปด้วย โดยทั่วไป สมการที่มักนำไปใช้คร่าวมีค่า  $R^2$  อย่างน้อย 0.75 หากสูงกว่า 0.90 ถือว่าดีมาก ค่า  $R^2$  มีค่าตั้งแต่ 0 ถึง 1 ถ้าค่าเป็น 0 แสดงว่าไม่มีความสัมพันธ์ใด ๆ ระหว่างตัวแปรตามและอิสระ แต่ถ้าค่าเป็น 1 แสดงว่ามีความสัมพันธ์กันอย่างสมบูรณ์ (สุวัฒน์ นำพาเจริญ, 2015)

### 2.11 งานวิจัยที่เกี่ยวข้อง

(Ivushkin et al., 2019) ความเค็มของดินที่เพิ่มขึ้นเป็นปัญหาทางการเกษตรที่สำคัญที่ทำให้ผลผลิตพืชผลทางการเกษตรทั่วไปลดลง พลวัตของมันต้องใช้เทคนิคการวัดต้นทุนและแรงงานอย่างมีประสิทธิภาพ และยังไม่มีวิธีการที่ได้รับการยอมรับอย่างกว้างขวาง เราตรวจสอบศักยภาพของการตรวจจับระยะไกลสำหรับยานพาหนะไร้คนขับ (UAV) เพื่อวัดความเครียดจากเกลือในพืช quinoa ใช้

เซ็นเซอร์ UAV ที่แตกต่างกันสามตัว: กล้องความร้อน WIRIS กล้องไฮเปอร์สเปกตรัม Rikola และสแกนเนอร์ Riegl VUX-SYS light detection and ranging (LiDAR) ด้ัชนีพืชพรรณ อุณหภูมิของท้องฟ้า และความสูงของพืชที่วัดได้ LiDAR ได้มาจากการสำรวจระยะใกล้ และความสัมพันธ์ของดัชนีเหล่านี้กับพารามิเตอร์ที่วัดพื้นดิน เช่น การบำบัดด้วยเกลือ การนำป่าไป และความสูงของต้นพืชจริงจะถูกวิเคราะห์ ผลการศึกษาพบว่าดัชนีพืชพรรณหลากหลายสเปกตรัมที่ใช้กันอย่างแพร่หลายไม่มีประสิทธิภาพในการเลือกปฏิบัติระหว่างเกลือที่ได้รับผลกระทบและการควบคุมพืช Quinoa hyperspectral physiological reflectance index (PRI) ทำงานได้ดีที่สุดและแสดงให้เห็นความแตกต่างที่ชัดเจนระหว่างเกลือที่ได้รับผลกระทบและพืชที่ได้รับการบำบัด ความแตกต่างนี้ยังมองเห็นได้สำหรับความสูงของพืชที่วัดด้วย LiDAR โดยที่พืชที่ได้รับการบำบัดด้วยเกลือนั้นสั้นกว่าพืชควบคุมโดยเฉลี่ย 10 ซม. อุณหภูมิกระโน้มได้รับผลกระทบอย่างมีนัยสำคัญ แม้ว่าการตรวจหาสิ่งนี้จะเป็นต้องมีขั้นตอนเพิ่มเติมในการวิเคราะห์ – การจัดกลุ่ม Normalized difference vegetation index (NDVI) ขั้นตอนนี้รับรองการเปรียบเทียบอุณหภูมิสำหรับพิกเซลที่มีพืชเท่ากัน การรวมข้อมูลของเซ็นเซอร์ทั้งสามตัวในแบบจำลองการคาดคะยำเชิงเส้นพหุคุณช่วยเพิ่มพลังการทำงานและสำหรับชุดข้อมูลทั้งหมด  $R^2$  ถึง 0.46 โดยกลุ่มย่อยบางกลุ่มมีค่า  $R^2$  ที่ 0.64 เราสรุปได้ว่าการสำรวจระยะใกล้ที่เกิดจาก UAV นั้นมีประโยชน์สำหรับการวัดความเค็มของเกลือในพืช และแนะนำให้ใช้เทคนิคการวัดหลายแบบร่วมกันเพื่อเพิ่มความแม่นยำ

(Wei et al., 2020) ความเค็มของดินเป็นปัจจัยที่เกี่ยวข้องอย่างใกล้ชิดกับการพัฒนาเศรษฐกิจสังคมอย่างยั่งยืน เมื่อเทียบกับเซนเซอร์ที่ใช้บ่อยจากดาวเทียม เครื่องบินไร้คนขับ (UAV) ที่ติดตั้งเซนเซอร์แบบหลายสเปกตรัมช่วยให้สามารถตรวจสอบความเค็มของดินด้วยความละเอียดเชิงพื้นที่และเวลาที่ต้องการสูง การศึกษานี้วิเคราะห์ประสิทธิภาพของเซ็นเซอร์สเปกตรัม (SSC) ในเชิงปริมาณโดยใช้ภาพถ่ายทางสเปกตรัมที่เกิดจาก UAV และสำรวจการบุคลิกของข้อมูลหลายสเปกตรัม เพื่อจุดประสงค์นี้ เก็บตัวอย่างดินทั้งหมด 60 ตัวอย่าง (0–20 ซม.) จากพื้นที่ชลประทาน Shahaquo ในมองโกเลียใน ประเทศจีน ในขณะเดียวกัน จากเซ็นเซอร์ UAV เราได้รับข้อมูลนัลติสเปกตรัม โดยอิงจาก 22 สเปกตรัมโควาเรียต (6 แอนสเปกตรัมและ 16 ดัชนีสเปกตรัม) โควาเรียตสเปกตรัมที่มีความละเอียดอ่อนถูกเลือกโดยวิธีการวิเคราะห์เชิงสัมพันธ์สีเทา (GRA) อัลกอริธึมการจราจารภาพต่อเนื่อง (SPA) และความสำคัญของตัวแปรในการจราจารภาพ (VIP) และจากแบบจำลองการประมาณค่าความแปรปรวนร่วมที่เลือกเหล่านี้ ถูกสร้างขึ้นโดยใช้การคาดคะยำของ Back propagation neural network (BPNN) สนับสนุนการคาดคะยำโดยเกตเตอร์ (SVR) และการคาดคะยำโดยฟอร์เรสต์แบบสุ่ม (RF) ตามลำดับ ประสิทธิภาพของแบบจำลองได้รับการประเมินโดยสัมประสิทธิ์การกำหนด ( $R^2$ ) ค่าเฉลี่ยราคาที่สองข้อผิดพลาด (RMSE) และอัตราส่วนของประสิทธิภาพต่อการเบี่ยงเบน

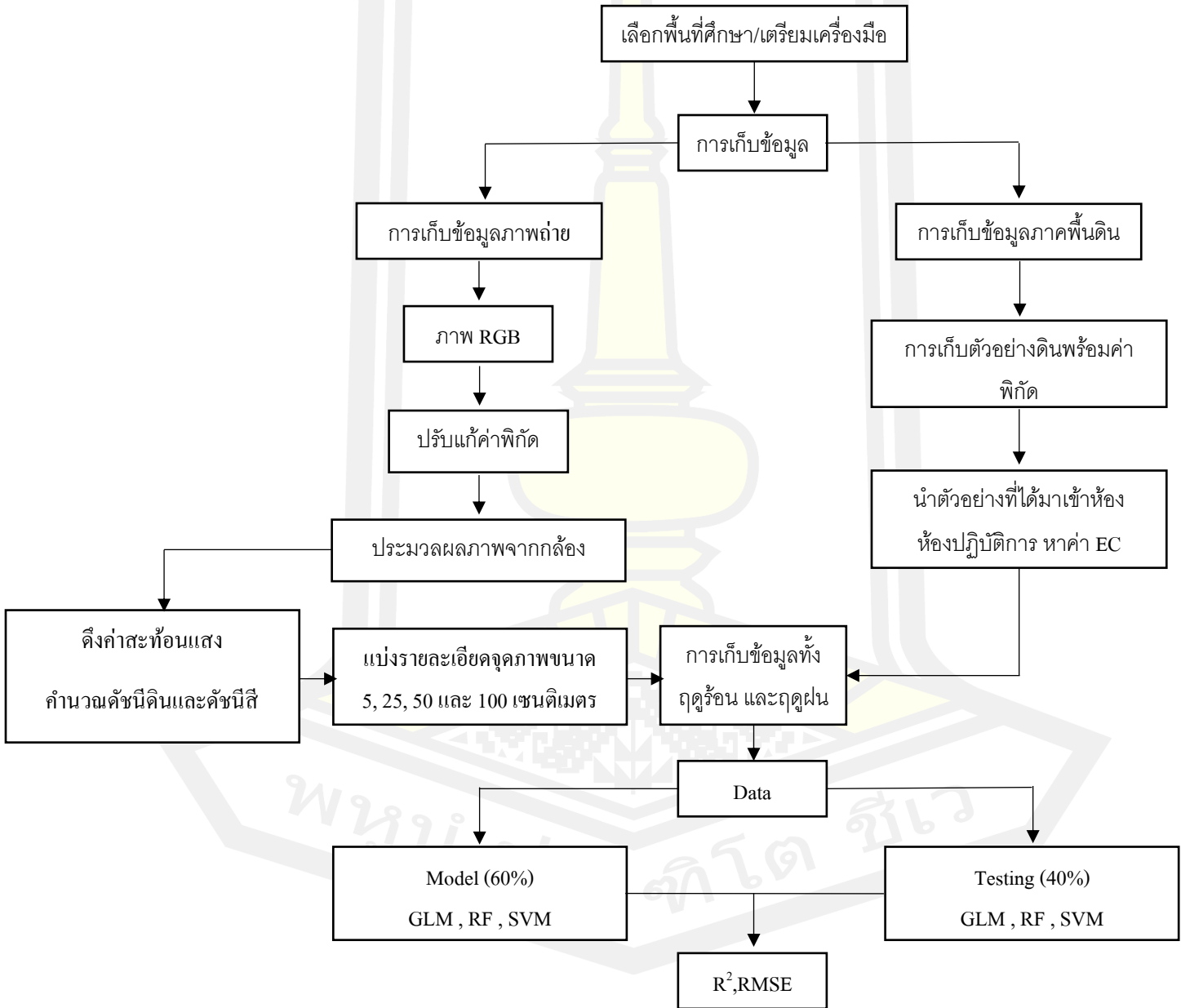
(RPD) ผลการวิจัยพบว่าความแม่นยำในการประมาณค่าของแบบจำลองได้รับการปรับปรุงอย่างเห็นได้ชัดโดยใช้วิธีการเลือกตัวแปรสามวิธี และ VIP มีประสิทธิภาพเหนือกว่า GRA และ GRA ที่มีประสิทธิภาพสูงกว่า SPA อย่างไรก็ตาม ความแม่นยำของแบบจำลองด้วยอัลกอริธึมการเรียนรู้ของเครื่องทั้งสามนั้นแตกต่างกันอย่างมาก: RF > SVR > BPNN โดยการประมาณค่า SSC ทั้ง 12 แบบสามารถใช้ในการประมาณค่า SSC ในเชิงปริมาณ ( $RPD > 1.4$ ) ในขณะที่โมเดล VIP-RF มีความแม่นยำสูงสุด ( $R^2C = 0.835$ ,  $R^2P = 0.812$ ,  $RPD = 2.299$ ) ผลการศึกษานี้พิสูจน์ว่าเข็นเซอร์มัลติสเปกตรัมที่เกิดจาก UAV เป็นเครื่องมือที่เป็นไปได้สำหรับการประมาณค่า SSC และเป็นข้อมูลอ้างอิงสำหรับการวิจัยที่คล้ายคลึงกันต่อไป

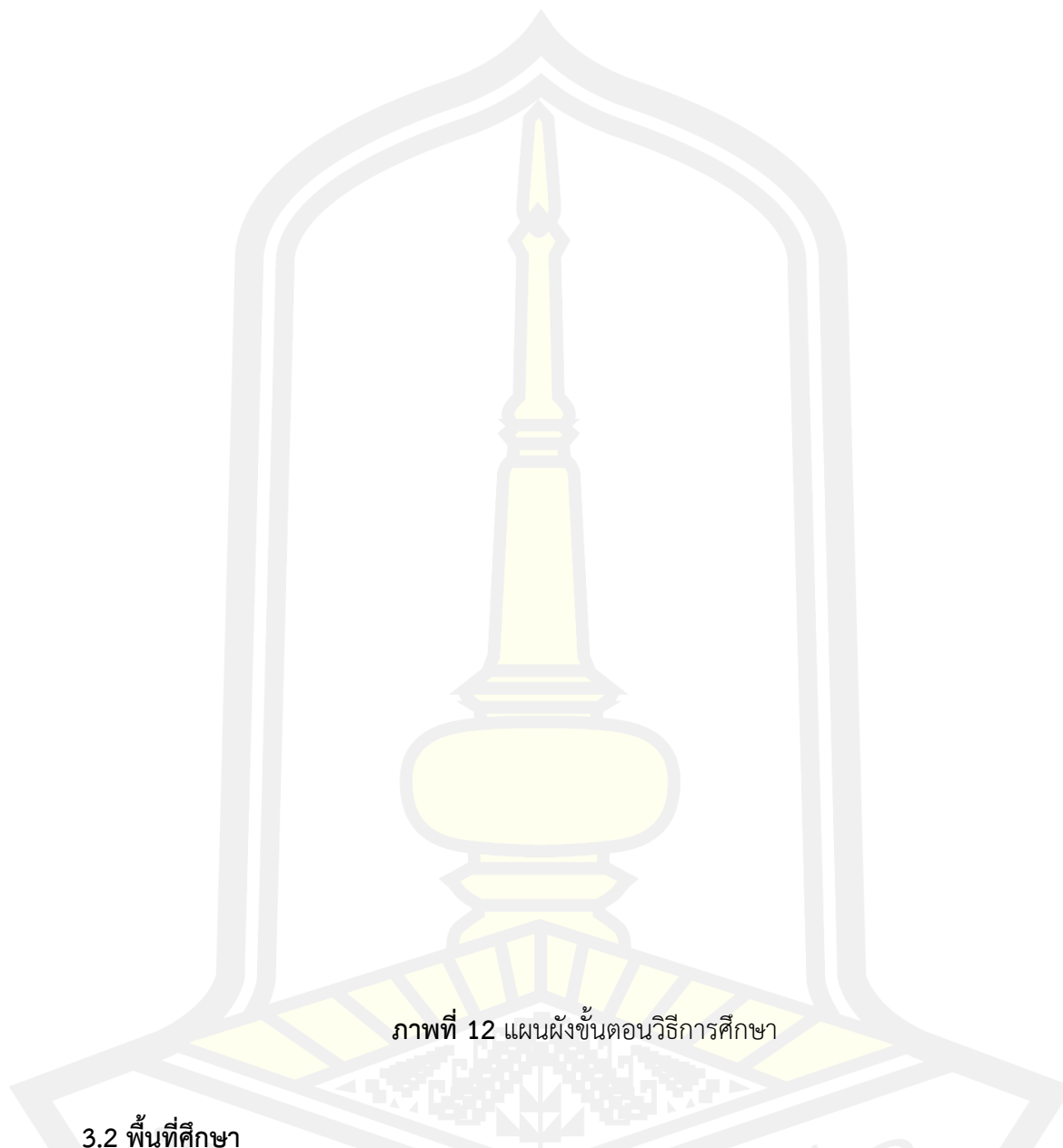
(ROMERO-TRIGUEROS, Cristina, et al., 2017) ผลการศึกษานี้พิสูจน์ว่าเข็นเซอร์มัลติสเปกตรัมที่เกิดจาก UAV เป็นเครื่องมือที่เป็นไปได้สำหรับการประมาณค่า SSC และเป็นข้อมูลอ้างอิงสำหรับการวิจัยที่คล้ายคลึงกันต่อไป ภาพถ่ายหلامสเปกตรัมได้มาจากการศึกษาไร้คนขับแบบบีกคงที่ (UAV) ในขณะที่การวัดการแลกเปลี่ยนกําช สถานะน้ำของพืช ลักษณะโครงสร้างของใบ และคลอโรฟิลล์พร้อมกันนั้นถ่ายในฟาร์มเชิงพาณิชย์ที่ตั้งอยู่ทางตะวันออกเฉียงใต้ของสเปนโดยมีการชลประทานสัม 2 สายพันธุ์ ได้แก่ เกรปฟрутและส้มแมนดาริน เป็นเวลาแปดปีกับน้ำรีเคลมน้ำเกลือ (RW) ร่วมกับการชลประทานที่ขาดดุล (RDI) การวัดที่ระดับใบไม้และการบินในอากาศดำเนินการวันละสองครั้ง ที่ 7 และ 10 GMT การชลประทานด้วย RW ลดการแลกเปลี่ยนกําชและมวลใบแห้งต่อหน่วยพื้นที่ (LMA) บนส้มโอ อย่างไรก็ตาม ความเค็มจาก RW ส่งผลให้ศักยแรงดัน ( $\Psi_P$ ) เพิ่มขึ้นในส้มแมนดาริน และทำให้สามารถการสังเคราะห์ด้วยแสงสุทธิ (A) และค่าการนำไฟฟ้าของปากใบ ( $q_S$ ) เมื่อความดันไอออกัดดุลเพิ่มขึ้น ในพืชทั้งสองชนิด ความเข้มข้นของคลอโรฟิลล์รวมของใบ (ChlT) ลดลงอย่างมีนัยสำคัญโดย RW นอกจากนี้ RDI ยังลด A,  $q_S$  และศักยแรงดันกำเนิด ( $\Psi_d$ ) บนส้มโอโดยไม่คำนึงถึงคุณภาพน้ำ เกี่ยวกับข้อมูลสเปกตรัม ความยาวคลื่นสีแดง (R) มีความสัมพันธ์อย่างมีนัยสำคัญกับ Chl T ( $p < 0.001$ ) ยกเว้นเมื่อภาษาจีนกลางอยู่ภายใต้สภาพอากาศที่ตึงเครียด (ที่ 10 GMT); เนื่องจาก R ได้รับอิทธิพล นอกเหนือจาก Chl T โดยสถานการณ์แลกเปลี่ยนน้ำและกําชของโรงงาน ไอลิอันฟราเรด (NIR) เป็นตัวบ่งชี้ที่มีประโยชน์ของ  $\Psi_d$ , A และ  $q_S$  บนพืชทั้งสอง ต้านทานความแตกต่างของพืชพันธุ์ที่ทำให้เป็นมาตรฐาน (NDVI) มีความสัมพันธ์อย่างชัดเจนกับการแลกเปลี่ยนกําช ในทั้งสองสายพันธุ์และกับ  $\Psi$  เฉพาะในส้มแมนดารินเท่านั้น สุดท้าย เราได้รวมข้อมูลจากทั้งสายพันธุ์ Citrus และตัวบ่งชี้ที่ดีที่สุดคือ NIR และ R ความแปลกใหม่ของ การศึกษาครั้งนี้คือการแสดงให้เห็นว่า การเปลี่ยนแปลงรายวันในลักษณะทางสรีริวิทยาและโครงสร้างของ Citrus ที่ชลประทานด้วย RW รวมกับ RDI สามารถกำหนดได้ด้วยภาพ Multispectral จาก UAV

### บทที่ 3

#### วิธีการดำเนินงานวิจัย

##### 3.1 แผนการดำเนินการศึกษา

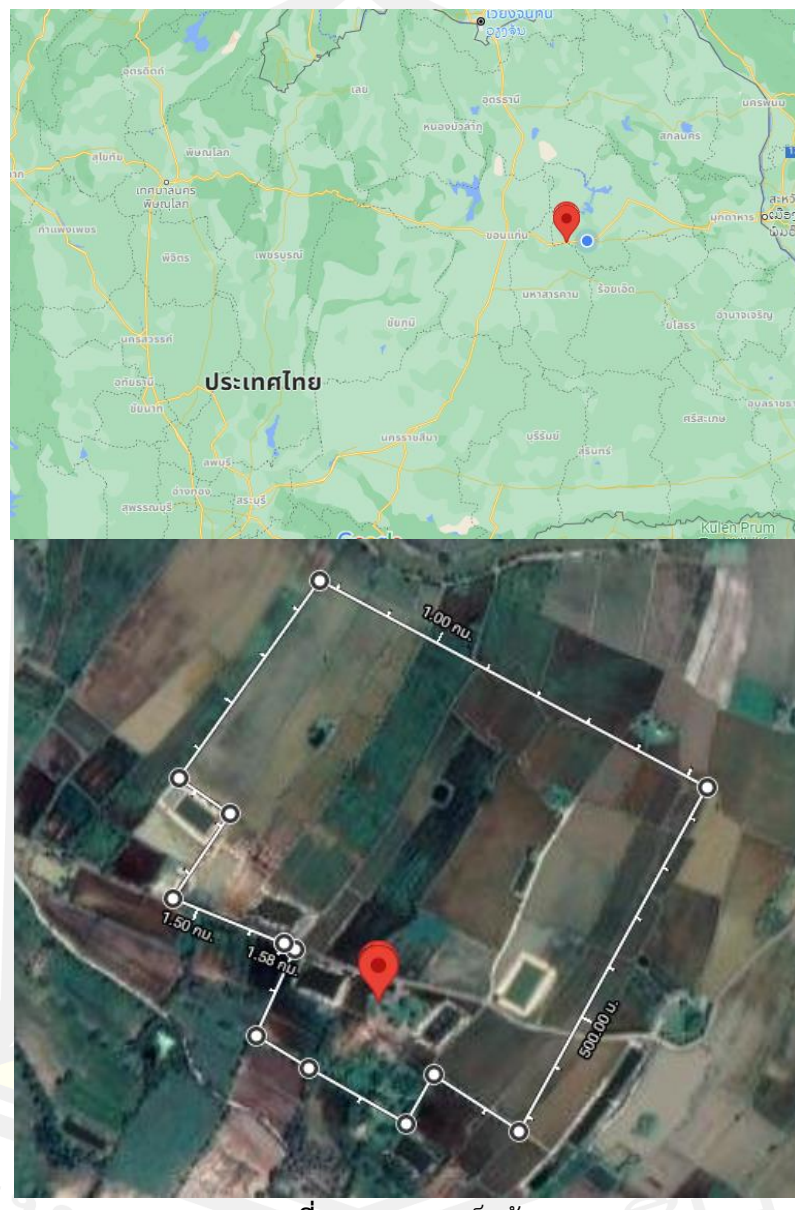




### 3.2 พื้นที่ศึกษา

การศึกษาในครั้งนี้ดำเนินการศึกษาทุ่งนาประมาณ 84 ไร่ ในเขตภาคอีสานตอนกลาง นั่นคือ พื้นที่บ้านโพนสิม ตำบลหัวนาคำ อำเภออย่างตลาด กาฬสินธุ์ 46120 อยู่ที่พิกัด  $16^{\circ}23'53.1''$  เหนือ และ  $103^{\circ}16'47.0''$  ตะวันออก ซึ่งเป็นทุ่งนา ที่ไม่สามารถปลูกพืชต่างๆได้ โดยพื้นที่ส่วนใหญ่โดย บริเวณรอบๆ ชาวบ้านในพื้นที่จะใช้เพื่อทำการต้มเกลือขาย 50% เลี้ยงสัตว์ 25% ปลูกพืชทั่วไป 25% และในช่วงฤดูการทำการข้าวชาวบ้านจะมาหัว่นเมล็ดข้าวแต่เมล็ดข้าวเหล่านั้นจะไม่ค่อยเกิดอัน

เนื่องมาจากการขาดความเค็มของดิน และเมื่อถึงเวลาเก็บเกี่ยว ก็มักจะได้ผลผลิตที่ข่อนข้างต่ำแต่ชาวบ้านในพื้นที่ก็ยอมรับในสภาพพื้นที่



ภาพที่ 13 แสดงจุดเก็บข้อมูล

### 3.3 อุปกรณ์เครื่องมือที่ใช้ในการศึกษา

#### 3.3.1 :ซอฟแวร์

1. QGIS 3.8
2. Agisoft PhotoScan Professional
3. RapidMiner Studio

#### 3.3.2 ฮาร์ดแวร์

1. คอมพิวเตอร์ (Computer) หรือโน้ตบุ๊ก (Notebook) สำหรับประมวลผลโดยใช้ระบบปฏิบัติการ Windows10 Ram อย่างน้อย 4 GB การ์ดจออย่างน้อย 1 GB

### 3.3.3. อุปกรณ์เครื่องมือที่ใช้ในการสนับสนุน

1. Drone Mavic air 1 (Sensor R, G, B)
2. หมุดเหล็ก ขนาดเส้นผ่านศูนย์กลาง  $1.0 \times 15$  เซนติเมตร
3. โทรศัพท์มือถือ สมาร์ทโฟน ทั้งระบบปฏิบัติการ iOS และ Android
4. ตลับเมตร (Measuring tape)
5. GNSS RTK KQ M8pro
6. ขาตั้ง GNSS RTK (2 ขา)
7. เครื่องมือปรับเทียบการสะท้อนของแสง
8. เป้าจุดควบคุมภาพภาคพื้นดิน ทำจากผ้าไวนิล 2 สีสลับกันเป็นตารางมากรุก ขนาด  $1 \times 1$  เมตร

9. แอพพลิเคชั่น PIX4D Capture
10. ค้อน
11. จบ
12. สว่านไฟฟ้า (พร้อมหัวเจาะดิน)
13. สมุดจดบันทึกข้อมูล

### 3.3.4 ห้องปฏิบัติการ

1. เครื่องซ่างละเอียดทศนิยม 4 ตำแหน่ง
2. บีกเกอร์ขนาด 400 มิลลิลิตร
3. เตาอบดิน
4. น้ำสะอาด
5. ค่อน (ทุบดิน)
7. ตะแกรงเบอร์ 10 (ช่องเปิดของตะแกรง 2 มิลลิเมตร)
8. เครื่องวัดค่าการนำไฟฟ้า (EC)

## 3.4 การเก็บข้อมูลสนับสนุน

ประกอบไปด้วย 2 ส่วน คือ การเก็บข้อมูลทางอากาศและการเก็บข้อมูลภาคพื้นดิน

### 3.4.1 การบินถ่ายภาพ มีขั้นตอนการทำงานดังนี้

1. การรังวัดจุดควบคุมภาคพื้นดิน (GCPs) ให้มีค่าพิกัด และค่าระดับ โดยกำหนดให้ตำแหน่งพิกัดจุดควบคุมภาพ จะกระจายอยู่ในพื้นที่ 9 จุด

2. การวางแผนการบินถ่ายภาพด้วยอากาศจากอากาศยานไร้นักบิน Mavic air 1

ทำการวางแผนการบินด้วย Application PIX4D บนระบบปฏิบัติการ Android กำหนด ความสูงของ การบิน เท่ากับ 90 เมตร ทำการถ่ายภาพให้มีระยะช้อนด้านหน้าร้อยละ 80 และระยะ ช้อนด้านข้าง ร้อยละ 60

3. เลือกทำการการบินถ่ายภาพ ในวันที่สภาพอากาศดี อุณหภูมิที่เหมาะสมอยู่ ในช่วง 25 ถึง 35 องศาเซลเซียส ความเร็วลมไม่เกิน 5 กม.ต่อชั่วโมง มีทัศนวิสัยในการมองเห็นสูง

**ตารางที่ 4 แสดงการบินของโดรนในการเก็บข้อมูล**

ครั้งที่	วัน/เดือน/ปี	ช่วงเวลา
1	5 เมษายน 2564	ร้อน
2	5 ธันวาคม 2564	ฝน

**3.4.2 การเก็บข้อมูลภาคพื้นดิน มีขั้นตอนการทำงานดังนี้**

1. ทำการวางแผนพื้นที่ที่ทำการสำรวจ
2. เชื่อมต่อ GNSS RTK กับระบบโครงสร้างด้วยการรังวัดด้วยดาวเทียมแบบจลน์ (RTK GNSS NETWORK) ของประเทศไทย (กรมที่ดิน)
3. สำรวจโดยใช้ GNSS RTK เพื่อนำพิกัดไปใช้ในการวิเคราะห์ข้อมูลภาพ (เก็บค่าพิกัดบริเวณผิวดินก่อนทำการขุด)
4. นำถุงเก็บตัวอย่าง ไปเก็บตัวอย่างที่บริเวณผิวดิน และเชื่อมอุปกรณ์ เสียง หรือส่วนไฟฟ้า ชุดดินลึก 30 เซนติเมตร และเก็บตัวอย่างดิน (ตัวอย่างดินจะมี 2 ความลึกคือความลึกที่ 0 และ 30 เซนติเมตร)

**3.5 การวิเคราะห์ในห้องทดลอง**

ทำการวิเคราะห์ตัวอย่างดินในห้องทดลองโดยการทำการน้ำไฟฟ้าของดิน ซึ่งมีขั้นตอนดังนี้

- 3.5.1 นำดินที่ได้มาเข้าเตาอบที่อุณหภูมิ 100 องศาเซลเซียส เป็นเวลา 24 ชั่วโมง
- 3.5.2 จากนั้นนำดินดังกล่าวมาทุบ หรือบดให้ละเอียด
- 3.5.3 แล้วนำดินที่ละเอียดมาร่อนผ่านตะแกรงเบอร์ 10 (ซึ่งเปิดของตะแกรง 2 มิลลิเมตร)
- 3.5.4 แล้วนำดินที่ผ่านตะแกรง มาผสมกับน้ำสะอาดในบีกเกอร์ ขนาด 400 มิลลิลิตร ในอัตราส่วน 1 ต่อ 5 (ดิน ต่อ น้ำ)
- 3.5.5 จากนั้นทำการกรองน้ำ ให้เกลือที่อยู่ในดินละลายน้ำ (ใช้ประมาณ 1 นาที)

3.5.6 เมื่อกวนน้ำเสร็จ ให้ตั้งบีกเกอร์พักไว้ให้ดินแตกตะกอน (ประมาณ 5 นาที) และจึงทำ การวัดค่าการนำไปฟื้นฟ้าของดิน

### 3.6 คุณสมบัติกล้องที่ใช้ในการศึกษา (Sensor)

3.6.1 Mavic air 1 ใช้เซ็นเซอร์ CMOS เหมือนกับ Mavic pro แต่ ISO Range มีความแคบ กว่า หมายความว่ากล้องที่ติดมากับ Mavic air 1 รวมเซ็นเซอร์ CMOS ขนาด 1/2.3 นิ้ว 12 ล้าน พิกเซลและเลนส์ f/2.8 ที่มีความยาวโฟกัสเทียบเท่า 35 มิลลิเมตร ที่ 24 มิลลิเมตร เพื่อถ่ายภาพและ วิดีโอุปกรณ์ภาพสูง

### 3.7 การวิเคราะห์ข้อมูล

3.7.1 นำภาพที่ได้จากการบินโดรนโดยกล้อง Mavic Air 1 RGB Camera มาทำการ ประมวลผลภาพ โดยใช้ Agisoft photoscan professional สร้างแผนที่ภาพออร์โท (Orthophoto map)

3.7.2 นำภาพที่ได้จาก Agisoft photoscan professional มาแบ่งระยะพื้นที่อพิกเซล ขนาด 5, 25, 50, และ 100 เซนติเมตร และจึงมาหาค่าการสะท้อนแสงในบริเวณที่เก็บตัวอย่าง ดินโดยตัวอย่างก็แบ่งเป็น 2 ความลึก คือที่ผิวดิน และที่ความลึกใต้ดิน 30 เซนติเมตร โดยใช้ Qgis 3.8 และหาค่าการนำไปฟื้นฟ้าของดินจากข้อมูลที่ได้จากสนาม และนำข้อมูลที่ได้ทั้งหมดมาทำ แบบจำลองทำการประเมินประสิทธิภาพของแบบจำลอง โดยทำการแบ่งข้อมูลสนามออกเป็น 2 ชุด คือ Training Data และ Testing Data แบบ Split Half และทำ Data Rotation 200 ครั้ง จากนั้น คำนวณค่า สัมประสิทธิ์การตัดสินใจ ( $R^2$ ) และ ค่า RMSE ของแต่ละครั้ง และทำการตรวจสอบความ แตกต่างทางสถิติในระดับนัยสำคัญที่ 0.05

3.7.3 ตามข้อ 3.7.2 ทั้งในการเก็บข้อมูลของคู่ร้อน และคู่ฝน

### 3.8 แผนการศึกษา

#### ตารางที่ 5 แผนการดำเนินงานศึกษา ปี 2564 ช่วงต้น

ลำดับ บ	ระยะเวลา (สัปดาห์)	มีนาคม				เมษายน				พฤษภาคม				มิถุนายน				กรกฎาคม			
		1	2	3	4	1	2	3	4	1	2	3	4	1	2	3	4	1	2	3	4

ตารางที่ 6 แผนการดำเนินงานศึกษา ปี 2564-2565 ช่วงปลาย

3.9 งบประมาณ

ตารางที่ 7 ตารางแสดงงบประมาณในงานวิทยานิพนธ์

ลำดับ	รายการ	จำนวน	หน่วย	ราคา/ หน่วย	รวม (บาท)
-------	--------	-------	-------	----------------	--------------

				(บาท)	
1	ค่าเก็บข้อมูลสนาม	2	HEMA	1000	2000
2	การสำรวจด้วย UAV	2	HEMA	3000	6000
3	อุปกรณ์เก็บตัวอย่าง	2	ชุด	500	1000
4	ค่าน้ำมันรถ	2	HEMA	500	1000
5	ค่าที่พัก	4	คืน	500	2000
6	ค่าใช้จ่ายเบ็ดเตล็ด	2	HEMA	1500	3000
7	รวม				15000

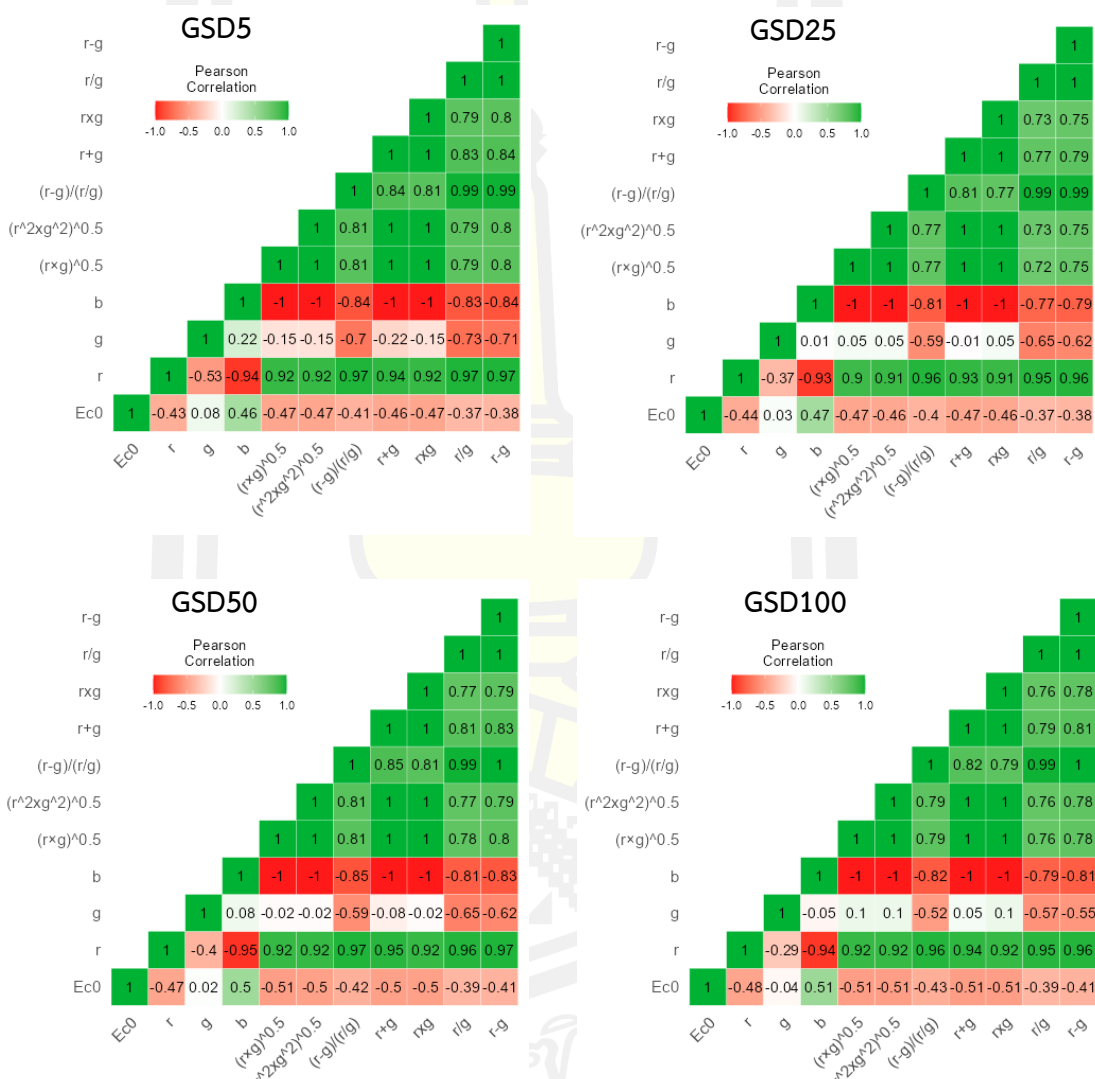
## บทที่ 4

### ผลการศึกษา

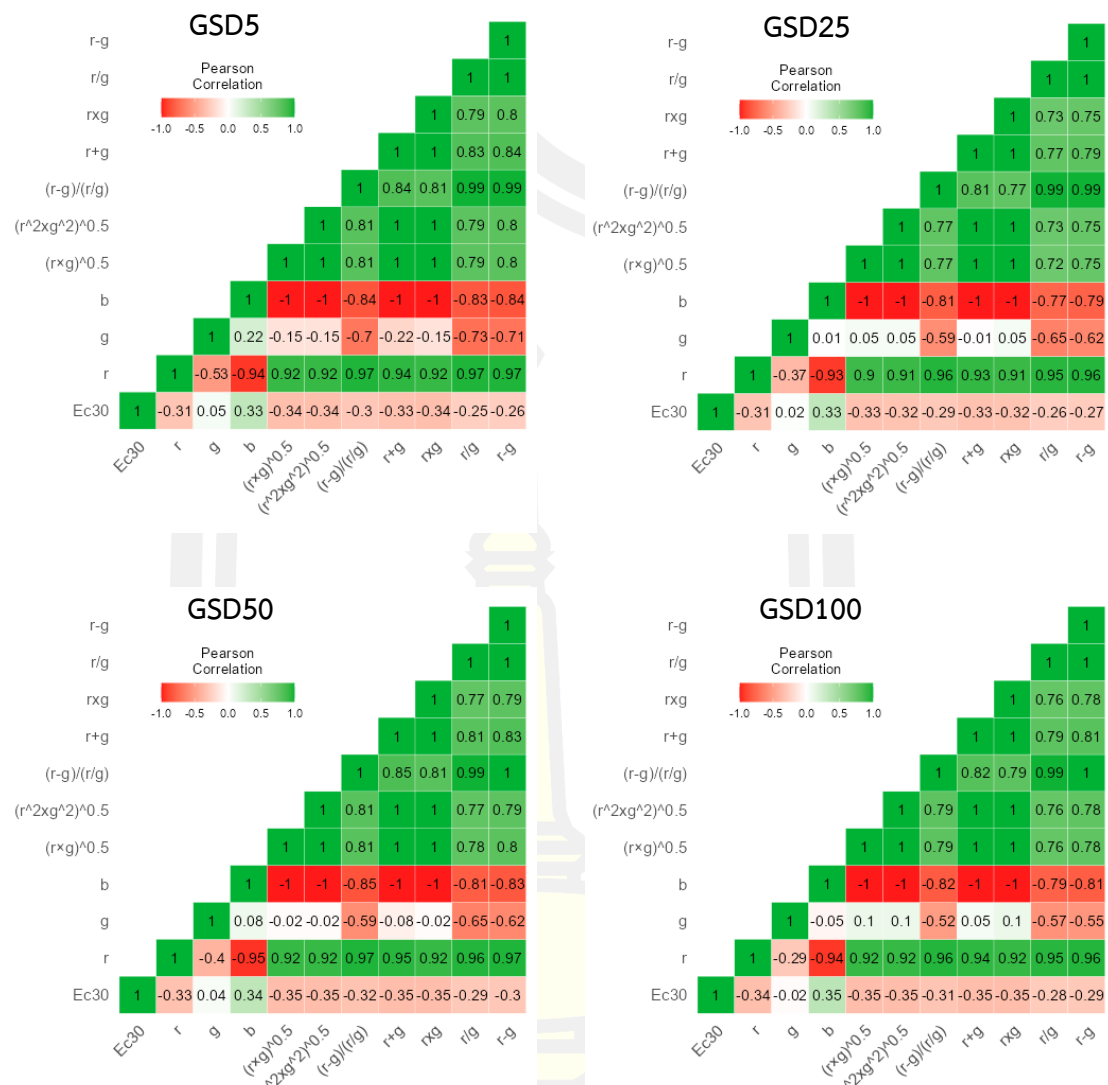
จากการสำรวจภาคสนามโดยใช้ภาพถ่ายรายละเอียดสูงจากอากาศยานไร้คนขับ (UAV) โดยใช้รายละเอียดจุดภาพขนาด 5, 25, 50 และ 100 เชนติเมตร และทำการเก็บตัวอย่างติดเพื่อนำมาวิเคราะห์หาค่าการนำไฟฟ้าของดิน (Ec) จากห้องปฏิบัติการ โดยค่าการสะท้อนแสงของช่วงคลื่น Red, Green และ Blue จากพื้นที่ศึกษาที่ได้จากการสำรวจภาคสนาม แสดงรายละเอียดในภาคผนวกแล้วนำมาวิเคราะห์ด้วยแบบเชิงเส้นว่างนัยทั่วไป (GLM) แบบเส้นตรง (Linear function) แบบจำลองการสุ่มป่าไม้ (RF) และชัพพอร์ทเวกเตอร์แมชชีน (SVM) ร่วมกับข้อมูลค่าการนำไฟฟ้าของดิน (Ec) ที่ได้จากการสำรวจรายละเอียดสูงจากอากาศยานไร้คนขับ (UAV) ซึ่งข้อมูลจากภาพถ่ายรายละเอียดสูงจากอากาศยานไร้คนขับ (UAV) จะประกอบไปด้วยกล้องที่ติดตั้งบน Drone Mavic air 1 มี ให้ค่าการสะท้อนแสงในแต่ละช่วงคลื่นคือ Red เท่ากับ 660 nm Green เท่ากับ 550 nm และ BLUE เท่ากับ 475 nm ของจุดภาพที่มีค่าพิกัดทางภูมิศาสตร์ตรงกันกับค่าพิกัดภูมิศาสตร์ของพื้นที่ศึกษาและทำการแปลงข้อมูลภาพที่ได้ให้เป็นข้อมูลค่าการนำไฟฟ้าของดิน (Ec) เพื่อหาความสัมพันธ์เปรียบเทียบกับค่าการนำไฟฟ้าของดิน (Ec) จากภาคสนามทำการประเมินประสิทธิภาพของแบบจำลอง โดยทำการแบ่งข้อมูลออกเป็น 2 กลุ่ม คือกลุ่มข้อมูลที่ใช้ในการสร้างแบบจำลอง (Calibration data sets) จำนวนร้อยละ 60 และกลุ่มข้อมูลในการทดสอบแบบจำลอง (Evaluation data sets) จำนวนร้อยละ 40 กลุ่มข้อมูล โดยแต่ละแบบจำลองจะถูกคำนวณค่าสัมประสิทธิ์การตัดสินใจ ( $R^2$ ) และทำการประเมินความน่าเชื่อถือ ทางสถิติของแบบจำลอง โดยใช้ค่ารากที่สองของค่าคลาดเคลื่อนกำลังสองเฉลี่ย (RMSE) ของแต่ละครั้ง และทำการตรวจสอบความแตกต่างทางสถิติในระดับนัยสำคัญที่ 0.05

#### 4.1 ผลการวิเคราะห์ข้อมูลค่าความเค็มของดิน

ผลการวิเคราะห์ความสัมพันธ์ของข้อมูลค่าความเค็มของดินที่บริเวณผิวดิน (Ec0) และบริเวณใต้ดินที่ความลึก 30 เซนติเมตร (Ec30) กับ ข้อมูลสภาพถ่ายจากอาศัยน้ำเร็คนขับซึ่งประกอบไปด้วย ค่าการสะท้อนแสง ( $r$ ,  $g$ ,  $b$ ) ดัชนีความเค็มของ D Abelkader ดัชนีพืชพรรณสีเขียว แดงของ C.J.Tucker และดัชนีความเข้มของ HT Fourati โดยใช้รายละเอียดจุดภาพขนาด 5, 25, 50 และ 100 เซนติเมตร มีค่าความสัมพันธ์ดังรูปที่ 14 และ 15



ภาพที่ 14 แสดงความสัมพันธ์ค่าการนำไฟฟ้าที่กู้ร้อน กับข้อมูลสภาพถ่ายจากอาศัยน้ำเร็คนขับ ในรูปแบบ Correlation Heatmap



ภาพที่ 15 แสดงความสัมพันธ์ของการนำไฟฟ้าที่ดูผ่าน กับข้อมูลสภาพถ่ายจากอากาศยานเร็คันขึ้นในรูปแบบ Correlation Heatmap

จากการวิเคราะห์ความสัมพันธ์ของข้อมูลจะสามารถสรุปได้ว่าตัวแปรใดมีความสัมพันธ์กับค่าความเค็มของดิน ซึ่งจะแสดงเป็นสมการเส้นตรงที่ความลึกผิวดิน ( $E_{c0}$ ) และความลึกใต้ดิน ( $E_{c30}$ ) ดังตารางที่ 8 และ 9

ตารางที่ 8 การวิเคราะห์ความสัมพันธ์ของข้อมูลที่ความลึกผิวดิน ( $E_{c0}$ )

GSD (เมตร.)	สมการ (ม.)	$R^2$	RMSE (ม.)
5	$E_{c0} = 374.035 ((r-g)/(r/g)) - 1453.817 (g) - 989.087 (r+g) + 263.283$	0.409	14.246
25	$E_{c0} = 117.005 (g) - 1748.257 ((rxg)^{0.5}) + 1254.709 ((r^2 \times g^2)^{0.5}) + 430.950$	0.375	12.748
50	$E_{c0} = 459.691 (b) - 51.548 (g) - 107.983$	0.360	13.298
100	$E_{c0} = 497.099 (b) - 38.033 (g) - 122.977$	0.357	14.088

หมายเหตุ : ที่ความลึกผิวดิน ( $E_{c0}$ )

ตารางที่ 9 การวิเคราะห์ความสัมพันธ์ของข้อมูลที่ความลึกใต้ดิน ( $E_{c30}$ )

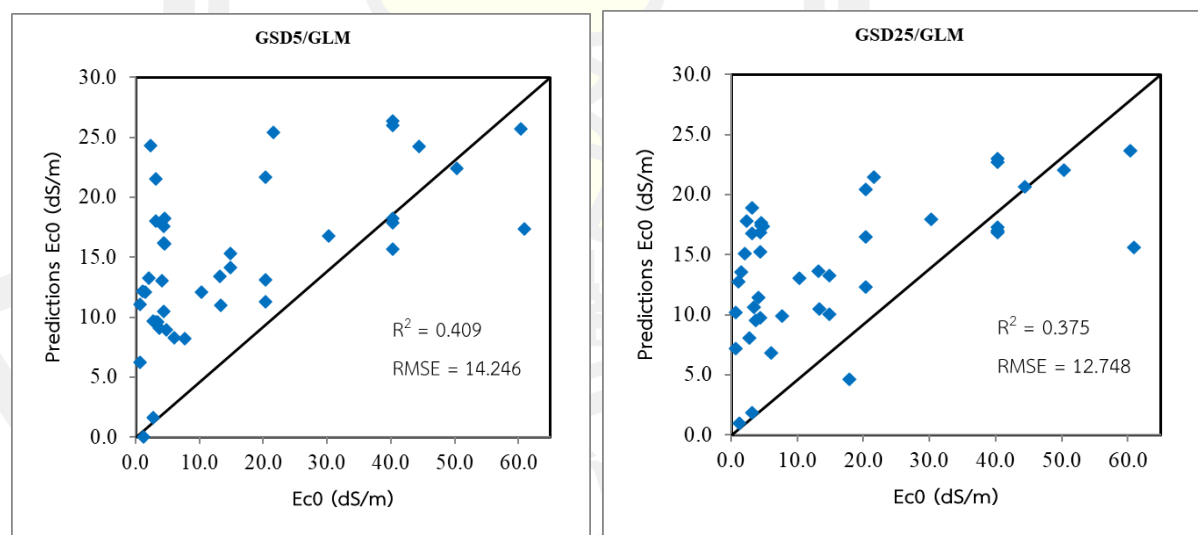
GSD (เมตร.)	สมการ (ม.)	$R^2$	RMSE (ม.)
5	$E_{c30} = -59.159 (g) - 171.654 ((r-g)/(r/g)) + 19.029 (r/g) + 35.379 (r-g) + 4.242$	0.243	1.798
25	$E_{c30} = 38.146 (r) - 96.831 (g) - 95.485 ((r-g)/(r/g)) + 22.857$	0.210	1.636
50	$E_{c30} = -108.378 (rxg) - 5.406 (r-g) + 15.269$	0.225	1.610
100	$E_{c30} = -373.467 (g) + 300.792 ((rxg)^{0.5}) - 236.800 ((r-g)/(r/g)) + 28.200$	0.217	1.712

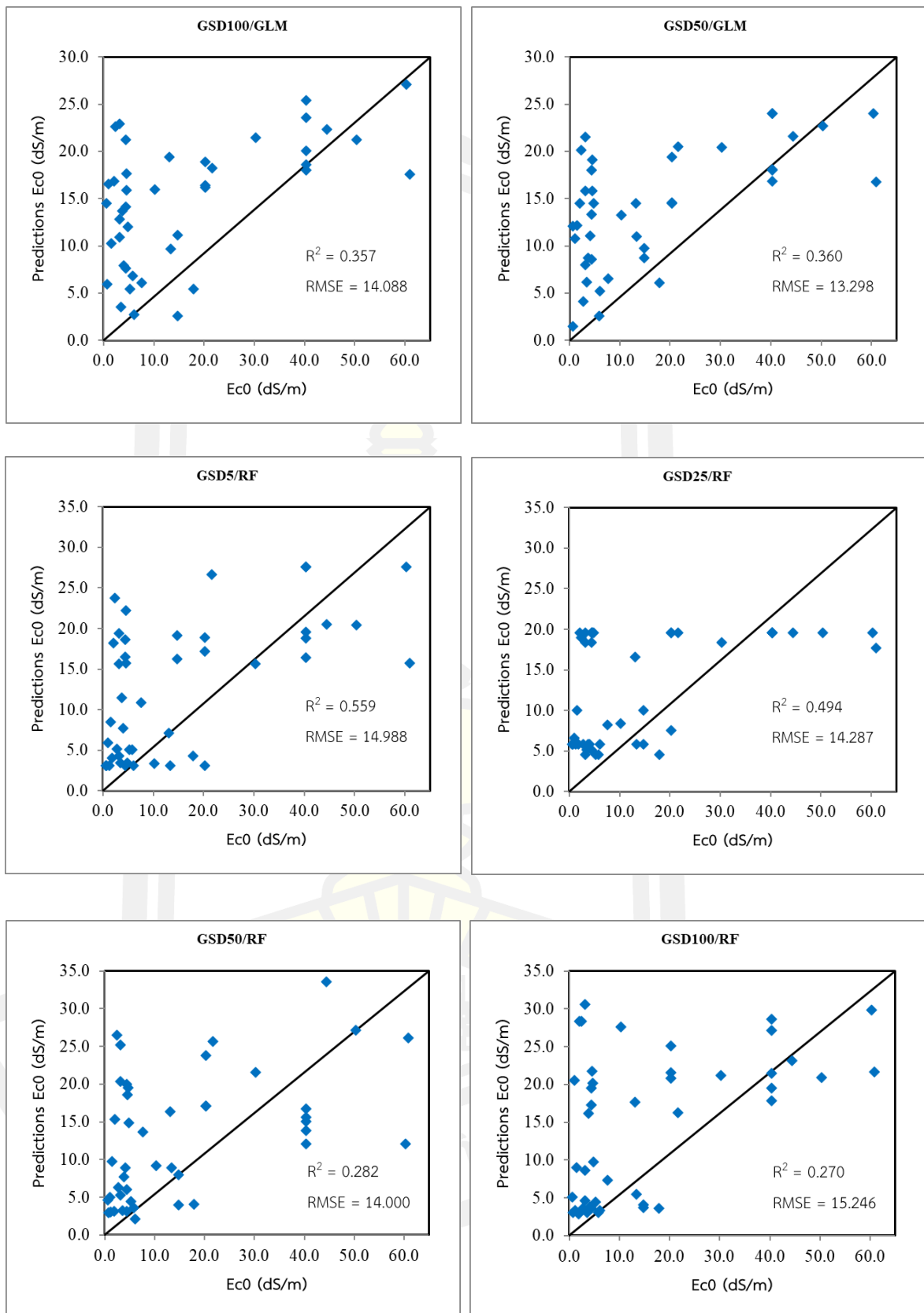
หมายเหตุ : ที่ความลึกใต้ดิน ( $E_{c30}$ )

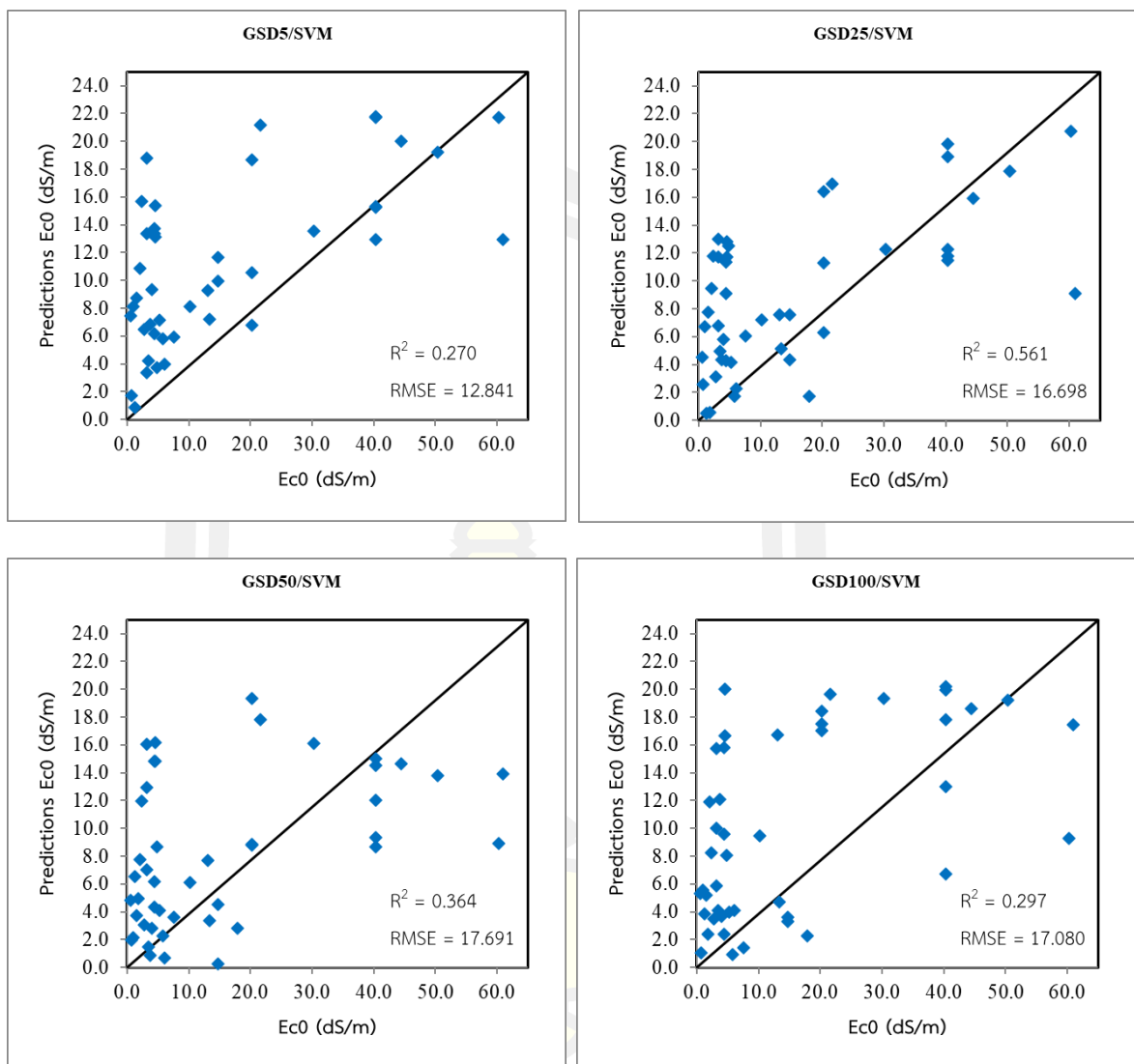
ผลการสร้างแบบจำลองทางคณิตศาสตร์เพื่อประเมินประสิทธิภาพการรับรู้ระยะใกล้โดยใช้ภาพถ่ายรายละเอียดสูงจากอากาศยานไร้คนขับเพื่อนำมาวิเคราะห์หาค่าการนำไฟฟ้าของดิน ( $Ec$ ) ด้วยการวิเคราะห์การถดถอยตัวแปรเดียว และทำการตรวจสอบความแตกต่างทางสถิติในระดับนัยสำคัญที่ 0.05 โดยทำการวิเคราะห์ด้วยแบบจำลองโมเดลเชิงเส้นโดยนัยทั่วไป (GLM) แบบเส้นตรงแบบจำลองการสุ่มป่าไม้ (RF) และชัพพอร์ทเกอร์แมชชีน (SVM) ที่รายละเอียดจุดภาพขนาด 5, 25, 50 และ 100 เซนติเมตร และทำการตรวจสอบความแตกต่างทางสถิติ ให้ค่าสัมประสิทธิ์การตัดสินใจ ( $R^2$ ) ความลึกผิวดิน ( $Ec_0$ ) มีค่าอยู่ระหว่าง 0.270 ถึง 0.561 และค่า RMSE มีค่าอยู่ระหว่าง 12.784 ถึง 17.691 ดังแสดงในตารางที่ 10 และภาพแสดง Scattering plots ภาพที่ 16 ตามลำดับ

ตารางที่ 10  $R^2$  และ RMSE ของการประมาณค่าการนำไฟฟ้าของดิน ( $Ec_0$ )

Model	GSD 5 (ซม.)		GSD 25 (ซม.)		GSD 50 (ซม.)		GSD 100 (ซม.)	
	$R^2$	RMSE	$R^2$	RMSE	$R^2$	RMSE	$R^2$	RMSE
GLM	0.409	14.246	0.375	12.784	0.360	13.298	0.357	14.088
RF	0.559	14.988	0.494	14.287	0.282	14.000	0.270	15.246
SVM	0.270	12.841	0.561	16.698	0.364	17.691	0.297	17.080





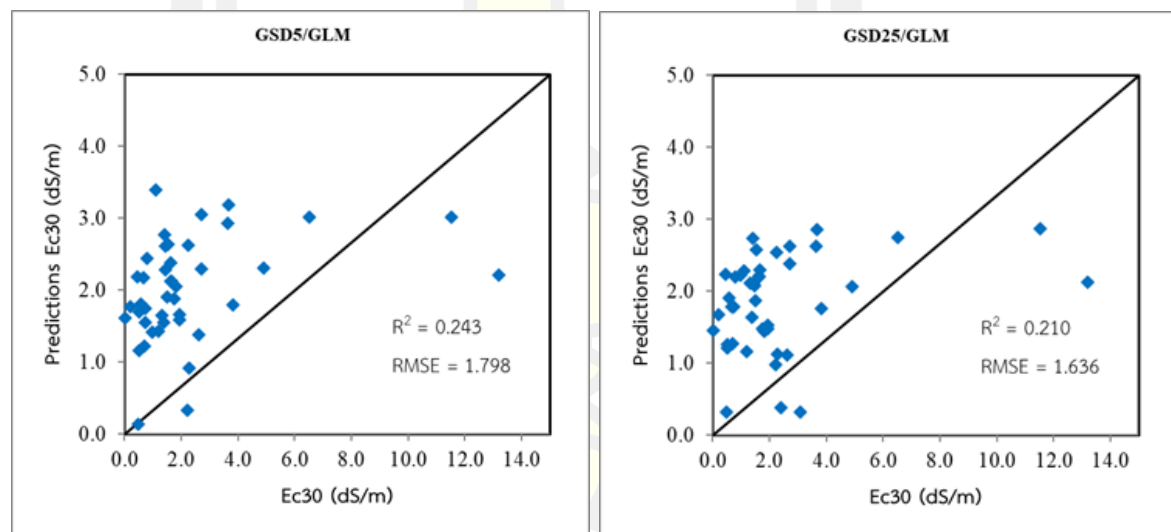


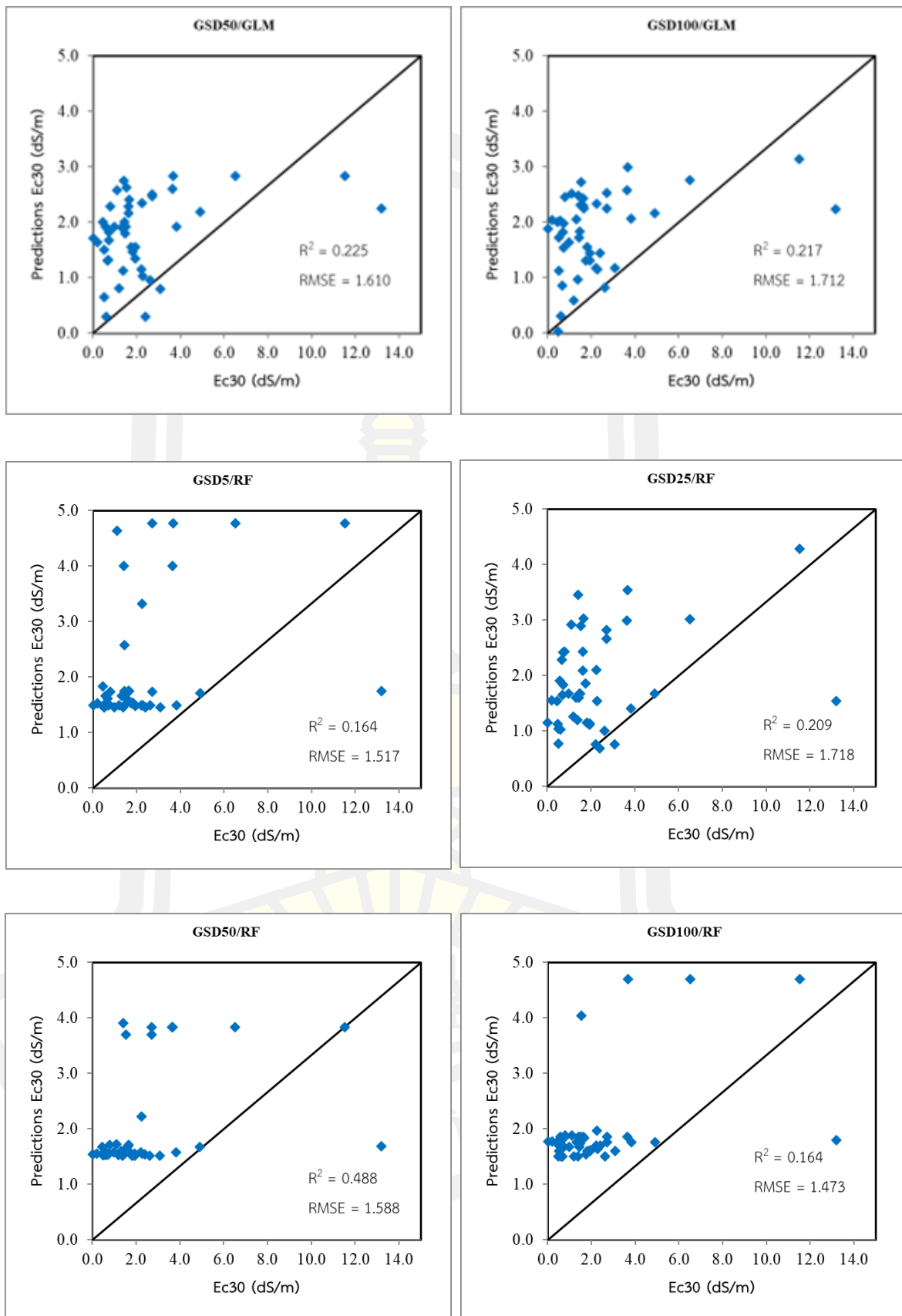
ภาพที่ 16 แสดง Scattering plots ความสัมพันธ์จากการวัดค่าการนำไฟฟ้าที่ความลึกผิวดิน (Ec0) และจากการประมาณของข้อมูลจากภาพถ่ายด้วยกล้อง RGB

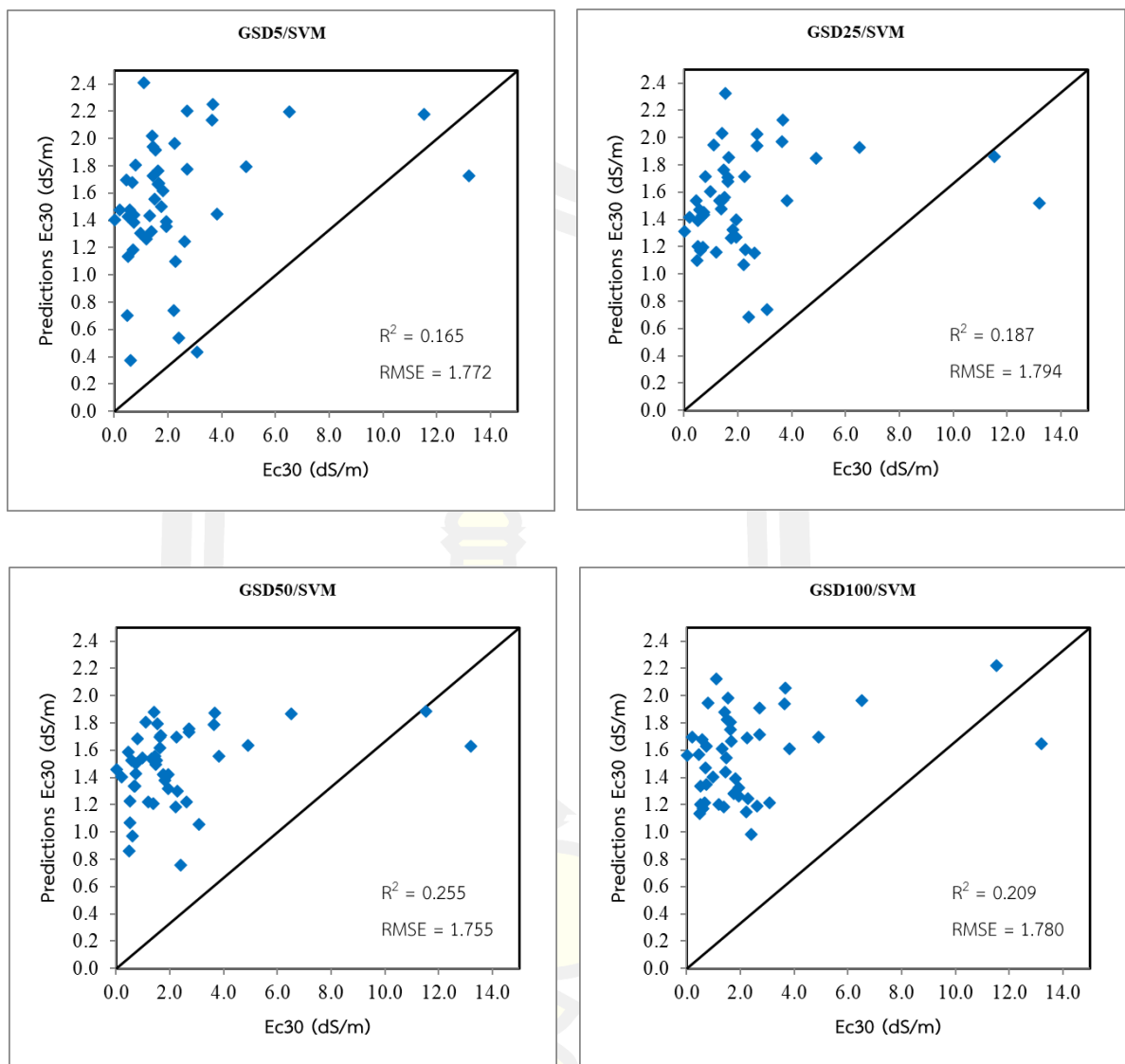
และให้ค่าสัมประสิทธิ์การตัดสินใจ ( $R^2$ ) ความลึกใต้ดิน (Ec30) มีค่าอยู่ระหว่าง 0.160 ถึง 0.448 และค่า RMSE มีค่าอยู่ระหว่าง 1.473 ถึง 1.798 ดังแสดงในตารางที่ 11 และภาพแสดง Scattering plots ภาพที่ 17 ตามลำดับ

ตารางที่ 11  $R^2$  และ RMSE ของการประมาณค่าการนำไฟฟ้าของดิน (Ec30)

Model	GSD 5 (ซม.)		GSD 25 (ซม.)		GSD 50 (ซม.)		GSD 100 (ซม.)	
	$R^2$	RMSE	$R^2$	RMSE	$R^2$	RMSE	$R^2$	RMSE
GLM	0.243	1.798	0.210	1.636	0.225	1.610	0.217	1.712
RF	0.163	1.517	0.209	1.718	0.448	1.588	0.160	1.473
SVM	0.165	1.772	0.187	1.794	0.255	1.755	0.209	1.780





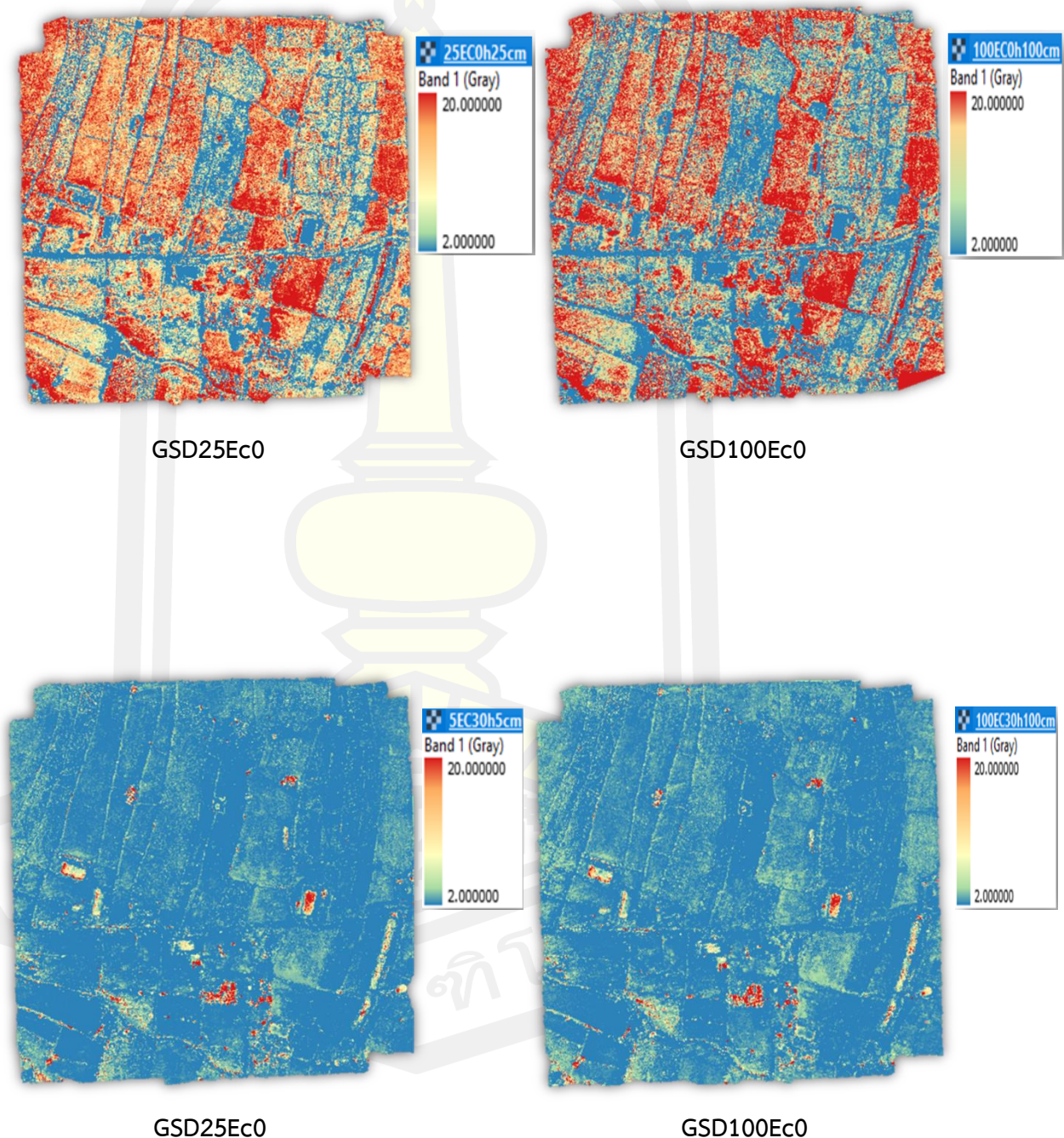


ภาพที่ 17 แสดง Scattering plots ความสัมพันธ์จากการวัดค่าการนำไฟฟ้าที่ความลึกใต้ดิน (Ec30)

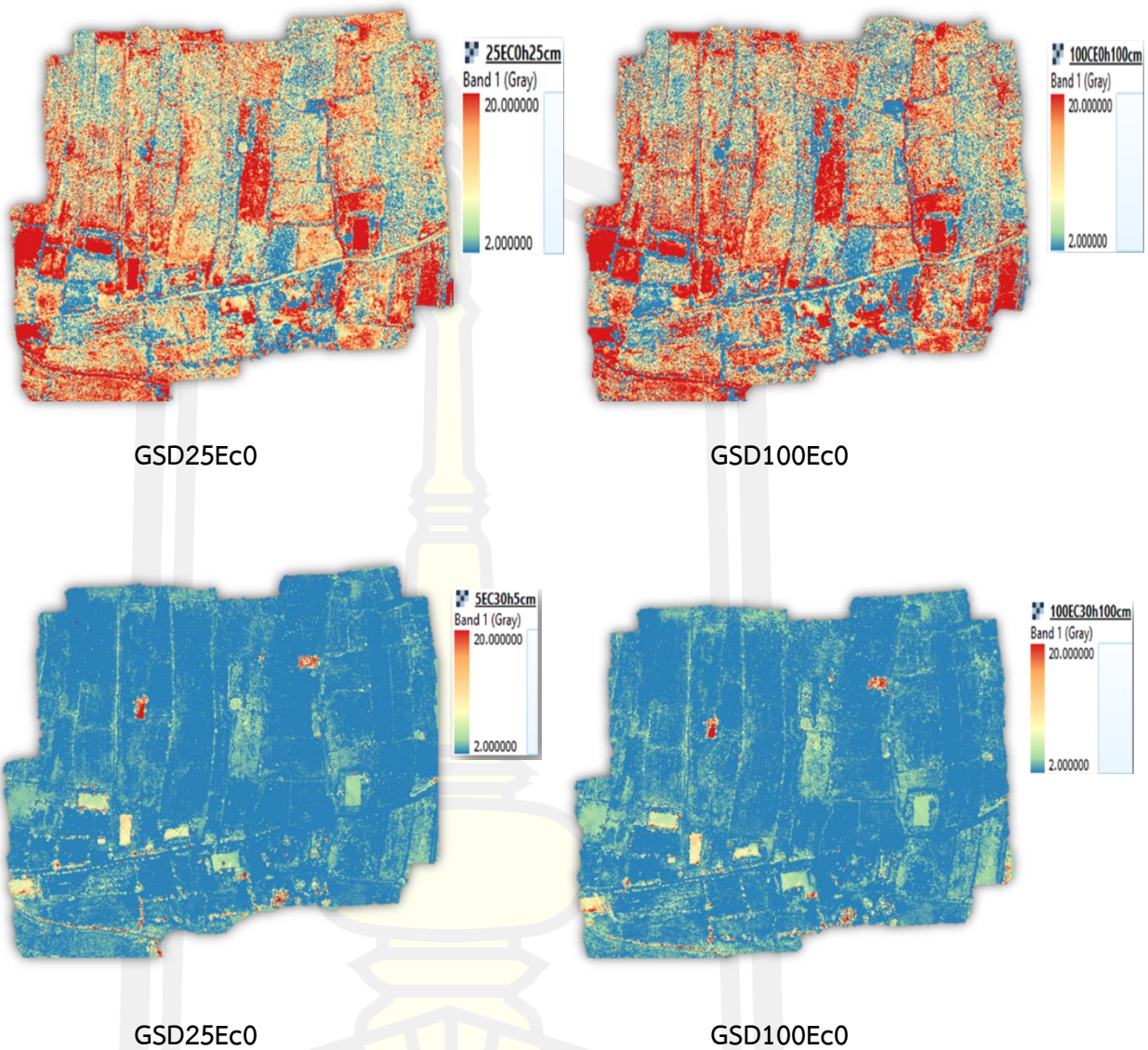
และการประมาณของข้อมูลจากภาพถ่ายด้วยกล้อง RGB

#### 4.2 แผนที่การติดตามความเค็มของดิน (ถูร้อน-ถูฝน)

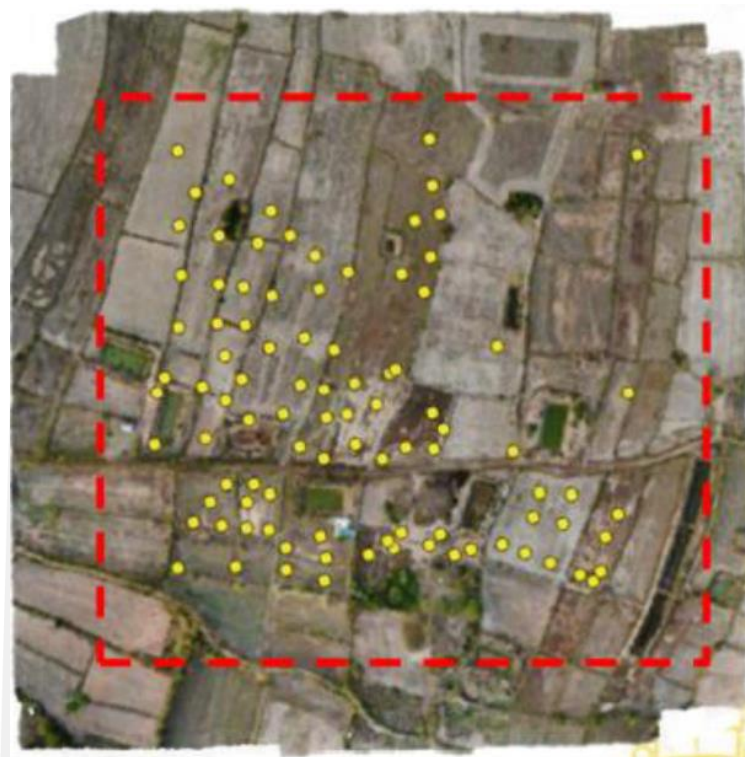
จากวิเคราะห์ข้อมูลภาคสนามร่วมกับข้อมูลที่ได้จากการศึกษาเรียนขั้นซึ่งประกอบไปด้วยค่าการสะท้อนแสง ( $r$ ,  $g$ ,  $b$ ) อัตราส่วนค่าการสะท้อนแสง ด้วยแบบจำลองทั้ง 3 แบบ ทำให้สามารถสร้างแผนที่ในการติดตามความเค็มของดิน ดังแสดงในภาพที่ 18 ลัง 19



ภาพที่ 18 แสดงแผนที่การประมาณการติดตามความเค็มของดิน (ถูร้อน)



ภาพที่ 19 แสดงแผนที่การประมาณการติดตามความเค็มของดิน (ฤดูฝน)



ภาพที่ 20 แสดงตำแหน่งที่สูมเก็บดินมาวัดค่าการนำไฟฟ้า จำนวน 85 จุด

## บทที่ 5

### อภิรายผล สรุปผลการศึกษา และข้อเสนอแนะ

บทนี้จะกล่าวถึงการอภิรายผลการศึกษาสรุปผลการศึกษาข้อจำกัดในการศึกษาและข้อเสนอแนะในการนำเสนอผลการศึกษาไปใช้ประโยชน์ในอนาคต การศึกษานี้แยกทำการวิเคราะห์ข้อมูล 3 วิธี คือการทดสอบแบบจำลองโมเดลเชิงเส้นโดยนัยทั่วไป (GLM) แบบจำลองการสูมป่าไม้ (RF) และแบบจำลองชั้พพอร์ทเวกเตอร์แมชชีน (SVM) ทำการประเมินประสิทธิภาพแบบจำลองโดยใช้ค่าสัมประสิทธิ์การตัดสินใจ ( $R^2$ ) และ Root mean square error (RMSE) เพื่อทำแผนที่ความเค็มของดิน ที่มีความแม่นยำ โดยใช้ภาพถ่ายทางอากาศจากอากาศยานไร้คนขับ

#### 5.1 อภิรายผลการศึกษา

##### 5.1.1 ผลการประมาณค่าที่ความลึกผิวดิน (Ec0)

ผลการศึกษาการประมาณค่าการนำไฟฟ้าของดิน (Ec) จากข้อมูลภาพถ่ายด้วยอากาศไร้คนขับ ที่รายละเอียดจุดขนาด 5, 25, 50, 100 เซนติเมตร พบว่า มีค่าความแม่นยำของแบบจำลองด้วยค่า  $R^2$  มีค่าอยู่ระหว่าง 0.270 ถึง 0.561 และค่า RMSE มีค่าอยู่ระหว่าง 12.841 ถึง 16.698 (dS/m) โดยที่ข้อมูลจากการที่พัฒนาแบบจำลองในการประมาณค่าความสูง มีค่าความถูกต้องสูงที่สุด คือภาพถ่ายที่รายละเอียดจุดภาพ 25 เซนติเมตร ที่ทำการวิเคราะห์ด้วยแบบจำลองชั้พพอร์ทเวกเตอร์แมชชีน (SVM) มีค่า  $R^2$  เท่ากับ 0.561 และ RMSE เท่ากับ 16.698 (dS/m)

##### 5.1.2 ผลการประมาณค่าที่ความลึกใต้ผิวดิน (Ec30)

ผลการศึกษาการประมาณค่าการนำไฟฟ้าของดิน (Ec) จากข้อมูลภาพถ่ายด้วยอากาศไร้คนขับ ที่รายละเอียดจุดขนาด 5, 25, 50, 100 เซนติเมตร พบว่า มีค่าความแม่นยำของแบบจำลองด้วยค่า  $R^2$  มีค่าอยู่ระหว่าง 0.160 ถึง 0.448 และค่า RMSE มีค่าอยู่ระหว่าง 1.473 ถึง 1.588 (dS/m) โดยที่ข้อมูลจากการที่พัฒนาแบบจำลองในการประมาณค่าความสูง มีค่าความถูกต้องสูงที่สุด คือภาพถ่ายที่รายละเอียดจุดภาพ 50 เซนติเมตร ที่ทำการวิเคราะห์ด้วยแบบจำลองแรนดอมฟอร์เรส (RF) มีค่า  $R^2$  เท่ากับ 0.448 และ RMSE เท่ากับ 1.588 (dS/m)

ตารางที่ 12 การศึกษาและเปรียบเทียบผลงานวิจัย

รายการ	Wei et al., 2020	อภิสิทธิ์ ภู滥มุล
ลักษณะภูมิประเทศ	พื้นที่ราบสูง	พื้นที่ราบ
ลักษณะการใช้งาน	ป่าล้ม, มะพร้าว, ถั่วเหลือง, ฯ, ถั่วลิสง	ข้าว, เลี้ยงสัตว์
ขนาดพื้นที่	3500 ไร่ แบ่งออกเป็น 4 พื้นที่ ABCD	84 ไร่ คิดเป็น 1 พื้นที่ สิกษา
สภาพอากาศ	ฤดูหนาว อุณหภูมิ 7 องศาเซลเซียส อากาศมีความชื้นต่ำ	1. ฤดูร้อน อุณหภูมิ 31-40 องศาเซลเซียส อากาศมีความชื้นปานกลาง 2. ฤดูฝน อุณหภูมิ 27-35 องศาเซลเซียส อากาศมีความชื้นสูง และบังพื้นที่มีน้ำขัง
สภาพของดิน	ดินร่วนปนทราย	ดินร่วนปนทราย(น้อย) ดินเหนียว (มาก) และมีปะพื้นที่เป็น ศีลาแลง
สาเหตุที่คาดว่าทำให้เกิดดินเค็ม	เนื่องจากเป็นพื้นที่ราบสูง จึงทำให้มีการซึมผ่านของน้ำได้ต่ำ และปัจจัยทางธรรมชาติในเรื่องของชั้นดิน	1. ปัจจัยทางธรรมชาติในเรื่องของชั้นดิน 2. สาเหตุจากการกระทำของมนุษย์ คือการทำนาเกลือ
อุปกรณ์ที่ใช้ในการเก็บข้อมูล	1. UAV ที่ใช้ DJI Matrice (ราคา ₩214,000) 2. ใช้เซ็นเซอร์ Micro-MCA รุ่น MINI 6 High Quality Mulit-Spectral sensor	1. UAV ที่ใช้ DJI Mavic Air 1 (ราคา ₩37,500) 2. ใช้เซ็นเซอร์ RGB ที่ติดมากับ UAV
อุปกรณ์ที่ใช้ในการวิเคราะห์ข้อมูล	1. คอมพิวเตอร์ 2. เชิงไช้ Leici/DDS-307A การนำไฟฟ้าเมตร/EC เมตร water conductivity (ราคา ₩25,000)	1. คอมพิวเตอร์ 2. EC-138 Conductivity Meter ปากกาแบบพกพา Liquid การนำไฟฟ้าวัดการนำไฟฟ้า (ราคา ₩500)
Modeling ที่ใช้	1. BPNN 2. SVR 3. RF	1. GLM 2. RF 3. SVM
ผลลัพธ์ที่ดีที่สุด	RF โดยที่ $R^2 = 0.812$ $RMSE = 2.229$ $RMSE = 0.089$ (MAX = 0.82) คิดเป็น 10%	SVM โดยที่ $R^2 = 0.561$ $RMSE = 16.698$ $RMSE = 16.698$ (MAX = 65) คิดเป็น 25%

5.1.3 จากตารางที่ 12 จะเห็นได้ว่าผู้วิจัยได้ทำการเปรียบเทียบความแตกต่างของงานวิจัย ในเรื่องต่าง ๆ เช่นลักษณะภูมิประเทศ สภาพของดิน อุปกรณ์ที่ใช้ในการเก็บข้อมูล อุปกรณ์ที่ใช้ในการวิเคราะห์ข้อมูล และผลลัพธ์ที่ดีที่สุด จะเห็นได้ว่างานวิจัยมีส่วนที่คล้ายกัน และมีส่วนที่แตกต่างกัน ส่วนที่คล้ายกันก็จะมี ลักษณะภูมิประเทศ ลักษณะการใช้งานพื้นที่ สภาพของดิน สาเหตุที่คาดว่าทำให้เกิดดินเคิ่ม และ Modeling ที่ใช้ และในส่วนที่มีความแตกต่างกันก็จะมี สภาพอากาศ อุปกรณ์ที่ใช้ในการเก็บข้อมูล อุปกรณ์ที่ใช้ในการวิเคราะห์ข้อมูล และผลลัพธ์ที่ดีที่สุด ซึ่งจากการวิเคราะห์จึงได้คำตอบว่าสิ่งที่เกิดขึ้นนั้นเป็นไปตามหลักของความจริง นั้นคือการใช้อุปกรณ์ หรือเครื่องมือที่ดีกว่า มีราคาที่สูงกว่า ย่อมให้ความถูกต้องมากกว่า ในกรณีที่มีบุคลากรตรวจสอบที่ดินว่าที่ดินบริเวณนั้น เป็นพื้นที่ดินเคิ่มหรือไม่(ก่อนที่จะทำการซื้อที่ดินนั้น) แต่เราไม่สามารถหาอุปกรณ์ หรือเครื่องมือตามงานวิจัยของ Wei ได้ แต่เราสามารถหาอุปกรณ์เหมือนงานวิจัยของ อะลิสิทธิ์ ภูษะมูล ได้ซึ่งมีความถูกต้องอยู่ที่ ค่า  $R^2$  เท่ากับ 0.561 หรือความผิดพลาดที่ 25% แต่ราคาก่อตัวตรวจสอบต่างกันหลักหลายแสนบาท จึงสรุปได้ว่า ผลการวิจัยแสดงให้เห็นว่าการใช้ภาพถ่ายจากอากาศยานไร้คนขับที่ราคาต่ำ หรือราคาที่ทุกๆคนก็สามารถจับต้องได้ ก็สามารถนำมาใช้ในการตรวจสอบ ประเมิน และสำรวจพื้นที่ที่คาดว่าจะเป็นพื้นที่ดินเคิ่มในเบื้องต้นได้

5.1.4 จากตารางที่ 11 และภาพที่ 17 จะเห็นได้ว่าค่าที่ได้ไม่มีความสัมพันธ์ทางสถิติไม่ค่อยชัดเจนซึ่งจากการ และรูปภาพดังกล่าวเป็นผลการประมาณค่าที่ความลึกใต้ผิวดิน (Ec30) โดยจะเห็นได้ว่าผลการประมาณค่าที่ได้นั้นมีความถูกต้องที่ต่ำ ซึ่งจะสะท้อนถึงแผนที่ความเคี้ยวที่มีความถูกต้องต่ำตามไปด้วย และสาเหตุที่ทำให้เกิดผลการประมาณค่าดังข้างต้นนั้นคือ ค่าการสะท้อนแสงที่เกิดขึ้นจากการภาพถ่ายทางอากาศ ลักษณะของภูมิประเทศ และวัตถุต่างๆ ของภาพถ่ายที่ไม่ได้แยกออกไป จากภาพที่ 19 จะเห็นได้ว่า บริเวณที่เป็นพื้นที่ดินเคิ่ม (สีแดง) จะเป็นบริเวณของถนน ดินราย ต้นไม้ และกระหน้าต่างๆ

## 5.2 สรุปผลการวิจัย

ทำการศึกษาความสามารถของค่าการสะท้อนแสงในแต่ละช่วงคลื่น คือ Red Green และ BLUE ทำการประเมินประสิทธิภาพของแบบจำลอง ของการประมาณค่าที่ความลึกผิวดินที่ (Ec0) และ ความลึกใต้ผิวดิน (Ec30) ด้วยวิธีการเรียนรู้ของเครื่อง (Machine learning) โดยวิธีการที่นำเสนอจะใช้การวัดค่าการนำไฟฟ้าของดินจากการทดลองร่วมกับภาพถ่ายรายละเอียดสูงจากอากาศยานไร้คนขับ (UAV) โดยใช้รายละเอียดจุดภาพขนาด 5, 25, 50 และ 100 เซนติเมตร ในพื้นที่การทดลองในนาข้าวของเกษตรกร บ้านโน彭สิม ตำบลหัวนาคำ อำเภออย่างตลาด จังหวัดกาฬสินธุ์ จากผลการศึกษาพบว่า

5.2.1 การประมาณค่าการนำไฟฟ้าของดิน (Ec) ความลึกผิวดิน (Ec0) ที่รายละเอียดจุดภาพ 25 เซนติเมตร ด้วยการวิเคราะห์ด้วยแบบจำลองชั้นพอร์ทเวกเตอร์แมชชีน (SVM) ให้ผลการประมาณค่าการนำไฟฟ้าของดิน (Ec) ได้ดีที่สุด โดยที่ค่า  $R^2$  เท่ากับ 0.561 และ RMSEเท่ากับ 16.698 เมตร และการประมาณค่าการนำไฟฟ้าของดิน (Ec) ความลึกใต้ดิน (Ec30) ที่รายละเอียดจุดภาพ 50 เซนติเมตร ด้วยการวิเคราะห์ด้วยแบบจำลองการสัมปำไม้ (RF) ให้ผลการประมาณค่าการนำไฟฟ้าของดิน (Ec) ได้ดีที่สุด โดยที่ค่า  $R^2$  เท่ากับ 0.448 และ RMSEเท่ากับ 1.588 เมตร แสดงให้เห็นว่าการใช้ภาพถ่ายจากอากาศยานไร้คนขับที่มีรายละเอียดจุดภาพไม่สูงมากนัก ก็ยังส่งผลให้การประมาณค่าการนำไฟฟ้าของดิน (Ec) ได้ดี

### 5.3 ข้อเสนอแนะ

การศึกษาประเมินประสิทธิภาพการรับรู้ระยะไกลโดยใช้ภาพถ่ายจากอากาศยานไร้คนขับ เพื่อประมาณค่าการนำไฟฟ้าของดิน (Ec) ที่ความลึกผิวดิน (Ec0) และ ความลึกใต้ผิวดิน (Ec30) ผู้วิจัยเลือกพื้นที่ทั่งนาเนื้อที่ประมาณ 84 ไร่ ตั้งอยู่ที่บ้านโนนสิม ตำบลหัวนาคำ อำเภอทางตอนบน จังหวัดกาฬสินธุ์ เพื่อสำรวจการติดตามและทำแผนที่ความเค็มของดิน โดยทำการบินถ่ายภาพที่ความสูง 90 เมตร พบว่าให้ค่าที่ถูกต้องในเกณฑ์ที่เหมาะสม แต่ถ้าหากเพิ่มความแม่นยำของข้อมูลควรทำการบินถ่ายภาพที่ระดับแตกต่างกัน เพื่อเพิ่มความละเอียดของภาพถ่ายที่ได้ และจากการศึกษาผู้วิจัยได้เช็กล้อง RGB ที่มีช่วงคลื่นเพียง (RGB) ดังนั้นควรมีการศึกษาเพิ่มเติมเกี่ยวกับชนิดและคุณสมบัติของกล้อง Multispectral Redage และ Hyperpectral ดังรายงานการวิจัย (Hu et al., 2019; Zhang and Zhao 2019) เนื่องจากกล้องทั้งสองนี้มีช่วงคลื่นที่มาก ซึ่งจะให้ค่าที่มีความแม่นยำมากยิ่งขึ้น แต่อย่างไรก็ตามกล้องทั้งสองมีราคาที่ค่อนข้างสูง ไม่เหมาะสมกับคนไทย ควรศึกษาเพิ่มเติมเกี่ยวกับการวิเคราะห์ภาพด้วยหลักการจำแนกข้อมูลภาพเชิงวัตถุ Object base image analysis (OBIA) ดังรายงานวิจัยของ (Ivushkin et al., 2019) แต่ก็มีขั้นตอนการประมวลผลที่มากและซับซ้อน ควรมีข้อมูลที่ครอบคลุมทั้งพื้นที่ และยังรวมถึงการลองทดสอบกับพื้นที่ที่แตกต่างกัน เช่นพื้นที่ป่าชายทราย พื้นที่ทะเลทราย พื้นที่ที่ติดกับชายฝั่งทะเลที่เป็นที่ราบ เพื่อใช้ในการประเมินค่าการนำไฟฟ้าของดิน (Ec)

ผู้วิจัยเห็นว่าข้อมูลการสำรวจจากระยะไกลด้วยเทคนิคต่างๆนี้มีความสำคัญต่อการศึกษา การประมาณค่าการนำไฟฟ้าของดิน (Ec) อันจะเป็นประโยชน์ต่อนักวิชาการ นักวิทยาศาสตร์ หน่วยงานที่มีหน้าที่บริหารจัดการทรัพยากรป่าไม้สามารถนำความรู้ที่ได้ไปใช้ในการศึกษาวิจัยได้อย่าง มีประสิทธิภาพต่อไปในอนาคต รวมถึงเกษตรกรที่สามารถนำไปประยุกต์ใช้ในการเพิ่มประมาณผลผลิตในอนาคตได้อีกด้วย

บรรณานุกรม



กรมพัฒนาที่ดิน กระทรวงเกษตรและสหกรณ์. (2553). คู่มือการปฏิบัติงาน กระบวนการรับตัวอย่าง และการเตรียมตัวอย่างดิน. Retrieved July 12, 2021, from  
[https://www.google.co.th/url?sa=t&rct=j&q=&esrc=s&source=web&cd=&ved=2ahUKEwiQz4rlhJ\\_7AhWJ7zgGHQhrAZ0QFnoECAkQAQ&url=http%3A%2F%2Fwww.ldd.go.th%2FPMQA%2F2553%2FManual%2FOSD-02.pdf&usg=AOvVaw1ewXxDCj0CkaZONJ71CGwq](https://www.google.co.th/url?sa=t&rct=j&q=&esrc=s&source=web&cd=&ved=2ahUKEwiQz4rlhJ_7AhWJ7zgGHQhrAZ0QFnoECAkQAQ&url=http%3A%2F%2Fwww.ldd.go.th%2FPMQA%2F2553%2FManual%2FOSD-02.pdf&usg=AOvVaw1ewXxDCj0CkaZONJ71CGwq)

กรมพัฒนาที่ดิน กระทรวงเกษตรและสหกรณ์. (2553). คู่มือการปฏิบัติงาน กระบวนการวิเคราะห์ ตรวจสอบดินทางเคมี. Retrieved October 12, 2021, from  
[https://l.facebook.com/l.php?u=https%3A%2F%2Fwww.ldd.go.th%2FPMQA%2F2553%2FManual%2FOSD-03.pdf%3Ffbclid%3DIwAR3vZTnTAjNXhomEmQB7YmdBgc0Uu1I60apBcZsw0SSFf0-FLMfbfd97nA8&h=AT2xH1ZF7q4Gb7q8fzg4xCL6sNhzFTJ8t-9g80GjlwO8z2nbaE7NCtVWBshm67iYiR4XsUimGwyFRo8usAHpGeVwGX8qKw8-iM\\_sYxJne\\_TZd7IfE9p3DeaP4CjEVlo8PBflwdjthBifQkJ\\_ZqzOew](https://l.facebook.com/l.php?u=https%3A%2F%2Fwww.ldd.go.th%2FPMQA%2F2553%2FManual%2FOSD-03.pdf%3Ffbclid%3DIwAR3vZTnTAjNXhomEmQB7YmdBgc0Uu1I60apBcZsw0SSFf0-FLMfbfd97nA8&h=AT2xH1ZF7q4Gb7q8fzg4xCL6sNhzFTJ8t-9g80GjlwO8z2nbaE7NCtVWBshm67iYiR4XsUimGwyFRo8usAHpGeVwGX8qKw8-iM_sYxJne_TZd7IfE9p3DeaP4CjEVlo8PBflwdjthBifQkJ_ZqzOew)

กรมพัฒนาที่ดิน กระทรวงเกษตรและสหกรณ์. (2564). ข้อมูลการจัดการดิน. Retrieved July 12, 2021, from [https://www.ldd.go.th/Web\\_Soil/salty.htm](https://www.ldd.go.th/Web_Soil/salty.htm)

กิตติศักดิ์ ศรีกลาง. (2559). เอกสารประกอบรายวิชาการสำรวจด้วยภาพถ่ายทางอากาศ. Retrieved July 25, 2021, from <http://www.rtsd.mi.th/>

ประจักษ์ บุญอารีย์. 2544. ธรรมชาติกับวิธีชีวิตชุมชนอีสาน. สำนักศิลปวัฒนธรรม สถาบันราชภัฏ อุบลราชธานี. 108 หน้า.

พิชชาพร อุ่นแสง. (2557). การสำรวจจากระยะไกล (Remote Sensing). Retrieved July 16, 2021, from [http://pitchapornsj13.blogspot.com/2014/10/remote-sensing-1\\_56.html](http://pitchapornsj13.blogspot.com/2014/10/remote-sensing-1_56.html)

ไฟศาล สันติธรรมนนท์. (2553). การรังวัดด้วยภาพดิจิทัล. ม.ป.ท.: สำนักพิมพ์มหาวิทยาลัยขอนแก่น.

วลัย พร ศศ ศิ ประภา. ดาวเทียม สำรวจ ทรัพยากร ของ ไทย กับ การ วิจัย ด้าน พืช. Thai Agricultural Research Journal, 2007, 25.2: 177-177.

ศิริ แก้วปั้ง. (2561). การประเมินการใช้ภาพถ่ายทางอากาศจากอากาศยานไร้คนขับสำหรับการประมาณค่าชีวมวลเหนือพื้นดินของต้นหม่อน. วารสารแก่นเกษตร, 46 (ฉบับพิเศษ 1), 381–387.

สมบัติ อุย়েমোং. (2558). ข้อมูลจากการสำรวจระยะไกล (Remote Sensing). Retrieved July 20,2021, from <http://www.gisthai.org/about-gis/remote-sensing.html>

สำนักงานปลัดกระทรวงเกษตรและสหกรณ์. (2563). ข่าวข่าวเจ็กซ์ยนาท. Retrieved July 15, 2021, from <https://www.opsmoac.go.th/chainat-dwl-files-421591791097>

สุวัดี นำพาเจริญ, ช. จ. (2015). การวิเคราะห์สมการทดถอย การแปลความหมายค่า R-Square และ ก า ร ป ร ะ เมิน ตัว แ บ บ ว่า เ 亥 မ า ะ ສ မ ห ร ី ន ៅ ឬ ម ី . Retrieved July 12 , 2021 , from <https://www.solutioncenterminitab.com/blog/บทความ-3/>

อรุณี ยุววนิยม. (2536). ผลของคุณภาพน้ำเค็มต่อคุณสมบัติของดินและการทนเค็มของพืช.  
กรุงเทพฯ:มหาวิทยาลัยเกษตรศาสตร์

BENDIG, Juliane, et al. Solar-induced chlorophyll fluorescence measured from an unmanned aircraft system: sensor etaloning and platform motion correction. IEEE Transactions on Geoscience and Remote Sensing, 2019, 58.5: 3437-3444.

HU, Jie, et al. Quantitative estimation of soil salinity using UAV-borne hyperspectral and satellite multispectral images. Remote Sensing, 2019, 11.7: 736.

IVUSHKIN, Konstantin, et al. Global mapping of soil salinity change. Remote sensing of environment, 2019, 231: 111260.

MA, Ying, et al. Spectral index fusion for salinized soil salinity inversion using Sentinel-2A and UAV images in a coastal area. IEEE Access, 2020, 8: 159595-159608.

ROMERO-TRIGUEROS, Cristina, et al. Effects of saline reclaimed waters and deficit irrigation on Citrus physiology assessed by UAV remote sensing. Agricultural Water Management, 2017, 183: 60-69

Selvaraj, M. G., Valderrama, M., Guzman, D., Valencia, M., Ruiz, H., & Acharjee, A. (2020). Machine learning for high-throughput field phenotyping and image processing provides insight into the association of above and below-ground traits in cassava (*Manihot esculenta* Crantz). Plant methods, 16(1), 1-19.

Soil Survey Laboratory Staff. 1992. Reaction (pH). pp 274-276. In Soil Survey Laboratory Method Manual. Soil Survey Investigations report No. 42 , V.2.0.

WEI, Zhuo, et al. Remediation of crude oil-contaminated coastal marsh soil: Integrated effect of biochar, rhamnolipid biosurfactant and nitrogen application. Journal of hazardous materials, 2020, 396: 122595.

ZHANG, Suming; ZHAO, Gengxing. A harmonious satellite-unmanned aerial vehicle-ground measurement inversion method for monitoring salinity in coastal saline soil. Remote Sensing, 2019, 11.14: 1700.

### ภาคผนวก

ตารางที่ 13 ค่าสสะท้อนแสงที่ปรับแก้ค่าสสะท้อนแสง และค่าดัชนีต่างๆ จากโปรแกรม QGIS 3.8 ที่ GSD 5 เซนติเมตร (Ec0)

$E_{c0}$	$r$	$g$	$b$	$\sqrt{r \times g}$	$\sqrt{r^2 \times g^2}$	$\frac{(r - g)}{(r + g)}$	$r + g$	$r \times g$	$\frac{r}{g}$	$r - g$
44	0.338	0.331	0.331	0.334	0.112	0.006	0.669	0.112	1.019	0.006
22	0.334	0.332	0.334	0.333	0.111	0.002	0.666	0.111	1.005	0.002
23	0.350	0.336	0.313	0.343	0.118	0.013	0.687	0.118	1.042	0.014
12	0.362	0.335	0.304	0.348	0.121	0.025	0.696	0.121	1.081	0.027
11	0.360	0.333	0.307	0.346	0.120	0.025	0.693	0.120	1.079	0.026
19	0.342	0.331	0.327	0.336	0.113	0.011	0.673	0.113	1.034	0.011
3	0.376	0.328	0.296	0.351	0.123	0.041	0.704	0.123	1.144	0.047
5	0.366	0.332	0.303	0.348	0.121	0.031	0.697	0.121	1.102	0.034
3	0.357	0.324	0.320	0.340	0.115	0.030	0.680	0.115	1.103	0.033
3	0.415	0.309	0.276	0.358	0.128	0.079	0.724	0.128	1.341	0.105
13	0.356	0.333	0.312	0.344	0.118	0.022	0.688	0.118	1.069	0.023
4	0.362	0.333	0.306	0.347	0.120	0.026	0.694	0.120	1.086	0.029
4	0.370	0.330	0.300	0.350	0.122	0.036	0.700	0.122	1.123	0.040
3	0.339	0.337	0.325	0.338	0.114	0.002	0.675	0.114	1.005	0.002
6	0.440	0.319	0.241	0.374	0.140	0.088	0.759	0.140	1.378	0.121
4	0.347	0.340	0.313	0.343	0.118	0.007	0.687	0.118	1.022	0.008
5	0.339	0.337	0.325	0.338	0.114	0.002	0.675	0.114	1.006	0.002
3	0.363	0.334	0.303	0.348	0.121	0.027	0.697	0.121	1.087	0.029
3	0.374	0.334	0.292	0.353	0.125	0.035	0.708	0.125	1.118	0.039
1	0.379	0.348	0.273	0.363	0.132	0.029	0.727	0.132	1.090	0.031
2	0.401	0.344	0.255	0.371	0.138	0.049	0.745	0.138	1.165	0.057
2	0.369	0.336	0.296	0.352	0.124	0.030	0.704	0.124	1.099	0.033
4	0.354	0.331	0.315	0.343	0.117	0.021	0.685	0.117	1.068	0.023
1	0.379	0.348	0.273	0.363	0.132	0.029	0.727	0.132	1.090	0.031
4	0.366	0.333	0.302	0.349	0.122	0.030	0.698	0.122	1.100	0.033

Ec0	r	g	b	$\sqrt{r \times g}$	$\sqrt{r^2 \times g^2}$	$\frac{(r - g)}{(r + g)}$	r + g	r × g	$\frac{r}{g}$	r - g
5	0.353	0.334	0.313	0.343	0.118	0.018	0.687	0.118	1.056	0.019
3	0.385	0.326	0.289	0.354	0.126	0.050	0.711	0.126	1.182	0.059
4	0.354	0.332	0.315	0.343	0.117	0.021	0.685	0.117	1.066	0.022
3	0.330	0.338	0.332	0.334	0.112	-0.009	0.668	0.112	0.974	0.009
2	0.376	0.360	0.264	0.368	0.135	0.015	0.736	0.135	1.042	0.015
3	0.339	0.330	0.330	0.335	0.112	0.009	0.670	0.112	1.027	0.009
3	0.365	0.338	0.297	0.351	0.123	0.025	0.703	0.123	1.078	0.026
6	0.375	0.331	0.294	0.352	0.124	0.039	0.706	0.124	1.134	0.044
4	0.374	0.336	0.290	0.354	0.126	0.034	0.710	0.126	1.113	0.038
8	0.361	0.348	0.291	0.354	0.126	0.012	0.709	0.126	1.036	0.013
18	0.397	0.332	0.271	0.363	0.132	0.055	0.729	0.132	1.197	0.066
61	0.356	0.328	0.316	0.342	0.117	0.025	0.684	0.117	1.083	0.027
60	0.350	0.332	0.319	0.340	0.116	0.017	0.681	0.116	1.055	0.018
13	0.365	0.335	0.300	0.350	0.122	0.027	0.700	0.122	1.088	0.030
61	0.354	0.337	0.309	0.345	0.119	0.017	0.691	0.119	1.052	0.018
10	0.354	0.332	0.314	0.343	0.118	0.021	0.686	0.118	1.067	0.022
5	0.360	0.333	0.306	0.347	0.120	0.025	0.694	0.120	1.081	0.027
6	0.358	0.335	0.308	0.346	0.120	0.022	0.692	0.120	1.069	0.023
3	0.347	0.344	0.309	0.346	0.119	0.003	0.691	0.119	1.008	0.003
60	0.330	0.336	0.334	0.333	0.111	-0.005	0.666	0.111	0.984	0.005
60	0.343	0.329	0.327	0.336	0.113	0.013	0.673	0.113	1.042	0.014
50	0.330	0.337	0.333	0.334	0.111	-0.007	0.667	0.111	0.980	0.007
40	0.331	0.335	0.335	0.333	0.111	-0.004	0.665	0.111	0.988	0.004
5	0.448	0.313	0.239	0.375	0.140	0.094	0.761	0.140	1.431	0.135
1	0.386	0.331	0.283	0.357	0.128	0.048	0.717	0.128	1.169	0.056
15	0.358	0.330	0.312	0.344	0.118	0.026	0.688	0.118	1.084	0.028
50	0.339	0.334	0.327	0.336	0.113	0.005	0.673	0.113	1.015	0.005
40	0.332	0.332	0.336	0.332	0.110	0.000	0.664	0.110	1.000	0.000

Ec0	r	g	b	$\sqrt{r \times g}$	$\sqrt{r^2 \times g^2}$	$\frac{(r - g)}{(r + g)}$	r + g	r × g	$\frac{r}{g}$	r - g
3	0.404	0.308	0.288	0.353	0.124	0.073	0.712	0.124	1.312	0.096
4	0.433	0.311	0.256	0.367	0.135	0.087	0.744	0.135	1.389	0.121
6	0.430	0.317	0.253	0.369	0.136	0.083	0.747	0.136	1.357	0.113
2	0.350	0.314	0.336	0.331	0.110	0.033	0.664	0.110	1.117	0.037
2	0.357	0.330	0.313	0.343	0.118	0.024	0.687	0.118	1.079	0.026
20	0.369	0.329	0.302	0.348	0.121	0.036	0.698	0.121	1.122	0.040
30	0.350	0.327	0.323	0.338	0.114	0.021	0.677	0.114	1.069	0.022
30	0.354	0.330	0.316	0.342	0.117	0.023	0.684	0.117	1.074	0.025
20	0.345	0.336	0.320	0.340	0.116	0.009	0.680	0.116	1.026	0.009
12	0.358	0.331	0.310	0.345	0.119	0.025	0.690	0.119	1.081	0.027
4	0.362	0.345	0.293	0.353	0.125	0.017	0.707	0.125	1.050	0.017
4	0.361	0.339	0.300	0.350	0.122	0.021	0.700	0.122	1.065	0.022
4	0.381	0.334	0.285	0.357	0.127	0.041	0.715	0.127	1.141	0.047
1	0.360	0.338	0.302	0.349	0.122	0.020	0.698	0.122	1.063	0.021
1	0.377	0.343	0.280	0.360	0.129	0.031	0.720	0.129	1.099	0.034
17	0.358	0.343	0.299	0.350	0.123	0.015	0.701	0.123	1.045	0.015
4	0.361	0.345	0.295	0.353	0.124	0.015	0.705	0.124	1.046	0.016
1	0.366	0.333	0.302	0.349	0.122	0.030	0.698	0.122	1.099	0.033
5	0.344	0.340	0.315	0.342	0.117	0.004	0.685	0.117	1.011	0.004
4	0.364	0.328	0.308	0.346	0.120	0.032	0.692	0.120	1.108	0.036
5	0.378	0.327	0.295	0.351	0.124	0.044	0.705	0.124	1.155	0.051
0	0.389	0.321	0.290	0.353	0.125	0.056	0.710	0.125	1.212	0.068
1	0.374	0.327	0.299	0.350	0.122	0.041	0.701	0.122	1.145	0.047
1	0.384	0.328	0.288	0.355	0.126	0.048	0.712	0.126	1.172	0.056
1	0.365	0.332	0.302	0.348	0.121	0.030	0.698	0.121	1.098	0.033
2	0.364	0.334	0.302	0.349	0.122	0.028	0.698	0.122	1.090	0.030
13	0.333	0.336	0.331	0.334	0.112	-0.004	0.669	0.112	0.990	0.003
30	0.335	0.335	0.331	0.335	0.112	0.000	0.669	0.112	1.000	0.000

Ec0	r	g	b	$\sqrt{r \times g}$	$\sqrt{r^2 \times g^2}$	$\frac{(r - g)}{(r + g)}$	r + g	r × g	$\frac{r}{g}$	r - g
30	0.349	0.33	0.32	0.34	0.115	0.018	0.68	0.115	1.058	0.019
30	0.345	0.335	0.32	0.34	0.116	0.009	0.68	0.116	1.028	0.009
13	0.363	0.33	0.307	0.346	0.12	0.03	0.693	0.12	1.1	0.033
17	0.352	0.335	0.313	0.343	0.118	0.016	0.687	0.118	1.049	0.016
40	0.352	0.335	0.313	0.344	0.118	0.016	0.688	0.118	1.05	0.017
40	0.348	0.335	0.317	0.341	0.116	0.012	0.683	0.116	1.037	0.012
1	0.365	0.331	0.304	0.348	0.121	0.031	0.696	0.121	1.103	0.034
10	0.364	0.333	0.303	0.348	0.121	0.028	0.697	0.121	1.092	0.031
4	0.354	0.329	0.317	0.341	0.116	0.023	0.683	0.116	1.075	0.025
2	0.355	0.339	0.306	0.347	0.12	0.016	0.694	0.12	1.048	0.016
10	0.347	0.335	0.318	0.341	0.116	0.011	0.682	0.116	1.034	0.011
7	0.35	0.33	0.321	0.339	0.115	0.019	0.679	0.115	1.061	0.02
17	0.349	0.334	0.317	0.341	0.117	0.014	0.683	0.117	1.045	0.015
15	0.388	0.322	0.289	0.354	0.125	0.055	0.711	0.125	1.204	0.066
9	0.36	0.329	0.311	0.344	0.118	0.028	0.689	0.118	1.093	0.03
15	0.362	0.329	0.309	0.345	0.119	0.03	0.691	0.119	1.1	0.033
4	0.43	0.317	0.253	0.369	0.136	0.083	0.747	0.136	1.356	0.113
20	0.345	0.333	0.322	0.339	0.115	0.012	0.678	0.115	1.037	0.012
30	0.356	0.332	0.311	0.344	0.118	0.023	0.689	0.118	1.073	0.024
20	0.351	0.341	0.308	0.346	0.12	0.01	0.692	0.12	1.029	0.01
20	0.355	0.341	0.305	0.348	0.121	0.013	0.695	0.121	1.041	0.014
20	0.34	0.342	0.319	0.341	0.116	-0.002	0.681	0.116	0.994	0.002
12	0.351	0.335	0.314	0.343	0.118	0.015	0.686	0.118	1.047	0.016
12	0.349	0.336	0.314	0.343	0.117	0.012	0.686	0.117	1.038	0.013
30	0.354	0.342	0.304	0.348	0.121	0.011	0.696	0.121	1.034	0.012
20	0.358	0.331	0.312	0.344	0.118	0.025	0.688	0.118	1.083	0.027
40	0.354	0.334	0.313	0.344	0.118	0.019	0.687	0.118	1.059	0.02
15	0.351	0.332	0.318	0.341	0.116	0.018	0.682	0.116	1.058	0.019

Ec0	r	g	b	$\sqrt{r \times g}$	$\sqrt{r^2 \times g^2}$	$\frac{(r - g)}{(r \div g)}$	r + g	r × g	$\frac{r}{g}$	r - g
30	0.348	0.339	0.313	0.343	0.118	0.008	0.687	0.118	1.026	0.009
12	0.34	0.338	0.322	0.339	0.115	0.002	0.678	0.115	1.005	0.002
20	0.34	0.335	0.325	0.337	0.114	0.005	0.675	0.114	1.015	0.005
40	0.346	0.338	0.316	0.342	0.117	0.008	0.684	0.117	1.025	0.008

ตารางที่ 14 ค่าสacheท้อนแสงที่ปรับแก้ค่าสacheท้อนแสง และค่าดัชนีต่างๆ จากโปรแกรม QGIS 3.8 ที่ GSD 5 เซนติเมตร (Ec30)

Ec30	r	g	b	$\sqrt{r \times g}$	$\sqrt{r^2 \times g^2}$	$\frac{(r - g)}{(r \div g)}$	r + g	r × g	$\frac{r}{g}$	r - g
4	0.338	0.331	0.331	0.334	0.112	0.006	0.669	0.112	1.019	0.006
3	0.334	0.332	0.334	0.333	0.111	0.002	0.666	0.111	1.005	0.002
4	0.350	0.336	0.313	0.343	0.118	0.013	0.687	0.118	1.042	0.014
3	0.362	0.335	0.304	0.348	0.121	0.025	0.696	0.121	1.081	0.027
2	0.360	0.333	0.307	0.346	0.120	0.025	0.693	0.120	1.079	0.026
6	0.342	0.331	0.327	0.336	0.113	0.011	0.673	0.113	1.034	0.011
1	0.376	0.328	0.296	0.351	0.123	0.041	0.704	0.123	1.144	0.047
1	0.366	0.332	0.303	0.348	0.121	0.031	0.697	0.121	1.102	0.034
2	0.357	0.324	0.320	0.340	0.115	0.030	0.680	0.115	1.103	0.033
2	0.415	0.309	0.276	0.358	0.128	0.079	0.724	0.128	1.341	0.105
4	0.356	0.333	0.312	0.344	0.118	0.022	0.688	0.118	1.069	0.023
2	0.362	0.333	0.306	0.347	0.120	0.026	0.694	0.120	1.086	0.029
2	0.370	0.330	0.300	0.350	0.122	0.036	0.700	0.122	1.123	0.040
1	0.339	0.337	0.325	0.338	0.114	0.002	0.675	0.114	1.005	0.002
3	0.440	0.319	0.241	0.374	0.140	0.088	0.759	0.140	1.378	0.121
2	0.347	0.340	0.313	0.343	0.118	0.007	0.687	0.118	1.022	0.008
3	0.339	0.337	0.325	0.338	0.114	0.002	0.675	0.114	1.006	0.002
2	0.363	0.334	0.303	0.348	0.121	0.027	0.697	0.121	1.087	0.029
2	0.374	0.334	0.292	0.353	0.125	0.035	0.708	0.125	1.118	0.039
1	0.379	0.348	0.273	0.363	0.132	0.029	0.727	0.132	1.090	0.031

Ec30	r	g	b	$\sqrt{r \times g}$	$\sqrt{r^2 \times g^2}$	$\frac{(r - g)}{(r \div g)}$	r + g	r × g	$\frac{r}{g}$	r - g
1	0.401	0.344	0.255	0.371	0.138	0.049	0.745	0.138	1.165	0.057
1	0.369	0.336	0.296	0.352	0.124	0.030	0.704	0.124	1.099	0.033
2	0.354	0.331	0.315	0.343	0.117	0.021	0.685	0.117	1.068	0.023
1	0.366	0.333	0.302	0.349	0.122	0.030	0.698	0.122	1.100	0.033
2	0.353	0.334	0.313	0.343	0.118	0.018	0.687	0.118	1.056	0.019
2	0.385	0.326	0.289	0.354	0.126	0.050	0.711	0.126	1.182	0.059
1	0.354	0.332	0.315	0.343	0.117	0.021	0.685	0.117	1.066	0.022
1	0.330	0.338	0.332	0.334	0.112	-0.009	0.668	0.112	0.974	0.009
2	0.376	0.360	0.264	0.368	0.135	0.015	0.736	0.135	1.042	0.015
2	0.339	0.330	0.330	0.335	0.112	0.009	0.670	0.112	1.027	0.009
1	0.365	0.338	0.297	0.351	0.123	0.025	0.703	0.123	1.078	0.026
3	0.375	0.331	0.294	0.352	0.124	0.039	0.706	0.124	1.134	0.044
2	0.374	0.336	0.290	0.354	0.126	0.034	0.710	0.126	1.113	0.038
2	0.361	0.348	0.291	0.354	0.126	0.012	0.709	0.126	1.036	0.013
2	0.397	0.332	0.271	0.363	0.132	0.055	0.729	0.132	1.197	0.066
5	0.356	0.328	0.316	0.342	0.117	0.025	0.684	0.117	1.083	0.027
2	0.350	0.332	0.319	0.340	0.116	0.017	0.681	0.116	1.055	0.018
2	0.365	0.335	0.300	0.350	0.122	0.027	0.700	0.122	1.088	0.030
2	0.354	0.337	0.309	0.345	0.119	0.017	0.691	0.119	1.052	0.018
2	0.354	0.332	0.314	0.343	0.118	0.021	0.686	0.118	1.067	0.022
1	0.360	0.333	0.306	0.347	0.120	0.025	0.694	0.120	1.081	0.027
1	0.358	0.335	0.308	0.346	0.120	0.022	0.692	0.120	1.069	0.023
2	0.347	0.344	0.309	0.346	0.119	0.003	0.691	0.119	1.008	0.003
12	0.330	0.336	0.334	0.333	0.111	-0.005	0.666	0.111	0.984	0.005
10	0.343	0.329	0.327	0.336	0.113	0.013	0.673	0.113	1.042	0.014
8	0.330	0.337	0.333	0.334	0.111	-0.007	0.667	0.111	0.980	0.007
7	0.331	0.335	0.335	0.333	0.111	-0.004	0.665	0.111	0.988	0.004
2	0.448	0.313	0.239	0.375	0.140	0.094	0.761	0.140	1.431	0.135

Ec30	r	g	b	$\sqrt{r \times g}$	$\sqrt{r^2 \times g^2}$	$\frac{(r - g)}{(r \div g)}$	r + g	r × g	$\frac{r}{g}$	r - g
0	0.386	0.331	0.283	0.357	0.128	0.048	0.717	0.128	1.169	0.056
1	0.358	0.330	0.312	0.344	0.118	0.026	0.688	0.118	1.084	0.028
1	0.339	0.334	0.327	0.336	0.113	0.005	0.673	0.113	1.015	0.005
4	0.332	0.332	0.336	0.332	0.110	0.000	0.664	0.110	1.000	0.000
1	0.404	0.308	0.288	0.353	0.124	0.073	0.712	0.124	1.312	0.096
1	0.433	0.311	0.256	0.367	0.135	0.087	0.744	0.135	1.389	0.121
1	0.430	0.317	0.253	0.369	0.136	0.083	0.747	0.136	1.357	0.113
1	0.350	0.314	0.336	0.331	0.110	0.033	0.664	0.110	1.117	0.037
1	0.357	0.330	0.313	0.343	0.118	0.024	0.687	0.118	1.079	0.026
4	0.369	0.329	0.302	0.348	0.121	0.036	0.698	0.121	1.122	0.040
1	0.350	0.327	0.323	0.338	0.114	0.021	0.677	0.114	1.069	0.022
3	0.354	0.330	0.316	0.342	0.117	0.023	0.684	0.117	1.074	0.025
2	0.345	0.336	0.320	0.340	0.116	0.009	0.680	0.116	1.026	0.009
1	0.358	0.331	0.310	0.345	0.119	0.025	0.690	0.119	1.081	0.027
1	0.362	0.345	0.293	0.353	0.125	0.017	0.707	0.125	1.050	0.017
1	0.361	0.339	0.300	0.350	0.122	0.021	0.700	0.122	1.065	0.022
1	0.381	0.334	0.285	0.357	0.127	0.041	0.715	0.127	1.141	0.047
1	0.360	0.338	0.302	0.349	0.122	0.020	0.698	0.122	1.063	0.021
1	0.377	0.343	0.280	0.360	0.129	0.031	0.720	0.129	1.099	0.034
0	0.358	0.343	0.299	0.350	0.123	0.015	0.701	0.123	1.045	0.015
1	0.361	0.345	0.295	0.353	0.124	0.015	0.705	0.124	1.046	0.016
0	0.366	0.333	0.302	0.349	0.122	0.030	0.698	0.122	1.099	0.033
0	0.344	0.340	0.315	0.342	0.117	0.004	0.685	0.117	1.011	0.004
1	0.364	0.328	0.308	0.346	0.120	0.032	0.692	0.120	1.108	0.036
1	0.378	0.327	0.295	0.351	0.124	0.044	0.705	0.124	1.155	0.051
0	0.389	0.321	0.290	0.353	0.125	0.056	0.710	0.125	1.212	0.068
0	0.374	0.327	0.299	0.350	0.122	0.041	0.701	0.122	1.145	0.047
1	0.384	0.328	0.288	0.355	0.126	0.048	0.712	0.126	1.172	0.056

Ec30	r	g	b	$\sqrt{r \times g}$	$\sqrt{r^2 \times g^2}$	$\frac{(r - g)}{(r \div g)}$	r + g	r × g	$\frac{r}{g}$	r - g
1	0.365	0.332	0.302	0.348	0.121	0.030	0.698	0.121	1.098	0.033
1	0.364	0.334	0.302	0.349	0.122	0.028	0.698	0.122	1.090	0.030
2	0.333	0.336	0.331	0.334	0.112	-0.004	0.669	0.112	0.990	0.003
3	0.335	0.335	0.331	0.335	0.112	0.000	0.669	0.112	1.000	0.000
2	0.349	0.330	0.320	0.340	0.115	0.018	0.680	0.115	1.058	0.019
2	0.345	0.335	0.320	0.340	0.116	0.009	0.680	0.116	1.028	0.009
2	0.363	0.330	0.307	0.346	0.120	0.030	0.693	0.120	1.100	0.033
2	0.352	0.335	0.313	0.343	0.118	0.016	0.687	0.118	1.049	0.016
4	0.352	0.335	0.313	0.344	0.118	0.016	0.688	0.118	1.050	0.017
2	0.348	0.335	0.317	0.341	0.116	0.012	0.683	0.116	1.037	0.012
0	0.365	0.331	0.304	0.348	0.121	0.031	0.696	0.121	1.103	0.034
1	0.364	0.333	0.303	0.348	0.121	0.028	0.697	0.121	1.092	0.031
1	0.354	0.329	0.317	0.341	0.116	0.023	0.683	0.116	1.075	0.025
1	0.355	0.339	0.306	0.347	0.120	0.016	0.694	0.120	1.048	0.016
2	0.347	0.335	0.318	0.341	0.116	0.011	0.682	0.116	1.034	0.011
2	0.350	0.330	0.321	0.339	0.115	0.019	0.679	0.115	1.061	0.020
2	0.349	0.334	0.317	0.341	0.117	0.014	0.683	0.117	1.045	0.015
1	0.388	0.322	0.289	0.354	0.125	0.055	0.711	0.125	1.204	0.066
1	0.360	0.329	0.311	0.344	0.118	0.028	0.689	0.118	1.093	0.030
2	0.362	0.329	0.309	0.345	0.119	0.030	0.691	0.119	1.100	0.033
1	0.430	0.317	0.253	0.369	0.136	0.083	0.747	0.136	1.356	0.113
3	0.345	0.333	0.322	0.339	0.115	0.012	0.678	0.115	1.037	0.012
3	0.356	0.332	0.311	0.344	0.118	0.023	0.689	0.118	1.073	0.024
1	0.351	0.341	0.308	0.346	0.120	0.010	0.692	0.120	1.029	0.010
1	0.355	0.341	0.305	0.348	0.121	0.013	0.695	0.121	1.041	0.014
1	0.340	0.342	0.319	0.341	0.116	-0.002	0.681	0.116	0.994	0.002
1	0.351	0.335	0.314	0.343	0.118	0.015	0.686	0.118	1.047	0.016
1	0.349	0.336	0.314	0.343	0.117	0.012	0.686	0.117	1.038	0.013

Ec30	r	g	b	$\sqrt{r \times g}$	$\sqrt{r^2 \times g^2}$	$\frac{(r - g)}{(r \div g)}$	r + g	r × g	$\frac{r}{g}$	r - g
1	0.354	0.342	0.304	0.348	0.121	0.011	0.696	0.121	1.034	0.012
2	0.358	0.331	0.312	0.344	0.118	0.025	0.688	0.118	1.083	0.027
2	0.354	0.334	0.313	0.344	0.118	0.019	0.687	0.118	1.059	0.020
1	0.351	0.332	0.318	0.341	0.116	0.018	0.682	0.116	1.058	0.019
2	0.348	0.339	0.313	0.343	0.118	0.008	0.687	0.118	1.026	0.009
1	0.340	0.338	0.322	0.339	0.115	0.002	0.678	0.115	1.005	0.002
2	0.340	0.335	0.325	0.337	0.114	0.005	0.675	0.114	1.015	0.005
13	0.346	0.338	0.316	0.342	0.117	0.008	0.684	0.117	1.025	0.008

ตารางที่ 15 ค่าสacheท้อนแสงที่ปรับแก้ค่าสacheท้อนแสง และค่าดัชนีต่างๆ จากโปรแกรม QGIS 3.8 ที่ GSD 25 เซนติเมตร (Ec0)

Ec0	r	g	b	$\sqrt{r \times g}$	$\sqrt{r^2 \times g^2}$	$\frac{(r - g)}{(r \div g)}$	r + g	r × g	$\frac{r}{g}$	r - g
44	0.342	0.331	0.327	0.337	0.113	0.011	0.673	0.113	1.034	0.011
22	0.339	0.332	0.329	0.336	0.113	0.007	0.671	0.113	1.020	0.007
23	0.352	0.334	0.314	0.343	0.117	0.017	0.686	0.117	1.053	0.018
12	0.363	0.338	0.298	0.351	0.123	0.023	0.702	0.123	1.073	0.025
12	0.355	0.339	0.306	0.347	0.120	0.015	0.694	0.120	1.046	0.016
19	0.347	0.330	0.324	0.338	0.114	0.016	0.676	0.114	1.052	0.017
3	0.372	0.328	0.299	0.350	0.122	0.039	0.701	0.122	1.135	0.044
5	0.364	0.333	0.303	0.348	0.121	0.028	0.697	0.121	1.092	0.031
3	0.352	0.322	0.326	0.337	0.113	0.028	0.674	0.113	1.095	0.030
3	0.372	0.328	0.300	0.349	0.122	0.039	0.700	0.122	1.134	0.044
13	0.355	0.333	0.312	0.344	0.118	0.021	0.688	0.118	1.068	0.023
4	0.365	0.340	0.296	0.352	0.124	0.023	0.704	0.124	1.074	0.025
4	0.375	0.329	0.296	0.351	0.123	0.040	0.704	0.123	1.139	0.046
3	0.350	0.337	0.313	0.343	0.118	0.012	0.687	0.118	1.038	0.013
6	0.411	0.326	0.263	0.366	0.134	0.068	0.737	0.134	1.261	0.085
4	0.347	0.332	0.320	0.340	0.115	0.015	0.680	0.115	1.047	0.015

Ec0	r	g	b	$\sqrt{r \times g}$	$\sqrt{r^2 \times g^2}$	$\frac{(r - g)}{(r \div g)}$	r + g	r × g	$\frac{r}{g}$	r - g
5	0.360	0.337	0.303	0.348	0.121	0.022	0.697	0.121	1.071	0.024
3	0.376	0.331	0.294	0.352	0.124	0.040	0.706	0.124	1.137	0.045
3	0.380	0.340	0.280	0.360	0.129	0.035	0.720	0.129	1.116	0.040
1	0.392	0.345	0.263	0.368	0.135	0.041	0.737	0.135	1.136	0.047
2	0.401	0.347	0.252	0.373	0.139	0.047	0.748	0.139	1.158	0.055
2	0.381	0.334	0.284	0.357	0.128	0.041	0.716	0.128	1.140	0.047
4	0.365	0.330	0.304	0.347	0.121	0.031	0.696	0.121	1.105	0.035
4	0.362	0.335	0.303	0.348	0.121	0.025	0.697	0.121	1.081	0.027
5	0.352	0.330	0.318	0.341	0.116	0.020	0.682	0.116	1.065	0.022
3	0.377	0.326	0.297	0.351	0.123	0.044	0.703	0.123	1.155	0.050
4	0.359	0.329	0.312	0.344	0.118	0.028	0.688	0.118	1.094	0.031
3	0.338	0.336	0.326	0.337	0.114	0.002	0.674	0.114	1.006	0.002
2	0.382	0.363	0.255	0.373	0.139	0.018	0.745	0.139	1.052	0.019
4	0.335	0.337	0.328	0.336	0.113	-0.002	0.672	0.113	0.995	0.002
3	0.374	0.340	0.286	0.357	0.127	0.031	0.714	0.127	1.099	0.034
6	0.382	0.332	0.286	0.356	0.127	0.044	0.714	0.127	1.153	0.051
4	0.382	0.326	0.292	0.353	0.125	0.047	0.708	0.125	1.169	0.055
8	0.361	0.354	0.285	0.358	0.128	0.007	0.715	0.128	1.020	0.007
18	0.391	0.327	0.282	0.358	0.128	0.054	0.718	0.128	1.196	0.064
61	0.360	0.327	0.314	0.343	0.118	0.030	0.686	0.118	1.102	0.033
60	0.359	0.336	0.305	0.347	0.121	0.021	0.695	0.121	1.066	0.022
13	0.368	0.338	0.294	0.352	0.124	0.028	0.706	0.124	1.090	0.030
61	0.361	0.334	0.305	0.347	0.121	0.025	0.695	0.121	1.081	0.027
10	0.353	0.328	0.319	0.340	0.116	0.022	0.681	0.116	1.073	0.024
5	0.354	0.337	0.309	0.345	0.119	0.016	0.691	0.119	1.050	0.017
6	0.359	0.335	0.306	0.347	0.120	0.023	0.694	0.120	1.073	0.024
3	0.359	0.333	0.308	0.346	0.120	0.024	0.692	0.120	1.077	0.026
60	0.331	0.335	0.334	0.333	0.111	-0.004	0.666	0.111	0.987	0.004

Ec0	r	g	b	$\sqrt{r \times g}$	$\sqrt{r^2 \times g^2}$	$\frac{(r - g)}{(r \div g)}$	r + g	r × g	$\frac{r}{g}$	r - g
60	0.347	0.329	0.325	0.338	0.114	0.017	0.675	0.114	1.054	0.018
50	0.334	0.337	0.329	0.335	0.112	-0.003	0.671	0.112	0.991	0.003
40	0.335	0.333	0.332	0.334	0.112	0.001	0.668	0.112	1.004	0.001
5	0.422	0.316	0.262	0.365	0.133	0.079	0.738	0.133	1.336	0.106
1	0.387	0.332	0.281	0.359	0.129	0.047	0.719	0.129	1.167	0.055
15	0.361	0.336	0.303	0.348	0.121	0.023	0.697	0.121	1.075	0.025
50	0.338	0.331	0.331	0.334	0.112	0.007	0.669	0.112	1.021	0.007
40	0.333	0.333	0.333	0.333	0.111	0.000	0.667	0.111	1.000	0.000
3	0.413	0.300	0.286	0.352	0.124	0.082	0.714	0.124	1.376	0.113
4	0.411	0.311	0.278	0.357	0.128	0.076	0.722	0.128	1.325	0.101
6	0.412	0.320	0.268	0.363	0.132	0.071	0.732	0.132	1.287	0.092
2	0.352	0.328	0.320	0.340	0.116	0.022	0.680	0.116	1.071	0.023
2	0.353	0.326	0.321	0.339	0.115	0.025	0.679	0.115	1.081	0.027
20	0.367	0.330	0.303	0.348	0.121	0.034	0.697	0.121	1.114	0.037
30	0.349	0.333	0.318	0.341	0.116	0.015	0.682	0.116	1.047	0.016
30	0.352	0.327	0.321	0.339	0.115	0.022	0.679	0.115	1.074	0.024
20	0.340	0.336	0.324	0.338	0.114	0.005	0.676	0.114	1.015	0.005
12	0.351	0.338	0.312	0.344	0.118	0.013	0.688	0.118	1.039	0.013
4	0.364	0.334	0.302	0.349	0.122	0.028	0.698	0.122	1.090	0.030
4	0.357	0.338	0.305	0.347	0.121	0.018	0.695	0.121	1.055	0.019
4	0.374	0.337	0.289	0.355	0.126	0.033	0.711	0.126	1.110	0.037
1	0.360	0.336	0.304	0.348	0.121	0.022	0.696	0.121	1.071	0.024
1	0.364	0.336	0.301	0.349	0.122	0.026	0.699	0.122	1.083	0.028
17	0.350	0.341	0.310	0.345	0.119	0.009	0.690	0.119	1.026	0.009
4	0.368	0.341	0.290	0.355	0.126	0.025	0.710	0.126	1.079	0.027
1	0.371	0.334	0.295	0.352	0.124	0.033	0.705	0.124	1.111	0.037
5	0.347	0.338	0.315	0.343	0.117	0.009	0.685	0.117	1.028	0.010
4	0.367	0.332	0.301	0.349	0.122	0.032	0.699	0.122	1.106	0.035

$E_{c0}$	r	g	b	$\sqrt{r \times g}$	$\sqrt{r^2 \times g^2}$	$\frac{(r - g)}{(r \div g)}$	$r + g$	$r \times g$	$\frac{r}{g}$	$r - g$
5	0.348	0.336	0.315	0.342	0.117	0.011	0.685	0.117	1.035	0.012
0	0.378	0.325	0.297	0.351	0.123	0.046	0.703	0.123	1.164	0.053
1	0.377	0.332	0.291	0.354	0.125	0.040	0.709	0.125	1.137	0.045
1	0.382	0.330	0.288	0.355	0.126	0.045	0.712	0.126	1.159	0.052
1	0.376	0.335	0.289	0.355	0.126	0.036	0.711	0.126	1.122	0.041
2	0.372	0.328	0.300	0.349	0.122	0.039	0.700	0.122	1.136	0.044
13	0.334	0.334	0.332	0.334	0.111	0.000	0.668	0.111	1.000	0.000
30	0.342	0.335	0.323	0.339	0.115	0.006	0.677	0.115	1.019	0.006
30	0.347	0.335	0.319	0.341	0.116	0.011	0.681	0.116	1.036	0.012
30	0.342	0.336	0.322	0.339	0.115	0.006	0.678	0.115	1.018	0.006
13	0.362	0.332	0.306	0.347	0.120	0.028	0.694	0.120	1.091	0.030
17	0.349	0.336	0.315	0.342	0.117	0.012	0.685	0.117	1.038	0.013
40	0.358	0.334	0.308	0.346	0.120	0.023	0.692	0.120	1.072	0.024
40	0.351	0.334	0.315	0.342	0.117	0.016	0.685	0.117	1.051	0.017
1	0.363	0.335	0.302	0.349	0.122	0.026	0.698	0.122	1.085	0.028
10	0.363	0.335	0.303	0.348	0.121	0.026	0.697	0.121	1.083	0.028
4	0.353	0.333	0.315	0.342	0.117	0.019	0.685	0.117	1.060	0.020
2	0.355	0.337	0.308	0.346	0.120	0.017	0.692	0.120	1.052	0.017
10	0.349	0.335	0.316	0.342	0.117	0.013	0.684	0.117	1.041	0.014
7	0.344	0.334	0.322	0.339	0.115	0.009	0.678	0.115	1.029	0.010
17	0.340	0.332	0.328	0.336	0.113	0.008	0.672	0.113	1.024	0.008
15	0.374	0.331	0.295	0.352	0.124	0.038	0.705	0.124	1.129	0.043
9	0.359	0.329	0.311	0.344	0.118	0.028	0.689	0.118	1.091	0.030
15	0.372	0.333	0.295	0.352	0.124	0.035	0.705	0.124	1.116	0.039
4	0.425	0.322	0.253	0.370	0.137	0.078	0.747	0.137	1.319	0.103
20	0.351	0.333	0.316	0.342	0.117	0.017	0.684	0.117	1.055	0.018
30	0.357	0.331	0.313	0.343	0.118	0.024	0.687	0.118	1.078	0.026
20	0.365	0.333	0.302	0.349	0.122	0.030	0.698	0.122	1.099	0.033

Ec0	r	g	b	$\sqrt{r \times g}$	$\sqrt{r^2 \times g^2}$	$\frac{(r - g)}{(r \div g)}$	r + g	r × g	$\frac{r}{g}$	r - g
20	0.351	0.337	0.312	0.344	0.118	0.014	0.688	0.118	1.043	0.015
20	0.335	0.341	0.324	0.338	0.114	-0.006	0.676	0.114	0.981	0.006
12	0.351	0.333	0.315	0.342	0.117	0.017	0.685	0.117	1.054	0.018
12	0.346	0.337	0.317	0.341	0.117	0.009	0.683	0.117	1.029	0.010
30	0.356	0.339	0.305	0.347	0.121	0.017	0.695	0.121	1.053	0.018
20	0.360	0.332	0.308	0.346	0.120	0.026	0.692	0.120	1.084	0.028
40	0.352	0.333	0.315	0.342	0.117	0.018	0.685	0.117	1.057	0.019
15	0.343	0.340	0.317	0.341	0.116	0.003	0.683	0.116	1.010	0.003
30	0.350	0.335	0.316	0.342	0.117	0.014	0.684	0.117	1.045	0.015
12	0.342	0.333	0.325	0.337	0.114	0.008	0.675	0.114	1.025	0.008
20	0.340	0.336	0.324	0.338	0.114	0.003	0.676	0.114	1.009	0.003
40	0.348	0.338	0.314	0.343	0.118	0.010	0.686	0.118	1.031	0.010

ตารางที่ 16 ค่าสหท้อนแสงที่ปรับแก้ค่าสหท้อนแสง และค่าดัชนีต่างๆ จากโปรแกรม QGIS 3.8 ที่ GSD 25 เมตร (Ec30)

Ec30	r	g	b	$\sqrt{r \times g}$	$\sqrt{r^2 \times g^2}$	$\frac{(r - g)}{(r \div g)}$	r + g	r × g	$\frac{r}{g}$	r - g
4	0.342	0.331	0.327	0.337	0.113	0.011	0.673	0.113	1.034	0.011
3	0.339	0.332	0.329	0.336	0.113	0.007	0.671	0.113	1.020	0.007
4	0.352	0.334	0.314	0.343	0.117	0.017	0.686	0.117	1.053	0.018
3	0.363	0.338	0.298	0.351	0.123	0.023	0.702	0.123	1.073	0.025
2	0.355	0.339	0.306	0.347	0.120	0.015	0.694	0.120	1.046	0.016
6	0.347	0.330	0.324	0.338	0.114	0.016	0.676	0.114	1.052	0.017
1	0.372	0.328	0.299	0.350	0.122	0.039	0.701	0.122	1.135	0.044
1	0.364	0.333	0.303	0.348	0.121	0.028	0.697	0.121	1.092	0.031
2	0.352	0.322	0.326	0.337	0.113	0.028	0.674	0.113	1.095	0.030
2	0.372	0.328	0.300	0.349	0.122	0.039	0.700	0.122	1.134	0.044
4	0.355	0.333	0.312	0.344	0.118	0.021	0.688	0.118	1.068	0.023
2	0.365	0.340	0.296	0.352	0.124	0.023	0.704	0.124	1.074	0.025

Ec30	r	g	b	$\sqrt{r \times g}$	$\sqrt{r^2 \times g^2}$	$\frac{(r - g)}{(r \div g)}$	r + g	r × g	$\frac{r}{g}$	r - g
2	0.375	0.329	0.296	0.351	0.123	0.040	0.704	0.123	1.139	0.046
1	0.350	0.337	0.313	0.343	0.118	0.012	0.687	0.118	1.038	0.013
3	0.411	0.326	0.263	0.366	0.134	0.068	0.737	0.134	1.261	0.085
2	0.347	0.332	0.320	0.340	0.115	0.015	0.680	0.115	1.047	0.015
3	0.360	0.337	0.303	0.348	0.121	0.022	0.697	0.121	1.071	0.024
2	0.376	0.331	0.294	0.352	0.124	0.040	0.706	0.124	1.137	0.045
2	0.380	0.340	0.280	0.360	0.129	0.035	0.720	0.129	1.116	0.040
1	0.392	0.345	0.263	0.368	0.135	0.041	0.737	0.135	1.136	0.047
1	0.401	0.347	0.252	0.373	0.139	0.047	0.748	0.139	1.158	0.055
1	0.381	0.334	0.284	0.357	0.128	0.041	0.716	0.128	1.140	0.047
2	0.365	0.330	0.304	0.347	0.121	0.031	0.696	0.121	1.105	0.035
1	0.362	0.335	0.303	0.348	0.121	0.025	0.697	0.121	1.081	0.027
2	0.352	0.330	0.318	0.341	0.116	0.020	0.682	0.116	1.065	0.022
2	0.377	0.326	0.297	0.351	0.123	0.044	0.703	0.123	1.155	0.050
1	0.359	0.329	0.312	0.344	0.118	0.028	0.688	0.118	1.094	0.031
1	0.338	0.336	0.326	0.337	0.114	0.002	0.674	0.114	1.006	0.002
2	0.382	0.363	0.255	0.373	0.139	0.018	0.745	0.139	1.052	0.019
2	0.335	0.337	0.328	0.336	0.113	-0.002	0.672	0.113	0.995	0.002
1	0.374	0.340	0.286	0.357	0.127	0.031	0.714	0.127	1.099	0.034
3	0.382	0.332	0.286	0.356	0.127	0.044	0.714	0.127	1.153	0.051
2	0.382	0.326	0.292	0.353	0.125	0.047	0.708	0.125	1.169	0.055
2	0.361	0.354	0.285	0.358	0.128	0.007	0.715	0.128	1.020	0.007
2	0.391	0.327	0.282	0.358	0.128	0.054	0.718	0.128	1.196	0.064
5	0.360	0.327	0.314	0.343	0.118	0.030	0.686	0.118	1.102	0.033
2	0.359	0.336	0.305	0.347	0.121	0.021	0.695	0.121	1.066	0.022
2	0.368	0.338	0.294	0.352	0.124	0.028	0.706	0.124	1.090	0.030
2	0.361	0.334	0.305	0.347	0.121	0.025	0.695	0.121	1.081	0.027
2	0.353	0.328	0.319	0.340	0.116	0.022	0.681	0.116	1.073	0.024

Ec30	r	g	b	$\sqrt{r \times g}$	$\sqrt{r^2 \times g^2}$	$\frac{(r - g)}{(r \div g)}$	r + g	r × g	$\frac{r}{g}$	r - g
1	0.354	0.337	0.309	0.345	0.119	0.016	0.691	0.119	1.050	0.017
1	0.359	0.335	0.306	0.347	0.120	0.023	0.694	0.120	1.073	0.024
2	0.359	0.333	0.308	0.346	0.120	0.024	0.692	0.120	1.077	0.026
12	0.331	0.335	0.334	0.333	0.111	-0.004	0.666	0.111	0.987	0.004
10	0.347	0.329	0.325	0.338	0.114	0.017	0.675	0.114	1.054	0.018
8	0.334	0.337	0.329	0.335	0.112	-0.003	0.671	0.112	0.991	0.003
7	0.335	0.333	0.332	0.334	0.112	0.001	0.668	0.112	1.004	0.001
2	0.422	0.316	0.262	0.365	0.133	0.079	0.738	0.133	1.336	0.106
0	0.387	0.332	0.281	0.359	0.129	0.047	0.719	0.129	1.167	0.055
1	0.361	0.336	0.303	0.348	0.121	0.023	0.697	0.121	1.075	0.025
1	0.338	0.331	0.331	0.334	0.112	0.007	0.669	0.112	1.021	0.007
4	0.333	0.333	0.333	0.333	0.111	0.000	0.667	0.111	1.000	0.000
1	0.413	0.300	0.286	0.352	0.124	0.082	0.714	0.124	1.376	0.113
1	0.411	0.311	0.278	0.357	0.128	0.076	0.722	0.128	1.325	0.101
1	0.412	0.320	0.268	0.363	0.132	0.071	0.732	0.132	1.287	0.092
1	0.352	0.328	0.320	0.340	0.116	0.022	0.680	0.116	1.071	0.023
1	0.353	0.326	0.321	0.339	0.115	0.025	0.679	0.115	1.081	0.027
4	0.367	0.330	0.303	0.348	0.121	0.034	0.697	0.121	1.114	0.037
1	0.349	0.333	0.318	0.341	0.116	0.015	0.682	0.116	1.047	0.016
3	0.352	0.327	0.321	0.339	0.115	0.022	0.679	0.115	1.074	0.024
2	0.340	0.336	0.324	0.338	0.114	0.005	0.676	0.114	1.015	0.005
1	0.351	0.338	0.312	0.344	0.118	0.013	0.688	0.118	1.039	0.013
1	0.364	0.334	0.302	0.349	0.122	0.028	0.698	0.122	1.090	0.030
1	0.357	0.338	0.305	0.347	0.121	0.018	0.695	0.121	1.055	0.019
1	0.374	0.337	0.289	0.355	0.126	0.033	0.711	0.126	1.110	0.037
1	0.360	0.336	0.304	0.348	0.121	0.022	0.696	0.121	1.071	0.024
1	0.364	0.336	0.301	0.349	0.122	0.026	0.699	0.122	1.083	0.028
0	0.350	0.341	0.310	0.345	0.119	0.009	0.690	0.119	1.026	0.009

Ec30	r	g	b	$\sqrt{r \times g}$	$\sqrt{r^2 \times g^2}$	$\frac{(r - g)}{(r \div g)}$	r + g	r × g	$\frac{r}{g}$	r - g
1	0.368	0.341	0.290	0.355	0.126	0.025	0.710	0.126	1.079	0.027
0	0.371	0.334	0.295	0.352	0.124	0.033	0.705	0.124	1.111	0.037
0	0.347	0.338	0.315	0.343	0.117	0.009	0.685	0.117	1.028	0.010
1	0.367	0.332	0.301	0.349	0.122	0.032	0.699	0.122	1.106	0.035
1	0.348	0.336	0.315	0.342	0.117	0.011	0.685	0.117	1.035	0.012
0	0.378	0.325	0.297	0.351	0.123	0.046	0.703	0.123	1.164	0.053
0	0.377	0.332	0.291	0.354	0.125	0.040	0.709	0.125	1.137	0.045
1	0.382	0.330	0.288	0.355	0.126	0.045	0.712	0.126	1.159	0.052
1	0.376	0.335	0.289	0.355	0.126	0.036	0.711	0.126	1.122	0.041
1	0.372	0.328	0.300	0.349	0.122	0.039	0.700	0.122	1.136	0.044
2	0.334	0.334	0.332	0.334	0.111	0.000	0.668	0.111	1.000	0.000
3	0.342	0.335	0.323	0.339	0.115	0.006	0.677	0.115	1.019	0.006
2	0.347	0.335	0.319	0.341	0.116	0.011	0.681	0.116	1.036	0.012
2	0.342	0.336	0.322	0.339	0.115	0.006	0.678	0.115	1.018	0.006
2	0.362	0.332	0.306	0.347	0.120	0.028	0.694	0.120	1.091	0.030
2	0.349	0.336	0.315	0.342	0.117	0.012	0.685	0.117	1.038	0.013
4	0.358	0.334	0.308	0.346	0.120	0.023	0.692	0.120	1.072	0.024
2	0.351	0.334	0.315	0.342	0.117	0.016	0.685	0.117	1.051	0.017
0	0.363	0.335	0.302	0.349	0.122	0.026	0.698	0.122	1.085	0.028
1	0.363	0.335	0.303	0.348	0.121	0.026	0.697	0.121	1.083	0.028
1	0.353	0.333	0.315	0.342	0.117	0.019	0.685	0.117	1.060	0.020
1	0.355	0.337	0.308	0.346	0.120	0.017	0.692	0.120	1.052	0.017
2	0.349	0.335	0.316	0.342	0.117	0.013	0.684	0.117	1.041	0.014
2	0.344	0.334	0.322	0.339	0.115	0.009	0.678	0.115	1.029	0.010
2	0.340	0.332	0.328	0.336	0.113	0.008	0.672	0.113	1.024	0.008
1	0.374	0.331	0.295	0.352	0.124	0.038	0.705	0.124	1.129	0.043
1	0.359	0.329	0.311	0.344	0.118	0.028	0.689	0.118	1.091	0.030
2	0.372	0.333	0.295	0.352	0.124	0.035	0.705	0.124	1.116	0.039

Ec30	r	g	b	$\sqrt{r \times g}$	$\sqrt{r^2 \times g^2}$	$\frac{(r - g)}{(r \div g)}$	r + g	r × g	$\frac{r}{g}$	r - g
1	0.425	0.322	0.253	0.370	0.137	0.078	0.747	0.137	1.319	0.103
3	0.351	0.333	0.316	0.342	0.117	0.017	0.684	0.117	1.055	0.018
3	0.357	0.331	0.313	0.343	0.118	0.024	0.687	0.118	1.078	0.026
1	0.365	0.333	0.302	0.349	0.122	0.030	0.698	0.122	1.099	0.033
1	0.351	0.337	0.312	0.344	0.118	0.014	0.688	0.118	1.043	0.015
1	0.335	0.341	0.324	0.338	0.114	-0.006	0.676	0.114	0.981	0.006
1	0.351	0.333	0.315	0.342	0.117	0.017	0.685	0.117	1.054	0.018
1	0.346	0.337	0.317	0.341	0.117	0.009	0.683	0.117	1.029	0.010
1	0.356	0.339	0.305	0.347	0.121	0.017	0.695	0.121	1.053	0.018
2	0.360	0.332	0.308	0.346	0.120	0.026	0.692	0.120	1.084	0.028
2	0.352	0.333	0.315	0.342	0.117	0.018	0.685	0.117	1.057	0.019
1	0.343	0.340	0.317	0.341	0.116	0.003	0.683	0.116	1.010	0.003
2	0.350	0.335	0.316	0.342	0.117	0.014	0.684	0.117	1.045	0.015
1	0.342	0.333	0.325	0.337	0.114	0.008	0.675	0.114	1.025	0.008
2	0.340	0.336	0.324	0.338	0.114	0.003	0.676	0.114	1.009	0.003
13	0.348	0.338	0.314	0.343	0.118	0.010	0.686	0.118	1.031	0.010

ตารางที่ 17 ค่าสหท้อนแสงที่ปรับแก้ค่าสหท้อนแสง และค่าดัชนีต่างๆ จากโปรแกรม QGIS 3.8 ที่ GSD 50 เมตร (Ec0)

Ec0	r	g	b	$\sqrt{r \times g}$	$\sqrt{r^2 \times g^2}$	$\frac{(r - g)}{(r \div g)}$	r + g	r × g	$\frac{r}{g}$	r - g
44	0.341	0.334	0.325	0.337	0.114	0.006	0.675	0.114	1.019	0.007
22	0.341	0.337	0.322	0.339	0.115	0.003	0.678	0.115	1.010	0.004
23	0.347	0.338	0.316	0.342	0.117	0.009	0.684	0.117	1.027	0.009
12	0.364	0.336	0.301	0.349	0.122	0.026	0.699	0.122	1.083	0.028
12	0.367	0.333	0.300	0.350	0.122	0.031	0.700	0.122	1.101	0.034
19	0.349	0.328	0.322	0.339	0.115	0.020	0.678	0.115	1.065	0.021
3	0.382	0.333	0.285	0.357	0.127	0.042	0.715	0.127	1.145	0.048
5	0.369	0.333	0.298	0.350	0.123	0.033	0.702	0.123	1.110	0.037

Ec0	r	g	b	$\sqrt{r \times g}$	$\sqrt{r^2 \times g^2}$	$\frac{(r - g)}{(r \div g)}$	r + g	r × g	$\frac{r}{g}$	r - g
3	0.345	0.331	0.324	0.338	0.114	0.014	0.676	0.114	1.044	0.015
3	0.373	0.328	0.299	0.350	0.122	0.039	0.701	0.122	1.136	0.045
13	0.352	0.335	0.313	0.344	0.118	0.016	0.687	0.118	1.051	0.017
4	0.364	0.337	0.299	0.350	0.123	0.025	0.701	0.123	1.082	0.028
4	0.375	0.333	0.292	0.353	0.125	0.038	0.708	0.125	1.128	0.043
3	0.353	0.338	0.309	0.345	0.119	0.014	0.691	0.119	1.043	0.014
6	0.393	0.331	0.275	0.361	0.130	0.052	0.725	0.130	1.188	0.062
4	0.350	0.335	0.314	0.343	0.117	0.015	0.686	0.117	1.045	0.015
5	0.370	0.335	0.294	0.352	0.124	0.032	0.706	0.124	1.104	0.035
3	0.395	0.325	0.280	0.358	0.128	0.058	0.720	0.128	1.216	0.070
3	0.385	0.342	0.273	0.363	0.132	0.039	0.727	0.132	1.128	0.044
1	0.403	0.344	0.253	0.372	0.138	0.050	0.747	0.138	1.172	0.059
2	0.396	0.337	0.267	0.365	0.134	0.051	0.733	0.134	1.177	0.060
2	0.392	0.333	0.275	0.361	0.131	0.050	0.725	0.131	1.175	0.058
4	0.370	0.328	0.302	0.348	0.121	0.037	0.698	0.121	1.126	0.041
4	0.362	0.336	0.302	0.349	0.122	0.024	0.698	0.122	1.079	0.026
5	0.354	0.329	0.317	0.341	0.116	0.023	0.683	0.116	1.074	0.024
3	0.371	0.327	0.301	0.349	0.122	0.039	0.699	0.122	1.134	0.044
4	0.361	0.335	0.304	0.348	0.121	0.024	0.696	0.121	1.077	0.026
3	0.350	0.338	0.313	0.344	0.118	0.012	0.688	0.118	1.037	0.013
2	0.380	0.352	0.268	0.366	0.134	0.026	0.732	0.134	1.080	0.028
4	0.336	0.336	0.328	0.336	0.113	0.000	0.672	0.113	1.000	0.000
3	0.373	0.345	0.282	0.359	0.129	0.027	0.718	0.129	1.083	0.029
6	0.376	0.340	0.284	0.357	0.128	0.033	0.716	0.128	1.107	0.036
4	0.388	0.326	0.287	0.355	0.126	0.052	0.713	0.126	1.190	0.062
8	0.365	0.347	0.288	0.356	0.127	0.018	0.712	0.127	1.053	0.018
18	0.388	0.328	0.284	0.357	0.127	0.051	0.716	0.127	1.182	0.060
61	0.360	0.328	0.312	0.343	0.118	0.029	0.688	0.118	1.099	0.032

Ec0	r	g	b	$\sqrt{r \times g}$	$\sqrt{r^2 \times g^2}$	$\frac{(r - g)}{(r \div g)}$	r + g	r × g	$\frac{r}{g}$	r - g
60	0.355	0.337	0.308	0.346	0.120	0.017	0.692	0.120	1.053	0.018
13	0.365	0.336	0.299	0.350	0.123	0.027	0.701	0.123	1.087	0.029
61	0.363	0.331	0.306	0.347	0.120	0.029	0.694	0.120	1.096	0.032
10	0.351	0.332	0.317	0.341	0.117	0.018	0.683	0.117	1.057	0.019
5	0.353	0.338	0.308	0.346	0.120	0.014	0.692	0.120	1.044	0.015
6	0.366	0.332	0.302	0.348	0.121	0.031	0.698	0.121	1.102	0.034
3	0.359	0.334	0.307	0.346	0.120	0.023	0.693	0.120	1.074	0.025
60	0.335	0.333	0.332	0.334	0.112	0.001	0.668	0.112	1.004	0.001
60	0.347	0.329	0.323	0.338	0.114	0.017	0.677	0.114	1.055	0.018
50	0.341	0.335	0.323	0.338	0.114	0.006	0.677	0.114	1.018	0.006
40	0.334	0.334	0.331	0.334	0.112	0.000	0.669	0.112	1.000	0.000
5	0.420	0.320	0.259	0.367	0.135	0.076	0.741	0.135	1.312	0.100
1	0.384	0.333	0.283	0.358	0.128	0.045	0.717	0.128	1.155	0.052
15	0.368	0.339	0.293	0.353	0.125	0.027	0.707	0.125	1.085	0.029
50	0.342	0.329	0.329	0.335	0.113	0.013	0.671	0.113	1.041	0.013
40	0.336	0.333	0.331	0.334	0.112	0.003	0.669	0.112	1.010	0.003
3	0.404	0.310	0.286	0.354	0.125	0.072	0.714	0.125	1.303	0.094
4	0.410	0.315	0.275	0.359	0.129	0.073	0.725	0.129	1.300	0.095
6	0.411	0.313	0.275	0.359	0.129	0.075	0.725	0.129	1.313	0.098
2	0.360	0.320	0.320	0.339	0.115	0.035	0.680	0.115	1.123	0.039
2	0.355	0.327	0.318	0.341	0.116	0.026	0.682	0.116	1.088	0.029
20	0.359	0.333	0.308	0.346	0.120	0.024	0.692	0.120	1.077	0.026
30	0.349	0.335	0.315	0.342	0.117	0.013	0.685	0.117	1.041	0.014
30	0.346	0.332	0.322	0.339	0.115	0.014	0.678	0.115	1.043	0.014
20	0.339	0.336	0.325	0.338	0.114	0.003	0.675	0.114	1.010	0.003
12	0.353	0.333	0.314	0.343	0.118	0.019	0.686	0.118	1.059	0.020
4	0.368	0.332	0.301	0.349	0.122	0.033	0.699	0.122	1.109	0.036
4	0.359	0.338	0.303	0.348	0.121	0.019	0.697	0.121	1.061	0.021

Ec0	r	g	b	$\sqrt{r \times g}$	$\sqrt{r^2 \times g^2}$	$\frac{(r - g)}{(r \div g)}$	r + g	r × g	$\frac{r}{g}$	r - g
4	0.377	0.335	0.288	0.355	0.126	0.037	0.712	0.126	1.125	0.042
1	0.365	0.336	0.300	0.350	0.122	0.027	0.700	0.122	1.087	0.029
1	0.361	0.340	0.299	0.351	0.123	0.020	0.701	0.123	1.061	0.021
17	0.355	0.334	0.311	0.344	0.119	0.020	0.689	0.119	1.063	0.021
4	0.369	0.338	0.293	0.353	0.125	0.028	0.707	0.125	1.090	0.031
1	0.368	0.331	0.301	0.349	0.122	0.034	0.699	0.122	1.113	0.037
5	0.350	0.338	0.311	0.344	0.119	0.011	0.689	0.119	1.034	0.012
4	0.371	0.332	0.297	0.351	0.123	0.035	0.703	0.123	1.119	0.040
5	0.359	0.333	0.307	0.346	0.120	0.024	0.693	0.120	1.078	0.026
0	0.373	0.325	0.303	0.348	0.121	0.042	0.697	0.121	1.147	0.048
1	0.371	0.338	0.290	0.354	0.126	0.030	0.710	0.126	1.097	0.033
1	0.390	0.335	0.275	0.362	0.131	0.047	0.725	0.131	1.164	0.055
1	0.375	0.334	0.291	0.354	0.125	0.036	0.709	0.125	1.121	0.041
2	0.363	0.332	0.305	0.347	0.120	0.029	0.695	0.120	1.096	0.032
13	0.337	0.336	0.327	0.337	0.113	0.002	0.673	0.113	1.005	0.002
30	0.340	0.342	0.319	0.341	0.116	-0.002	0.681	0.116	0.994	0.002
30	0.349	0.335	0.316	0.342	0.117	0.014	0.684	0.117	1.043	0.014
30	0.345	0.335	0.320	0.340	0.115	0.010	0.680	0.115	1.030	0.010
13	0.361	0.333	0.306	0.347	0.120	0.025	0.694	0.120	1.082	0.027
17	0.350	0.342	0.308	0.346	0.120	0.008	0.692	0.120	1.024	0.008
40	0.364	0.325	0.311	0.344	0.118	0.035	0.689	0.118	1.122	0.039
40	0.356	0.332	0.312	0.344	0.118	0.022	0.688	0.118	1.071	0.024
1	0.378	0.325	0.297	0.350	0.123	0.046	0.703	0.123	1.164	0.053
10	0.365	0.331	0.304	0.348	0.121	0.031	0.696	0.121	1.105	0.035
4	0.354	0.330	0.316	0.342	0.117	0.022	0.684	0.117	1.071	0.024
2	0.360	0.334	0.306	0.347	0.120	0.024	0.694	0.120	1.076	0.025
10	0.351	0.336	0.313	0.344	0.118	0.015	0.687	0.118	1.046	0.015
7	0.332	0.332	0.336	0.332	0.110	0.000	0.664	0.110	1.000	0.000

Ec0	r	g	b	$\sqrt{r \times g}$	$\sqrt{r^2 \times g^2}$	$\frac{(r - g)}{(r \div g)}$	r + g	r × g	$\frac{r}{g}$	r - g
17	0.344	0.336	0.319	0.340	0.116	0.008	0.681	0.116	1.025	0.008
15	0.378	0.329	0.293	0.353	0.125	0.042	0.707	0.125	1.147	0.048
9	0.357	0.331	0.312	0.344	0.118	0.025	0.688	0.118	1.080	0.027
15	0.371	0.333	0.296	0.352	0.124	0.034	0.704	0.124	1.113	0.038
4	0.424	0.318	0.258	0.367	0.135	0.080	0.742	0.135	1.336	0.107
20	0.357	0.329	0.315	0.342	0.117	0.026	0.685	0.117	1.085	0.028
30	0.356	0.334	0.310	0.345	0.119	0.021	0.690	0.119	1.067	0.022
20	0.364	0.333	0.302	0.348	0.121	0.028	0.698	0.121	1.093	0.031
20	0.358	0.335	0.307	0.346	0.120	0.022	0.693	0.120	1.070	0.023
20	0.343	0.339	0.317	0.341	0.116	0.004	0.683	0.116	1.013	0.004
12	0.353	0.333	0.313	0.343	0.118	0.019	0.687	0.118	1.060	0.020
12	0.347	0.335	0.318	0.341	0.116	0.011	0.682	0.116	1.035	0.012
30	0.354	0.338	0.308	0.346	0.120	0.015	0.692	0.120	1.048	0.016
20	0.357	0.331	0.312	0.344	0.118	0.024	0.688	0.118	1.080	0.026
40	0.352	0.331	0.317	0.342	0.117	0.020	0.683	0.117	1.065	0.021
15	0.348	0.336	0.316	0.342	0.117	0.012	0.684	0.117	1.037	0.013
30	0.352	0.334	0.314	0.343	0.118	0.017	0.686	0.118	1.055	0.018
12	0.345	0.332	0.323	0.338	0.114	0.012	0.677	0.114	1.039	0.013
20	0.342	0.338	0.320	0.340	0.116	0.003	0.680	0.116	1.010	0.003
40	0.350	0.336	0.314	0.343	0.117	0.014	0.686	0.117	1.042	0.014

ตารางที่ 18 ค่าสหท้อนแสงที่ปรับแก้ค่าสหท้อนแสง และค่าดัชนีต่างๆ จากโปรแกรม QGIS 3.8 ที่ GSD 50 เมตร (Ec30)

Ec30	r	g	b	$\sqrt{r \times g}$	$\sqrt{r^2 \times g^2}$	$\frac{(r - g)}{(r \div g)}$	r + g	r × g	$\frac{r}{g}$	r - g
4	0.341	0.334	0.325	0.337	0.114	0.006	0.675	0.114	1.019	0.007
3	0.341	0.337	0.322	0.339	0.115	0.003	0.678	0.115	1.010	0.004
4	0.347	0.338	0.316	0.342	0.117	0.009	0.684	0.117	1.027	0.009
3	0.364	0.336	0.301	0.349	0.122	0.026	0.699	0.122	1.083	0.028

Ec30	r	g	b	$\sqrt{r \times g}$	$\sqrt{r^2 \times g^2}$	$\frac{(r - g)}{(r \div g)}$	r + g	r × g	$\frac{r}{g}$	r - g
2	0.367	0.333	0.300	0.350	0.122	0.031	0.700	0.122	1.101	0.034
6	0.349	0.328	0.322	0.339	0.115	0.020	0.678	0.115	1.065	0.021
1	0.382	0.333	0.285	0.357	0.127	0.042	0.715	0.127	1.145	0.048
1	0.369	0.333	0.298	0.350	0.123	0.033	0.702	0.123	1.110	0.037
2	0.345	0.331	0.324	0.338	0.114	0.014	0.676	0.114	1.044	0.015
2	0.373	0.328	0.299	0.350	0.122	0.039	0.701	0.122	1.136	0.045
4	0.352	0.335	0.313	0.344	0.118	0.016	0.687	0.118	1.051	0.017
2	0.364	0.337	0.299	0.350	0.123	0.025	0.701	0.123	1.082	0.028
2	0.375	0.333	0.292	0.353	0.125	0.038	0.708	0.125	1.128	0.043
1	0.353	0.338	0.309	0.345	0.119	0.014	0.691	0.119	1.043	0.014
3	0.393	0.331	0.275	0.361	0.130	0.052	0.725	0.130	1.188	0.062
2	0.350	0.335	0.314	0.343	0.117	0.015	0.686	0.117	1.045	0.015
3	0.370	0.335	0.294	0.352	0.124	0.032	0.706	0.124	1.104	0.035
2	0.395	0.325	0.280	0.358	0.128	0.058	0.720	0.128	1.216	0.070
2	0.385	0.342	0.273	0.363	0.132	0.039	0.727	0.132	1.128	0.044
1	0.403	0.344	0.253	0.372	0.138	0.050	0.747	0.138	1.172	0.059
1	0.396	0.337	0.267	0.365	0.134	0.051	0.733	0.134	1.177	0.060
1	0.392	0.333	0.275	0.361	0.131	0.050	0.725	0.131	1.175	0.058
2	0.370	0.328	0.302	0.348	0.121	0.037	0.698	0.121	1.126	0.041
1	0.362	0.336	0.302	0.349	0.122	0.024	0.698	0.122	1.079	0.026
2	0.354	0.329	0.317	0.341	0.116	0.023	0.683	0.116	1.074	0.024
2	0.371	0.327	0.301	0.349	0.122	0.039	0.699	0.122	1.134	0.044
1	0.361	0.335	0.304	0.348	0.121	0.024	0.696	0.121	1.077	0.026
1	0.350	0.338	0.313	0.344	0.118	0.012	0.688	0.118	1.037	0.013
2	0.380	0.352	0.268	0.366	0.134	0.026	0.732	0.134	1.080	0.028
2	0.336	0.336	0.328	0.336	0.113	0.000	0.672	0.113	1.000	0.000
1	0.373	0.345	0.282	0.359	0.129	0.027	0.718	0.129	1.083	0.029
3	0.376	0.340	0.284	0.357	0.128	0.033	0.716	0.128	1.107	0.036

Ec30	r	g	b	$\sqrt{r \times g}$	$\sqrt{r^2 \times g^2}$	$\frac{(r - g)}{(r \div g)}$	r + g	r × g	$\frac{r}{g}$	r - g
2	0.388	0.326	0.287	0.355	0.126	0.052	0.713	0.126	1.190	0.062
2	0.365	0.347	0.288	0.356	0.127	0.018	0.712	0.127	1.053	0.018
2	0.388	0.328	0.284	0.357	0.127	0.051	0.716	0.127	1.182	0.060
5	0.360	0.328	0.312	0.343	0.118	0.029	0.688	0.118	1.099	0.032
2	0.355	0.337	0.308	0.346	0.120	0.017	0.692	0.120	1.053	0.018
2	0.365	0.336	0.299	0.350	0.123	0.027	0.701	0.123	1.087	0.029
2	0.363	0.331	0.306	0.347	0.120	0.029	0.694	0.120	1.096	0.032
2	0.351	0.332	0.317	0.341	0.117	0.018	0.683	0.117	1.057	0.019
1	0.353	0.338	0.308	0.346	0.120	0.014	0.692	0.120	1.044	0.015
1	0.366	0.332	0.302	0.348	0.121	0.031	0.698	0.121	1.102	0.034
2	0.359	0.334	0.307	0.346	0.120	0.023	0.693	0.120	1.074	0.025
12	0.335	0.333	0.332	0.334	0.112	0.001	0.668	0.112	1.004	0.001
10	0.347	0.329	0.323	0.338	0.114	0.017	0.677	0.114	1.055	0.018
8	0.341	0.335	0.323	0.338	0.114	0.006	0.677	0.114	1.018	0.006
7	0.334	0.334	0.331	0.334	0.112	0.000	0.669	0.112	1.000	0.000
2	0.420	0.320	0.259	0.367	0.135	0.076	0.741	0.135	1.312	0.100
0	0.384	0.333	0.283	0.358	0.128	0.045	0.717	0.128	1.155	0.052
1	0.368	0.339	0.293	0.353	0.125	0.027	0.707	0.125	1.085	0.029
1	0.342	0.329	0.329	0.335	0.113	0.013	0.671	0.113	1.041	0.013
4	0.336	0.333	0.331	0.334	0.112	0.003	0.669	0.112	1.010	0.003
1	0.404	0.310	0.286	0.354	0.125	0.072	0.714	0.125	1.303	0.094
1	0.410	0.315	0.275	0.359	0.129	0.073	0.725	0.129	1.300	0.095
1	0.411	0.313	0.275	0.359	0.129	0.075	0.725	0.129	1.313	0.098
1	0.360	0.320	0.320	0.339	0.115	0.035	0.680	0.115	1.123	0.039
1	0.355	0.327	0.318	0.341	0.116	0.026	0.682	0.116	1.088	0.029
4	0.359	0.333	0.308	0.346	0.120	0.024	0.692	0.120	1.077	0.026
1	0.349	0.335	0.315	0.342	0.117	0.013	0.685	0.117	1.041	0.014
3	0.346	0.332	0.322	0.339	0.115	0.014	0.678	0.115	1.043	0.014

Ec30	r	g	b	$\sqrt{r \times g}$	$\sqrt{r^2 \times g^2}$	$\frac{(r - g)}{(r \div g)}$	r + g	r × g	$\frac{r}{g}$	r - g
2	0.339	0.336	0.325	0.338	0.114	0.003	0.675	0.114	1.010	0.003
1	0.353	0.333	0.314	0.343	0.118	0.019	0.686	0.118	1.059	0.020
1	0.368	0.332	0.301	0.349	0.122	0.033	0.699	0.122	1.109	0.036
1	0.359	0.338	0.303	0.348	0.121	0.019	0.697	0.121	1.061	0.021
1	0.377	0.335	0.288	0.355	0.126	0.037	0.712	0.126	1.125	0.042
1	0.365	0.336	0.300	0.350	0.122	0.027	0.700	0.122	1.087	0.029
1	0.361	0.340	0.299	0.351	0.123	0.020	0.701	0.123	1.061	0.021
0	0.355	0.334	0.311	0.344	0.119	0.020	0.689	0.119	1.063	0.021
1	0.369	0.338	0.293	0.353	0.125	0.028	0.707	0.125	1.090	0.031
0	0.368	0.331	0.301	0.349	0.122	0.034	0.699	0.122	1.113	0.037
0	0.350	0.338	0.311	0.344	0.119	0.011	0.689	0.119	1.034	0.012
1	0.371	0.332	0.297	0.351	0.123	0.035	0.703	0.123	1.119	0.040
1	0.359	0.333	0.307	0.346	0.120	0.024	0.693	0.120	1.078	0.026
0	0.373	0.325	0.303	0.348	0.121	0.042	0.697	0.121	1.147	0.048
0	0.371	0.338	0.290	0.354	0.126	0.030	0.710	0.126	1.097	0.033
1	0.390	0.335	0.275	0.362	0.131	0.047	0.725	0.131	1.164	0.055
1	0.375	0.334	0.291	0.354	0.125	0.036	0.709	0.125	1.121	0.041
1	0.363	0.332	0.305	0.347	0.120	0.029	0.695	0.120	1.096	0.032
2	0.337	0.336	0.327	0.337	0.113	0.002	0.673	0.113	1.005	0.002
3	0.340	0.342	0.319	0.341	0.116	-0.002	0.681	0.116	0.994	0.002
2	0.349	0.335	0.316	0.342	0.117	0.014	0.684	0.117	1.043	0.014
2	0.345	0.335	0.320	0.340	0.115	0.010	0.680	0.115	1.030	0.010
2	0.361	0.333	0.306	0.347	0.120	0.025	0.694	0.120	1.082	0.027
2	0.350	0.342	0.308	0.346	0.120	0.008	0.692	0.120	1.024	0.008
4	0.364	0.325	0.311	0.344	0.118	0.035	0.689	0.118	1.122	0.039
2	0.356	0.332	0.312	0.344	0.118	0.022	0.688	0.118	1.071	0.024
0	0.378	0.325	0.297	0.350	0.123	0.046	0.703	0.123	1.164	0.053
1	0.365	0.331	0.304	0.348	0.121	0.031	0.696	0.121	1.105	0.035

Ec30	r	g	b	$\sqrt{r \times g}$	$\sqrt{r^2 \times g^2}$	$\frac{(r - g)}{(r \div g)}$	r + g	r × g	$\frac{r}{g}$	r - g
1	0.354	0.330	0.316	0.342	0.117	0.022	0.684	0.117	1.071	0.024
1	0.360	0.334	0.306	0.347	0.120	0.024	0.694	0.120	1.076	0.025
2	0.351	0.336	0.313	0.344	0.118	0.015	0.687	0.118	1.046	0.015
2	0.332	0.332	0.336	0.332	0.110	0.000	0.664	0.110	1.000	0.000
2	0.344	0.336	0.319	0.340	0.116	0.008	0.681	0.116	1.025	0.008
1	0.378	0.329	0.293	0.353	0.125	0.042	0.707	0.125	1.147	0.048
1	0.357	0.331	0.312	0.344	0.118	0.025	0.688	0.118	1.080	0.027
2	0.371	0.333	0.296	0.352	0.124	0.034	0.704	0.124	1.113	0.038
1	0.424	0.318	0.258	0.367	0.135	0.080	0.742	0.135	1.336	0.107
3	0.357	0.329	0.315	0.342	0.117	0.026	0.685	0.117	1.085	0.028
3	0.356	0.334	0.310	0.345	0.119	0.021	0.690	0.119	1.067	0.022
1	0.364	0.333	0.302	0.348	0.121	0.028	0.698	0.121	1.093	0.031
1	0.358	0.335	0.307	0.346	0.120	0.022	0.693	0.120	1.070	0.023
1	0.343	0.339	0.317	0.341	0.116	0.004	0.683	0.116	1.013	0.004
1	0.353	0.333	0.313	0.343	0.118	0.019	0.687	0.118	1.060	0.020
1	0.347	0.335	0.318	0.341	0.116	0.011	0.682	0.116	1.035	0.012
1	0.354	0.338	0.308	0.346	0.120	0.015	0.692	0.120	1.048	0.016
2	0.357	0.331	0.312	0.344	0.118	0.024	0.688	0.118	1.080	0.026
2	0.352	0.331	0.317	0.342	0.117	0.020	0.683	0.117	1.065	0.021
1	0.348	0.336	0.316	0.342	0.117	0.012	0.684	0.117	1.037	0.013
2	0.352	0.334	0.314	0.343	0.118	0.017	0.686	0.118	1.055	0.018
1	0.345	0.332	0.323	0.338	0.114	0.012	0.677	0.114	1.039	0.013
2	0.342	0.338	0.320	0.340	0.116	0.003	0.680	0.116	1.010	0.003
13	0.350	0.336	0.314	0.343	0.117	0.014	0.686	0.117	1.042	0.014

ตารางที่ 19 ค่าสังห์ท้อนแสงที่ปรับแก้ค่าสังห์ท้อนแสง และค่าดัชนีต่างๆ จากโปรแกรม QGIS 3.8 ที่ GSD 100 เมตร (Ec0)

$E_{c0}$	$r$	$g$	$b$	$\sqrt{r \times g}$	$\sqrt{r^2 \times g^2}$	$\frac{(r - g)}{(r \div g)}$	$r + g$	$r \times g$	$\frac{r}{g}$	$r - g$
44	0.348	0.332	0.321	0.340	0.115	0.015	0.679	0.115	1.047	0.016
22	0.355	0.333	0.312	0.344	0.118	0.020	0.688	0.118	1.064	0.021
23	0.351	0.336	0.313	0.344	0.118	0.014	0.687	0.118	1.043	0.015
12	0.366	0.333	0.300	0.349	0.122	0.030	0.700	0.122	1.099	0.033
12	0.370	0.333	0.297	0.351	0.123	0.033	0.703	0.123	1.109	0.036
19	0.354	0.331	0.314	0.343	0.117	0.022	0.686	0.117	1.070	0.023
3	0.380	0.338	0.281	0.359	0.129	0.037	0.719	0.129	1.124	0.042
5	0.372	0.331	0.297	0.351	0.123	0.036	0.703	0.123	1.124	0.041
3	0.343	0.333	0.323	0.338	0.114	0.010	0.677	0.114	1.030	0.010
3	0.370	0.328	0.302	0.349	0.121	0.037	0.698	0.121	1.129	0.042
13	0.353	0.335	0.312	0.344	0.118	0.018	0.688	0.118	1.056	0.019
4	0.374	0.336	0.290	0.354	0.125	0.034	0.710	0.125	1.113	0.038
4	0.378	0.334	0.288	0.355	0.126	0.038	0.712	0.126	1.130	0.043
3	0.361	0.337	0.302	0.349	0.122	0.023	0.698	0.122	1.072	0.024
6	0.384	0.332	0.285	0.357	0.127	0.045	0.715	0.127	1.157	0.052
4	0.351	0.337	0.312	0.344	0.118	0.014	0.688	0.118	1.042	0.014
5	0.380	0.337	0.283	0.358	0.128	0.038	0.717	0.128	1.129	0.043
3	0.389	0.333	0.278	0.360	0.130	0.048	0.722	0.130	1.167	0.056
3	0.387	0.342	0.271	0.364	0.132	0.039	0.729	0.132	1.130	0.045
1	0.403	0.340	0.257	0.370	0.137	0.053	0.743	0.137	1.187	0.063
2	0.391	0.342	0.267	0.366	0.134	0.043	0.733	0.134	1.143	0.049
2	0.387	0.334	0.279	0.360	0.129	0.045	0.721	0.129	1.157	0.053
4	0.368	0.335	0.297	0.351	0.123	0.030	0.703	0.123	1.098	0.033
4	0.357	0.341	0.302	0.349	0.122	0.015	0.698	0.122	1.046	0.016
5	0.353	0.335	0.312	0.344	0.118	0.016	0.688	0.118	1.052	0.017
3	0.369	0.332	0.299	0.350	0.123	0.033	0.701	0.123	1.110	0.037

Ec0	r	g	b	$\sqrt{r \times g}$	$\sqrt{r^2 \times g^2}$	$\frac{(r - g)}{(r \div g)}$	r + g	r × g	$\frac{r}{g}$	r - g
4	0.366	0.332	0.302	0.348	0.121	0.031	0.698	0.121	1.103	0.034
3	0.348	0.338	0.313	0.343	0.118	0.010	0.687	0.118	1.030	0.010
2	0.387	0.358	0.255	0.372	0.139	0.026	0.745	0.139	1.079	0.028
4	0.339	0.339	0.322	0.339	0.115	0.000	0.678	0.115	1.000	0.000
3	0.380	0.344	0.276	0.362	0.131	0.033	0.724	0.131	1.107	0.037
6	0.379	0.341	0.281	0.359	0.129	0.034	0.719	0.129	1.112	0.038
4	0.385	0.324	0.292	0.353	0.125	0.051	0.708	0.125	1.189	0.061
8	0.367	0.343	0.290	0.355	0.126	0.023	0.710	0.126	1.072	0.025
18	0.390	0.329	0.280	0.359	0.129	0.051	0.720	0.129	1.184	0.061
61	0.358	0.332	0.310	0.345	0.119	0.024	0.690	0.119	1.077	0.026
60	0.357	0.335	0.308	0.346	0.120	0.021	0.692	0.120	1.068	0.023
13	0.370	0.336	0.294	0.353	0.124	0.031	0.706	0.124	1.100	0.034
61	0.365	0.332	0.303	0.348	0.121	0.030	0.697	0.121	1.101	0.033
10	0.350	0.333	0.317	0.341	0.117	0.017	0.683	0.117	1.053	0.018
5	0.354	0.339	0.307	0.346	0.120	0.015	0.693	0.120	1.046	0.016
6	0.369	0.339	0.292	0.354	0.125	0.027	0.708	0.125	1.088	0.030
3	0.357	0.336	0.306	0.347	0.120	0.020	0.694	0.120	1.062	0.021
60	0.335	0.332	0.332	0.334	0.111	0.003	0.668	0.111	1.009	0.003
60	0.347	0.329	0.324	0.338	0.114	0.017	0.676	0.114	1.056	0.018
50	0.344	0.333	0.323	0.339	0.115	0.010	0.677	0.115	1.032	0.011
40	0.341	0.334	0.325	0.338	0.114	0.007	0.675	0.114	1.022	0.007
5	0.415	0.314	0.271	0.361	0.130	0.076	0.729	0.130	1.322	0.101
1	0.385	0.333	0.282	0.358	0.128	0.045	0.718	0.128	1.155	0.052
15	0.372	0.345	0.283	0.358	0.128	0.025	0.717	0.128	1.079	0.027
50	0.348	0.333	0.319	0.340	0.116	0.015	0.681	0.116	1.046	0.015
40	0.335	0.335	0.330	0.335	0.112	0.000	0.670	0.112	1.000	0.000
3	0.396	0.318	0.286	0.355	0.126	0.062	0.714	0.126	1.244	0.078
4	0.408	0.318	0.273	0.361	0.130	0.070	0.727	0.130	1.283	0.090

Ec0	r	g	b	$\sqrt{r \times g}$	$\sqrt{r^2 \times g^2}$	$\frac{(r - g)}{(r \div g)}$	r + g	r × g	$\frac{r}{g}$	r - g
6	0.402	0.321	0.278	0.359	0.129	0.065	0.722	0.129	1.252	0.081
2	0.365	0.321	0.315	0.342	0.117	0.039	0.685	0.117	1.138	0.044
2	0.359	0.328	0.313	0.343	0.118	0.029	0.687	0.118	1.096	0.031
20	0.358	0.334	0.308	0.346	0.119	0.022	0.692	0.119	1.071	0.024
30	0.351	0.335	0.314	0.343	0.118	0.016	0.686	0.118	1.049	0.017
30	0.349	0.332	0.319	0.340	0.116	0.016	0.681	0.116	1.049	0.016
20	0.353	0.333	0.314	0.343	0.118	0.019	0.686	0.118	1.062	0.021
12	0.355	0.333	0.312	0.344	0.118	0.021	0.688	0.118	1.068	0.023
4	0.370	0.333	0.297	0.351	0.123	0.033	0.703	0.123	1.109	0.036
4	0.363	0.337	0.301	0.349	0.122	0.024	0.699	0.122	1.078	0.026
4	0.374	0.337	0.289	0.355	0.126	0.033	0.711	0.126	1.109	0.037
1	0.367	0.337	0.296	0.352	0.124	0.027	0.704	0.124	1.088	0.030
1	0.360	0.339	0.300	0.350	0.122	0.020	0.700	0.122	1.061	0.021
17	0.355	0.336	0.308	0.346	0.119	0.018	0.692	0.119	1.056	0.019
4	0.359	0.337	0.304	0.348	0.121	0.021	0.696	0.121	1.065	0.022
1	0.370	0.329	0.301	0.349	0.122	0.036	0.699	0.122	1.123	0.041
5	0.354	0.337	0.309	0.345	0.119	0.017	0.691	0.119	1.053	0.018
4	0.372	0.331	0.297	0.351	0.123	0.037	0.703	0.123	1.124	0.041
5	0.363	0.337	0.300	0.350	0.122	0.025	0.700	0.122	1.079	0.027
0	0.371	0.331	0.299	0.350	0.123	0.036	0.701	0.123	1.121	0.040
1	0.368	0.338	0.294	0.353	0.124	0.028	0.706	0.124	1.091	0.031
1	0.385	0.332	0.283	0.357	0.128	0.046	0.717	0.128	1.161	0.053
1	0.368	0.338	0.295	0.352	0.124	0.028	0.705	0.124	1.089	0.030
2	0.361	0.332	0.306	0.347	0.120	0.027	0.694	0.120	1.087	0.029
13	0.342	0.335	0.324	0.338	0.114	0.007	0.676	0.114	1.021	0.007
30	0.350	0.337	0.313	0.344	0.118	0.012	0.687	0.118	1.037	0.012
30	0.352	0.334	0.314	0.343	0.118	0.017	0.686	0.118	1.055	0.018
30	0.348	0.336	0.316	0.342	0.117	0.012	0.684	0.117	1.036	0.012

Ec0	r	g	b	$\sqrt{r \times g}$	$\sqrt{r^2 \times g^2}$	$\frac{(r - g)}{(r \div g)}$	r + g	r × g	$\frac{r}{g}$	r - g
13	0.357	0.330	0.313	0.343	0.118	0.025	0.688	0.118	1.081	0.027
17	0.353	0.340	0.307	0.346	0.120	0.013	0.693	0.120	1.038	0.013
40	0.365	0.328	0.307	0.346	0.120	0.033	0.693	0.120	1.113	0.037
40	0.353	0.333	0.313	0.343	0.118	0.019	0.687	0.118	1.060	0.020
1	0.370	0.326	0.304	0.347	0.121	0.039	0.696	0.121	1.136	0.044
10	0.366	0.330	0.305	0.347	0.121	0.032	0.695	0.121	1.108	0.036
4	0.356	0.328	0.316	0.342	0.117	0.026	0.684	0.117	1.085	0.028
2	0.363	0.330	0.307	0.346	0.120	0.031	0.693	0.120	1.103	0.034
10	0.355	0.338	0.307	0.346	0.120	0.016	0.693	0.120	1.049	0.017
7	0.343	0.335	0.321	0.339	0.115	0.008	0.679	0.115	1.025	0.008
17	0.345	0.337	0.318	0.341	0.116	0.008	0.682	0.116	1.025	0.008
15	0.366	0.336	0.298	0.350	0.123	0.028	0.702	0.123	1.090	0.030
9	0.362	0.337	0.301	0.349	0.122	0.023	0.699	0.122	1.073	0.025
15	0.373	0.332	0.295	0.352	0.124	0.037	0.705	0.124	1.124	0.041
4	0.426	0.321	0.253	0.370	0.137	0.079	0.747	0.137	1.324	0.104
20	0.358	0.327	0.315	0.342	0.117	0.029	0.685	0.117	1.097	0.032
30	0.352	0.334	0.314	0.343	0.118	0.017	0.686	0.118	1.054	0.018
20	0.364	0.336	0.300	0.350	0.122	0.025	0.700	0.122	1.082	0.027
20	0.356	0.335	0.309	0.345	0.119	0.020	0.691	0.119	1.064	0.021
20	0.350	0.337	0.313	0.344	0.118	0.013	0.688	0.118	1.040	0.013
12	0.355	0.333	0.313	0.344	0.118	0.021	0.687	0.118	1.067	0.022
12	0.349	0.335	0.317	0.342	0.117	0.014	0.683	0.117	1.042	0.014
30	0.354	0.337	0.309	0.346	0.119	0.016	0.691	0.119	1.049	0.016
20	0.359	0.333	0.308	0.346	0.120	0.024	0.692	0.120	1.077	0.026
40	0.349	0.334	0.317	0.341	0.117	0.014	0.683	0.117	1.045	0.015
15	0.346	0.338	0.317	0.342	0.117	0.008	0.683	0.117	1.023	0.008
30	0.345	0.336	0.319	0.341	0.116	0.009	0.681	0.116	1.026	0.009
12	0.343	0.336	0.320	0.340	0.115	0.007	0.680	0.115	1.020	0.007

$Ec0$	$r$	$g$	$b$	$\sqrt{r \times g}$	$\sqrt{r^2 \times g^2}$	$\frac{(r - g)}{(r \div g)}$	$r + g$	$r \times g$	$\frac{r}{g}$	$r - g$
20	0.347	0.337	0.316	0.342	0.117	0.010	0.684	0.117	1.031	0.010
40	0.349	0.337	0.314	0.343	0.118	0.012	0.686	0.118	1.037	0.012

ตารางที่ 20 ค่าสacheท้อนแสงที่ปรับแก้ค่าสacheท้อนแสง และค่าดัชนีต่างๆ จากโปรแกรม QGIS 3.8 ที่ GSD 100 เมตร (Ec30)

$Ec30$	$r$	$g$	$b$	$\sqrt{r \times g}$	$\sqrt{r^2 \times g^2}$	$\frac{(r - g)}{(r \div g)}$	$r + g$	$r \times g$	$\frac{r}{g}$	$r - g$
4	0.348	0.332	0.321	0.340	0.115	0.015	0.679	0.115	1.047	0.016
3	0.355	0.333	0.312	0.344	0.118	0.020	0.688	0.118	1.064	0.021
4	0.351	0.336	0.313	0.344	0.118	0.014	0.687	0.118	1.043	0.015
3	0.366	0.333	0.300	0.349	0.122	0.030	0.700	0.122	1.099	0.033
2	0.370	0.333	0.297	0.351	0.123	0.033	0.703	0.123	1.109	0.036
6	0.354	0.331	0.314	0.343	0.117	0.022	0.686	0.117	1.070	0.023
1	0.380	0.338	0.281	0.359	0.129	0.037	0.719	0.129	1.124	0.042
1	0.372	0.331	0.297	0.351	0.123	0.036	0.703	0.123	1.124	0.041
2	0.343	0.333	0.323	0.338	0.114	0.010	0.677	0.114	1.030	0.010
2	0.370	0.328	0.302	0.349	0.121	0.037	0.698	0.121	1.129	0.042
4	0.353	0.335	0.312	0.344	0.118	0.018	0.688	0.118	1.056	0.019
2	0.374	0.336	0.290	0.354	0.125	0.034	0.710	0.125	1.113	0.038
2	0.378	0.334	0.288	0.355	0.126	0.038	0.712	0.126	1.130	0.043
1	0.361	0.337	0.302	0.349	0.122	0.023	0.698	0.122	1.072	0.024
3	0.384	0.332	0.285	0.357	0.127	0.045	0.715	0.127	1.157	0.052
2	0.351	0.337	0.312	0.344	0.118	0.014	0.688	0.118	1.042	0.014
3	0.380	0.337	0.283	0.358	0.128	0.038	0.717	0.128	1.129	0.043
2	0.389	0.333	0.278	0.360	0.130	0.048	0.722	0.130	1.167	0.056
2	0.387	0.342	0.271	0.364	0.132	0.039	0.729	0.132	1.130	0.045
1	0.403	0.340	0.257	0.370	0.137	0.053	0.743	0.137	1.187	0.063
1	0.391	0.342	0.267	0.366	0.134	0.043	0.733	0.134	1.143	0.049
1	0.387	0.334	0.279	0.360	0.129	0.045	0.721	0.129	1.157	0.053

Ec30	r	g	b	$\sqrt{r \times g}$	$\sqrt{r^2 \times g^2}$	$\frac{(r - g)}{(r \div g)}$	r + g	r × g	$\frac{r}{g}$	r - g
2	0.368	0.335	0.297	0.351	0.123	0.030	0.703	0.123	1.098	0.033
1	0.357	0.341	0.302	0.349	0.122	0.015	0.698	0.122	1.046	0.016
2	0.353	0.335	0.312	0.344	0.118	0.016	0.688	0.118	1.052	0.017
2	0.369	0.332	0.299	0.350	0.123	0.033	0.701	0.123	1.110	0.037
1	0.366	0.332	0.302	0.348	0.121	0.031	0.698	0.121	1.103	0.034
1	0.348	0.338	0.313	0.343	0.118	0.010	0.687	0.118	1.030	0.010
2	0.387	0.358	0.255	0.372	0.139	0.026	0.745	0.139	1.079	0.028
2	0.339	0.339	0.322	0.339	0.115	0.000	0.678	0.115	1.000	0.000
1	0.380	0.344	0.276	0.362	0.131	0.033	0.724	0.131	1.107	0.037
3	0.379	0.341	0.281	0.359	0.129	0.034	0.719	0.129	1.112	0.038
2	0.385	0.324	0.292	0.353	0.125	0.051	0.708	0.125	1.189	0.061
2	0.367	0.343	0.290	0.355	0.126	0.023	0.710	0.126	1.072	0.025
2	0.390	0.329	0.280	0.359	0.129	0.051	0.720	0.129	1.184	0.061
5	0.358	0.332	0.310	0.345	0.119	0.024	0.690	0.119	1.077	0.026
2	0.357	0.335	0.308	0.346	0.120	0.021	0.692	0.120	1.068	0.023
2	0.370	0.336	0.294	0.353	0.124	0.031	0.706	0.124	1.100	0.034
2	0.365	0.332	0.303	0.348	0.121	0.030	0.697	0.121	1.101	0.033
2	0.350	0.333	0.317	0.341	0.117	0.017	0.683	0.117	1.053	0.018
1	0.354	0.339	0.307	0.346	0.120	0.015	0.693	0.120	1.046	0.016
1	0.369	0.339	0.292	0.354	0.125	0.027	0.708	0.125	1.088	0.030
2	0.357	0.336	0.306	0.347	0.120	0.020	0.694	0.120	1.062	0.021
12	0.335	0.332	0.332	0.334	0.111	0.003	0.668	0.111	1.009	0.003
10	0.347	0.329	0.324	0.338	0.114	0.017	0.676	0.114	1.056	0.018
8	0.344	0.333	0.323	0.339	0.115	0.010	0.677	0.115	1.032	0.011
7	0.341	0.334	0.325	0.338	0.114	0.007	0.675	0.114	1.022	0.007
2	0.415	0.314	0.271	0.361	0.130	0.076	0.729	0.130	1.322	0.101
0	0.385	0.333	0.282	0.358	0.128	0.045	0.718	0.128	1.155	0.052
1	0.372	0.345	0.283	0.358	0.128	0.025	0.717	0.128	1.079	0.027

Ec30	r	g	b	$\sqrt{r \times g}$	$\sqrt{r^2 \times g^2}$	$\frac{(r - g)}{(r \div g)}$	r + g	r × g	$\frac{r}{g}$	r - g
1	0.348	0.333	0.319	0.340	0.116	0.015	0.681	0.116	1.046	0.015
4	0.335	0.335	0.330	0.335	0.112	0.000	0.670	0.112	1.000	0.000
1	0.396	0.318	0.286	0.355	0.126	0.062	0.714	0.126	1.244	0.078
1	0.408	0.318	0.273	0.361	0.130	0.070	0.727	0.130	1.283	0.090
1	0.402	0.321	0.278	0.359	0.129	0.065	0.722	0.129	1.252	0.081
1	0.365	0.321	0.315	0.342	0.117	0.039	0.685	0.117	1.138	0.044
1	0.359	0.328	0.313	0.343	0.118	0.029	0.687	0.118	1.096	0.031
4	0.358	0.334	0.308	0.346	0.119	0.022	0.692	0.119	1.071	0.024
1	0.351	0.335	0.314	0.343	0.118	0.016	0.686	0.118	1.049	0.017
3	0.349	0.332	0.319	0.340	0.116	0.016	0.681	0.116	1.049	0.016
2	0.353	0.333	0.314	0.343	0.118	0.019	0.686	0.118	1.062	0.021
1	0.355	0.333	0.312	0.344	0.118	0.021	0.688	0.118	1.068	0.023
1	0.370	0.333	0.297	0.351	0.123	0.033	0.703	0.123	1.109	0.036
1	0.363	0.337	0.301	0.349	0.122	0.024	0.699	0.122	1.078	0.026
1	0.374	0.337	0.289	0.355	0.126	0.033	0.711	0.126	1.109	0.037
1	0.367	0.337	0.296	0.352	0.124	0.027	0.704	0.124	1.088	0.030
1	0.360	0.339	0.300	0.350	0.122	0.020	0.700	0.122	1.061	0.021
0	0.355	0.336	0.308	0.346	0.119	0.018	0.692	0.119	1.056	0.019
1	0.359	0.337	0.304	0.348	0.121	0.021	0.696	0.121	1.065	0.022
0	0.370	0.329	0.301	0.349	0.122	0.036	0.699	0.122	1.123	0.041
0	0.354	0.337	0.309	0.345	0.119	0.017	0.691	0.119	1.053	0.018
1	0.372	0.331	0.297	0.351	0.123	0.037	0.703	0.123	1.124	0.041
1	0.363	0.337	0.300	0.350	0.122	0.025	0.700	0.122	1.079	0.027
0	0.371	0.331	0.299	0.350	0.123	0.036	0.701	0.123	1.121	0.040
0	0.368	0.338	0.294	0.353	0.124	0.028	0.706	0.124	1.091	0.031
1	0.385	0.332	0.283	0.357	0.128	0.046	0.717	0.128	1.161	0.053
1	0.368	0.338	0.295	0.352	0.124	0.028	0.705	0.124	1.089	0.030
1	0.361	0.332	0.306	0.347	0.120	0.027	0.694	0.120	1.087	0.029

Ec30	r	g	b	$\sqrt{r \times g}$	$\sqrt{r^2 \times g^2}$	$\frac{(r - g)}{(r \div g)}$	r + g	r × g	$\frac{r}{g}$	r - g
2	0.342	0.335	0.324	0.338	0.114	0.007	0.676	0.114	1.021	0.007
3	0.350	0.337	0.313	0.344	0.118	0.012	0.687	0.118	1.037	0.012
2	0.352	0.334	0.314	0.343	0.118	0.017	0.686	0.118	1.055	0.018
2	0.348	0.336	0.316	0.342	0.117	0.012	0.684	0.117	1.036	0.012
2	0.357	0.330	0.313	0.343	0.118	0.025	0.688	0.118	1.081	0.027
2	0.353	0.340	0.307	0.346	0.120	0.013	0.693	0.120	1.038	0.013
4	0.365	0.328	0.307	0.346	0.120	0.033	0.693	0.120	1.113	0.037
2	0.353	0.333	0.313	0.343	0.118	0.019	0.687	0.118	1.060	0.020
0	0.370	0.326	0.304	0.347	0.121	0.039	0.696	0.121	1.136	0.044
1	0.366	0.330	0.305	0.347	0.121	0.032	0.695	0.121	1.108	0.036
1	0.356	0.328	0.316	0.342	0.117	0.026	0.684	0.117	1.085	0.028
1	0.363	0.330	0.307	0.346	0.120	0.031	0.693	0.120	1.103	0.034
2	0.355	0.338	0.307	0.346	0.120	0.016	0.693	0.120	1.049	0.017
2	0.343	0.335	0.321	0.339	0.115	0.008	0.679	0.115	1.025	0.008
2	0.345	0.337	0.318	0.341	0.116	0.008	0.682	0.116	1.025	0.008
1	0.366	0.336	0.298	0.350	0.123	0.028	0.702	0.123	1.090	0.030
1	0.362	0.337	0.301	0.349	0.122	0.023	0.699	0.122	1.073	0.025
2	0.373	0.332	0.295	0.352	0.124	0.037	0.705	0.124	1.124	0.041
1	0.426	0.321	0.253	0.370	0.137	0.079	0.747	0.137	1.324	0.104
3	0.358	0.327	0.315	0.342	0.117	0.029	0.685	0.117	1.097	0.032
3	0.352	0.334	0.314	0.343	0.118	0.017	0.686	0.118	1.054	0.018
1	0.364	0.336	0.300	0.350	0.122	0.025	0.700	0.122	1.082	0.027
1	0.356	0.335	0.309	0.345	0.119	0.020	0.691	0.119	1.064	0.021
1	0.350	0.337	0.313	0.344	0.118	0.013	0.688	0.118	1.040	0.013
1	0.355	0.333	0.313	0.344	0.118	0.021	0.687	0.118	1.067	0.022
1	0.349	0.335	0.317	0.342	0.117	0.014	0.683	0.117	1.042	0.014
1	0.354	0.337	0.309	0.346	0.119	0.016	0.691	0.119	1.049	0.016
2	0.359	0.333	0.308	0.346	0.120	0.024	0.692	0.120	1.077	0.026

Ec30	r	g	b	$\sqrt{r \times g}$	$\sqrt{r^2 \times g^2}$	$\frac{(r - g)}{(r \div g)}$	r + g	r × g	$\frac{r}{g}$	r - g
2	0.349	0.334	0.317	0.341	0.117	0.014	0.683	0.117	1.045	0.015
1	0.346	0.338	0.317	0.342	0.117	0.008	0.683	0.117	1.023	0.008
2	0.345	0.336	0.319	0.341	0.116	0.009	0.681	0.116	1.026	0.009
1	0.343	0.336	0.320	0.340	0.115	0.007	0.680	0.115	1.020	0.007
2	0.347	0.337	0.316	0.342	0.117	0.010	0.684	0.117	1.031	0.010
13	0.349	0.337	0.314	0.343	0.118	0.012	0.686	0.118	1.037	0.012



## ประวัติผู้เขียน

ชื่อ	นายอภิสิทธิ์ ภูรณะล
วันเกิด	วันที่ 17 พฤษภาคม พ.ศ. 2540
สถานที่เกิด	อำเภอ Yang陶 จังหวัดกาฬสินธุ์
สถานที่อยู่ปัจจุบัน	บ้านเลขที่ 169 หมู่ 4 ตำบลอุ่มเม่า อำเภอ Yang陶 จังหวัดกาฬสินธุ์ รหัสไปรษณีย์ 46120
ตำแหน่งหน้าที่การทำงาน	-
สถานที่ทำงานปัจจุบัน	-
ประวัติการศึกษา	พ.ศ. 2558 มัธยมศึกษาตอนปลาย โรงเรียนอนุกูลนารี อำเภอเมือง จังหวัดกาฬสินธุ์ พ.ศ. 2562 ปริญญาวิศวกรรมศาสตรบัณฑิต (วศ.บ.) สาขาวิชา วิศวกรรมโยธาคณวิศวกรรมศาสตร์ มหาวิทยาลัยมหาสารคาม พ.ศ. 2565 ปริญญาวิศวกรรมศาสตรมหาบัณฑิต (วศ.ม.) สาขา วิชาวิศวกรรมโยธาคณวิศวกรรมศาสตร์ มหาวิทยาลัยมหาสารคาม
ทุนวิจัย	-
ผลงานวิจัย	-

พนักงาน ปฏิบัติ ชีว